

COMMITTENTE:



PROGETTAZIONE:



**DIRETTRICE FERROVIARIA MESSINA - CATANIA - PALERMO**

**NUOVO COLLEGAMENTO PALERMO - CATANIA**

**U.O. OPERE CIVILI E GESTIONE DELLE VARIANTI**

**PROGETTO DEFINITIVO**

**TRATTA LERCARA DIR. - CALTANISSETTA XIRBI (LOTTO 3)**

VIABILITA' - VIADOTTI

NW04 – VIADOTTO STRADALE SU NV62A

Relazione di calcolo dell'impalcato c.a.p.

SCALA:

-

COMMESSA LOTTO FASE ENTE TIPO DOC. OPERA/DISCIPLINA Progr. REV.

RS3T 30 D 09 CL NW0400 002 B

Rev.	Descrizione	Redatto	Data	Verificato	Data	Approvato	Data	Autorizzato Data
A	Emissione Esecutiva	ATI Sintagma Rocksoil - Edin	Gen-2020	A.Ferr 	Gen-2020	A.Barreca 	Gen-2020	<b>ITALFERR S.p.A.</b> U.O. Opere Civili e Gestione delle varianti Dott. Ing. Paolo Vittozzi Ordine degli Ingegneri della Provincia di Roma N° A 20783
B	Emissione Esecutiva	ATI Sintagma Rocksoil - Edin	Mag-2020	A.Ferr 	Mag-2020	A.Barreca 	Mag-2020	

File: RS3T.3.0.D.09.CL.NW.04.0.0.002.B

n. Elab.: 09\_682

## INDICE

1	PREMESSA .....	8
2	NORMATIVA DI RIFERIMENTO.....	9
3	MATERIALI.....	10
3.1	CALCESTRUZZO SOLETTA .....	10
3.2	CALCESTRUZZO PER TRAVI E TRASVERSI PREFABBRICATI – TEMPO $T_{\infty}$ (FASE FINALE IN ESERCIZIO) .....	10
3.3	ACCIAIO PER C.A. (ARMATURA ORDINARIA) .....	11
3.4	ACCIAIO PER ARMATURE DI PRECOMPRESSIONE .....	11
4	CARATTERIZZAZIONE SISMICA DEL SITO .....	13
4.1	VITA NOMINALE E CLASSE D’USO .....	13
4.2	PARAMETRI DI PERICOLOSITÀ SISMICA .....	13
5	DESCRIZIONE DELL’OPERA .....	16
5.1	ESECUZIONE DEL MANUFATTO .....	17
6	ANALISI DEI CARICHI.....	18
6.1	PESO PROPRIO (G1) .....	18
6.2	PERMANENTI PORTATI (G2).....	18
6.2.1	<i>Pavimentazione – G2,1</i> .....	18
6.2.2	<i>Parapetto e barriere di sicurezza – G2,2</i> .....	19
6.2.3	<i>Veletta in c.a. – G2,3</i> .....	19
6.2.4	<i>Impianti – G2,4</i> .....	19
6.2.5	<i>Marciapiedi gettati in seconda fase – G2,5</i> .....	19
6.3	PRESOLLECITAZIONI DI PROGETTO (P).....	20
6.4	RITIRO (E1).....	20
6.4.1	<i>Viscosità (<math>\epsilon_4</math>)</i> .....	22
6.5	AZIONI VARIABILI (Q) .....	23
6.5.1	<i>Carico mobile stradale (Q1,1 – Q1,2)</i> .....	23


6.5.2	Entità dei carichi mobili – Schema di carico 1 .....	23
6.5.3	Disposizione trasversale dei carichi mobili .....	24
6.5.4	Disposizione longitudinale dei carichi mobili.....	25
6.5.5	Carichi sui marciapiedi (Q1) .....	25
6.5.6	Forza centrifuga (Q3) .....	25
6.5.7	Frenatura (Q4).....	25
6.5.8	Urto del veicolo in svio sulla barriera sicurvia (Q6).....	26
6.5.9	Azioni parassite dei vincoli (Q7).....	26
6.6	AZIONI CLIMATICHE .....	26
6.6.1	Variazione termica uniforme ( $\epsilon_3$ ) .....	26
6.6.2	Variazione termica differenziale ( $\epsilon_3$ ).....	26
6.6.3	Vento (Q5).....	26
7	VERIFICA DEL TRAVERSO DI CAMPATA .....	27
8	VERIFICA DEL TRAVERSO DI TESTATA .....	32
9	SOLETTA .....	36
9.1	CAMPO INTERMEDIO.....	36
9.2	SBALZO .....	39
10	GIUNTO DI DILATAZIONE.....	44
11	CALCOLO DELLE SOLLECITAZIONI .....	46
11.1	UNITA' DI MISURA E CONVENZIONI DI SEGNO .....	46
11.2	METODO ED IPOTESI DI CALCOLO .....	46
12	DATI IMPALCATO .....	47
12.1	DATI GEOMETRICI .....	47
12.2	TRAVERSI IN CAMPATA.....	48
12.3	TRAVERSI IN TESTATA .....	48
12.4	TRAVE PREFABBRICATA H140 - L200 .....	48

12.4.1	Sezione in campata.....	48
12.4.2	Sezione in testata.....	49
12.5	GEOMETRIA GETTO IN OPERA .....	49
12.5.1	Sezione in campata.....	50
12.5.2	Sezione in testata.....	50
12.6	PARAMETRI DEI MATERIALI.....	50
13	RIPARTIZIONE TRASVERSALE DEI CARICHI.....	51
13.1	PARAMETRI DI MASSONNET .....	51
13.2	COEFFICIENTI .....	51
14	ANALISI DEI CARICHI.....	52
14.1	VALORI CARATTERISTICI DELLE AZIONI PERMANENTI.....	52
14.1.1	Fase 1.....	52
14.1.2	Fase 2.....	52
14.1.2.1	Pavimentazione.....	52
14.1.2.2	Peso dei cordoli.....	52
14.1.2.3	Carichi lineari di 2a fase sull'impalcato (extra2).....	52
14.2	VALORI CARATTERISTICI DELLE AZIONI VARIABILI .....	52
15	COEFFICIENTI DI COMBINAZIONE .....	54
15.1	STATI LIMITE ULTIMI.....	54
15.2	STATI LIMITE DI ESERCIZIO.....	54
16	APPLICAZIONE DEL METODO DI MASSONNET .....	55
16.1	PESO CORDOLI .....	55
16.2	LINEARI PER TRAVE.....	55
16.3	CARICHI MOBILI PER MASSIMO EFFETTO SULLA TRAVE 1.....	55
16.4	CARICHI MOBILI PER CALCOLO M MAX SU TRAVERSO.....	56
16.5	CARICHI MOBILI PER CALCOLO M MIN SU TRAVERSO .....	57
17	SOLLECITAZIONI SULLA TRAVE 1 .....	58
17.1	VALORI CARATTERISTICI SOLLECITAZIONI .....	58

17.1.1	Al taglio trefoli ed in opera .....	58
17.1.2	Seconda fase - carichi permanenti .....	60
17.1.3	Seconda fase - carichi da traffico.....	62
17.1.4	In fase di sollevamento .....	66
17.2	VALORI DI COMBINAZIONE .....	66
17.2.1	Combinazioni SLU .....	66
17.2.1.1	Al taglio dei trefoli.....	66
17.2.1.2	In fase di sollevamento .....	67
17.2.1.3	Al getto soletta .....	68
17.2.1.4	Seconda fase P/T.....	68
17.2.2	Combinazioni SLE.....	69
17.2.2.1	Al taglio dei trefoli.....	69
17.2.2.2	In fase di sollevamento .....	70
17.2.2.3	Al getto soletta .....	71
17.2.2.4	Seconda fase - S.L.E. Rara 2 <sup>a</sup> fase .....	71
17.2.2.5	Seconda fase - S.L.E. Frequente 2 <sup>a</sup> fase .....	72
17.2.2.6	Seconda fase - S.L.E. Quasi permanente 2 <sup>a</sup> fase .....	73
18	SOLLECITAZIONI SUL TRAVERSO IN CAMPATA .....	75
18.1	VALORI CARATTERISTICI M.....	75
18.1.1	Carichi permanenti .....	75
18.1.2	Carichi da traffico.....	75
18.2	COMBINAZIONI SLU.....	76
18.2.1	Persistenti/Transitorie.....	76
18.3	COMBINAZIONI SLE .....	76
18.3.1	Combinazioni Rare.....	76
18.3.2	Combinazioni Frequenti.....	77
18.3.3	Combinazioni Quasi Permanenti .....	77
19	SOLLECITAZIONI SULLA SOLETTA .....	77
19.1	VALORI CARATTERISTICI.....	77
19.2	COMBINAZIONI SLU.....	78
19.2.1	Persistenti/Transitorie.....	78
19.3	COMBINAZIONI SLE.....	78

19.3.1	Combinazioni Rare.....	78
19.3.2	Combinazioni Frequenti.....	79
19.3.3	Combinazioni Quasi Permanenti .....	79
20	REAZIONI MASSIME AGLI APPOGGI .....	80
20.1	FORZE ORIZZONTALI .....	80
20.2	VALORI CARATTERISTICI REAZIONI VERTICALI.....	80
20.2.1	Carichi di 1a fase .....	80
20.2.2	Carichi permanenti di 2a fase .....	80
20.2.3	Carichi da traffico.....	80
20.3	COMBINAZIONI.....	80
20.3.1	Combinazioni SLU P/T.....	80
20.3.2	SLE Rare .....	81
20.3.3	SLE Frequenti .....	81
20.3.4	SLE Quasi permanenti.....	81
20.3.4.1	Carichi da traffico ( disposizione per N max su sottostrutture) .....	82
20.4	COMBINAZIONI.....	82
20.4.1	Combinazioni SLU P/T.....	82
20.4.2	SLE Rare .....	82
20.4.3	SLE Frequenti .....	83
20.4.4	SLE Quasi permanenti.....	83
21	VERIFICA TRAVE IN C.A.P. ....	84
21.1.1	Modello di calcolo.....	84
21.1.2	Codice di calcolo.....	84
21.2	DATI DI CALCOLO .....	84
21.2.1	Dati geometrici.....	84
21.2.1.1	Schemi statici .....	84
21.2.2	Armature trave prefabbricata .....	85
21.2.2.1	Armature di precompressione pretesate .....	85
21.2.2.2	Armatura lenta .....	86

21.2.3	<i>Materiali - resistenze di calcolo</i> .....	86
21.2.3.1	Calcestruzzo delle travi prefabbricate .....	86
21.2.3.2	Calcestruzzo gettato in opera .....	87
21.2.3.3	Acciaio per c.a.p. ....	88
21.2.3.4	Acciaio per armatura lenta .....	88
21.2.4	<i>Cadute di tensione</i> .....	89
21.2.4.1	Rilassamento dell'acciaio da precompressione.....	89
21.2.4.2	Ritiro del calcestruzzo.....	89
21.2.4.3	Viscosità del calcestruzzo .....	90
21.2.4.4	Sviluppo nel tempo delle cadute di tensione .....	90
21.3	STATI LIMITE DI ESERCIZIO .....	90
21.3.1	<i>Stato Limite delle tensioni in esercizio - procedimento di calcolo</i> .....	90
21.3.1.1	Verifica al sollevamento .....	91
21.3.2	<i>Stato limite di fessurazione travi prefabbricate</i> .....	91
21.3.3	<i>Stato Limite di deformazione</i> .....	91
21.3.3.1	Prima fase .....	91
21.3.3.2	Seconda fase .....	91
21.4	STATI LIMITE ULTIMI .....	92
21.4.1	<i>Stato Limite Ultimo per sollecitazioni flettenti</i> .....	92
21.4.2	<i>Stato Limite Ultimo per sollecitazioni taglianti e torcenti</i> .....	92
21.4.3	<i>Stato Limite Ultimo per scorrimento tra i getti</i> .....	93
21.5	VERIFICA DELLE SEZIONI.....	93
21.5.1	<i>Verifica sezione X=0.00 - Sezione all'appoggio</i> .....	93
21.5.1.1	Prima fase: sola trave .....	93
21.5.1.2	Seconda fase: trave + getto in opera.....	95
21.5.2	<i>Verifica sezione X=1120.00 - Sezione di mezzeria</i> .....	97
21.5.2.1	Prima fase: sola trave .....	97
21.5.2.2	Seconda fase: trave + getto in opera.....	99
21.5.3	<i>Diagrammi</i> .....	102
21.5.3.1	SLU .....	102
21.5.3.2	SLE .....	103

	<b>DIRETTRICE FERROVIARIA MESSINA – CATANIA – PALERMO</b> <b>NUOVO COLLEGAMENTO PALERMO – CATANIA</b> <b>TRATTA LERCARA DIRAMAZIONE – CALTANISSETTA (LOTTO 3B)</b> <b>Viadotto NW04</b>					
	<b>RELAZIONE DI CALCOLO IMPALCATO CAP</b>	<b>COMMESSA</b> RS3T	<b>LOTTO</b> 30	<b>CODIFICA</b> D 09CL	<b>DOCUMENTO</b> NW04 00 002	<b>REV.</b> B

## 1 PREMESSA

Il presente documento si inserisce nell'ambito della redazione degli elaborati tecnici di progetto definitivo del corpo stradale ferroviario, delle opere d'arte e delle opere interferite relative al progetto definitivo della direttrice ferroviaria Messina-Catania-Palermo nell'ambito del nuovo collegamento Palermo - Catania

In particolare ha per oggetto le verifiche secondo il metodo semiprobabilistico agli Stati Limite (S.L.) delle sovrastrutture dell'impalcato da ponte di prima categoria denominato [NW04](#) sulla viabilità [NV62A](#).

Le analisi strutturali e le verifiche di sicurezza sono state effettuate in accordo con le disposizioni vigenti in Italia e con riferimento alla nuova classificazione sismica del territorio nazionale, secondo il DM 2018.

L'opera in oggetto è progettata per una vita nominale VN pari a 100 anni. Gli si attribuisce inoltre una classe d'uso III ai sensi del D.M.17/01/2018, da cui scaturisce un coefficiente d'uso  $CU = 1.5$ .




	<b>DIRETTRICE FERROVIARIA MESSINA – CATANIA – PALERMO</b> <b>NUOVO COLLEGAMENTO PALERMO – CATANIA</b> <b>TRATTA LERCARA DIRAMAZIONE – CALTANISSETTA (LOTTO 3B)</b> <b>Viadotto NW04</b>					
	<b>RELAZIONE DI CALCOLO IMPALCATO CAP</b>	<b>COMMESSA</b> RS3T	<b>LOTTO</b> 30	<b>CODIFICA</b> D 09CL	<b>DOCUMENTO</b> NW04 00 002	<b>REV.</b> B

## 2 NORMATIVA DI RIFERIMENTO

Le analisi strutturali e le verifiche di sicurezza sono state effettuate in accordo con le prescrizioni contenute nelle seguenti normative ed è conforme alle normative vigenti nonché alle istruzioni dell'Ente FF.SS:

- *Ministero delle Infrastrutture, DM 17 gennaio 2018, Aggiornamento delle «Norme tecniche per le costruzioni».*
- *Ministero delle Infrastrutture, Circolare n°7 21 gennaio 2019, Istruzioni per l'Applicazione delle «Norme tecniche per le costruzioni».*
- *Istruzione RFI DTC SI PS MA IFS 001 A - Manuale di Progettazione delle Opere Civili - Parte II - Sezione 2 - Ponti e Strutture*
- *Istruzione RFI DTC SI CS MA IFS 001 A - Manuale di Progettazione delle Opere Civili - Parte II - Sezione 3 - Corpo Stradale*
- *Regolamento (UE) N.1299/2014 della Commissione del 18 Novembre 2014 relativo alle specifiche tecniche di interoperabilità per il sottosistema “infrastruttura” del sistema ferroviario dell'Unione europea*

	<b>DIRETTRICE FERROVIARIA MESSINA – CATANIA – PALERMO</b> <b>NUOVO COLLEGAMENTO PALERMO – CATANIA</b> <b>TRATTA LERCARA DIRAMAZIONE – CALTANISSETTA (LOTTO 3B)</b> <b>Viadotto NW04</b>					
	<b>RELAZIONE DI CALCOLO IMPALCATO CAP</b>	COMMESSA RS3T	LOTTO 30	CODIFICA D 09CL	DOCUMENTO NW04 00 002	REV. B

### 3 MATERIALI

Si riportano di seguito i materiali previsti per la realizzazione delle strutture, suddivisi per elemento costruttivo.

#### 3.1 Calcestruzzo soletta

Classe	C32/40		
$R_{ck} =$	40	MPa	resistenza caratteristica cubica
$f_{ck} =$	32	MPa	resistenza caratteristica cilindrica
$f_{cm} =$	40	MPa	valor medio resistenza cilindrica
$\alpha_{cc} =$	0,85		coeff. rid. Per carichi di lunga durata
$\gamma_M =$	1,5	-	coefficiente parziale di sicurezza SLU
$f_{cd} =$	18,13	MPa	resistenza di progetto
$f_{ctm} =$	3,02	MPa	resistenza media a trazione semplice
$f_{ctm} =$	3,63	MPa	resistenza media a trazione per flessione
$f_{ctk} =$	2,12	MPa	valore caratteristico resistenza a trazione
$E_{cm} =$	33346	MPa	Modulo elastico di progetto
$\nu =$	0,2		Coefficiente di Poisson
$G_c =$	13894	MPa	Modulo elastico Tangenziale di progetto
$c =$	40	mm	Copriferro minimo
XC4- XS1			Classe di esposizione

#### 3.2 Calcestruzzo per travi e trasversi prefabbricati – tempo $t_{\infty}$ (fase finale in esercizio)

Classe	C45/55		
$R_{ck} =$	55	MPa	resistenza caratteristica cubica
$f_{ck} =$	45	MPa	resistenza caratteristica cilindrica
$f_{cm} =$	53	MPa	valor medio resistenza cilindrica
$\alpha_{cc} =$	0,85		coeff. rid. per carichi di lunga durata
$\gamma_M =$	1,5	-	coefficiente parziale di sicurezza SLU
$f_{cd} =$	25,50	MPa	resistenza di progetto
$f_{ctm} =$	3,79	MPa	resistenza media a trazione semplice
$f_{ctm} =$	4,55	MPa	resistenza media a trazione per flessione
$f_{ctk} =$	2,65	MPa	valore caratteristico resistenza a trazione
$E_{cm} =$	36283	MPa	Modulo elastico di progetto
$\nu =$	0,2		Coefficiente di Poisson

$G_c =$	15118	MPa	Modulo elastico Tangenziale di progetto
$c =$	35	mm	Copriferro minimo armatura ordinaria
XC3-XS1			Classe di esposizione
$\sigma_c < 0.60 \times f_{ck} =$	27	MPa	Tensione massima di compressione in esercizio per combinazioni RARE
$\sigma_c < 0.45 \times f_{ck} =$	20,25	MPa	Tensione massima di compressione in esercizio per combinazioni QUASI PERMANENTI
$\sigma_t < 0.35 \times f_{ctk} =$	0.9275	MPa	Tensione massima di trazione per combinazioni RARE (RFI DTC SI PS MA IFS 001 A – par. 2.6.2.2.2)
$\sigma_t < 0.045 \times f_{ck} =$	2.025	MPa	Tensione principale di trazione nella fibra baricentrica per combinazioni RARE (RFI DTC SI PS MA IFS 001 A – par. 2.6.2.2.2)

### 3.3 Acciaio per c.a. (armatura ordinaria)

B450C

$f_{yk} \geq$	450	MPa	tensione caratteristica di snervamento
$f_{tk} \geq$	540	MPa	tensione caratteristica di rottura
$(f_t/f_y)_k \geq$	1,15		
$(f_t/f_y)_k <$	1,35		
$\gamma_s =$	1,15	-	coefficiente parziale di sicurezza SLU
$f_{yd} =$	391,3	MPa	tensione caratteristica di snervamento
$E_s =$	200000	MPa	Modulo elastico di progetto
$\varepsilon_{yd} =$	0,196%		deformazione di progetto a snervamento
$\varepsilon_{uk} = (A_{gt})_k$	7,50%		deformazione caratteristica ultima

### 3.4 Acciaio per armature di precompressione

$f_{ptk} \geq$	1860	MPa	tensione caratteristica di rottura
$f_{p(1)k} \geq$	1670	MPa	tensione caratteristica allo 1% di deformazione
$\gamma_s =$	1,15	-	coefficiente parziale di sicurezza SLU
$E_s =$	195000	MPa	Modulo elastico di progetto
$\sigma_s < 0.90 \times f_{p(1)k} =$	1503	MPa	Tensione massima trefolo in fase iniziale
$\sigma_s < 0.80 \times f_{ptk} =$	1488	MPa	Tensione massima trefolo in fase iniziale

	<b>DIRETTRICE FERROVIARIA MESSINA – CATANIA – PALERMO</b> <b>NUOVO COLLEGAMENTO PALERMO – CATANIA</b> <b>TRATTA LERCARA DIRAMAZIONE – CALTANISSETTA (LOTTO 3B)</b> <b>Viadotto NW04</b>					
	<b>RELAZIONE DI CALCOLO IMPALCATO CAP</b>	COMMESSA <b>RS3T</b>	LOTTO <b>30</b>	CODIFICA <b>D 09CL</b>	DOCUMENTO <b>NW04 00 002</b>	REV. <b>B</b>

$\sigma_s < 0.80 \times f_{ptk} =$                       1488    MPa                      Tensione massima trefolo in fase finale con cadute di tensione

Per il calcestruzzo si adotta il diagramma parabola rettangolo definito da un arco di parabola con la seguente equazione:

$$\sigma_c = f_{cd} \cdot \left[ 2 \cdot \left( \frac{\varepsilon_c}{\varepsilon_0} \right) - \left( \frac{\varepsilon_c}{\varepsilon_0} \right)^2 \right]; \quad \text{per: } \varepsilon_c \leq \varepsilon_{c2}$$

$$\sigma_c = 0.85 \cdot f_{cd}; \quad \text{per: } \varepsilon_{c2} \leq \varepsilon_c \leq \varepsilon_{cu2}$$

in cui  $\varepsilon_{c2}$  e  $\varepsilon_{cu2}$  assumono i seguenti valori:

deformazione in corrispondenza del valore massimo della tensione                       $\varepsilon_{c2} = 2.0\text{‰}$


deformazione unitaria a rottura                       $\varepsilon_{cu2} = 3.5\text{‰}$

Per l'acciaio B450C Si adotta il diagramma elastico perfettamente plastico considerando, in favore di sicurezza, un limite della deformazione unitaria ultima " $\varepsilon_{ud}$ " pari a: deformazione unitaria ultima                       $\varepsilon_{ud} = 0.9 \times \varepsilon_{uk} = 6.75\text{‰}$ .

Per l'acciaio armonico si adotta il diagramma elasto-plastico incrudente considerando, in favore di sicurezza, un limite della deformazione unitaria ultima " $\varepsilon_{ud}$ " pari a:

deformazione unitaria ultima                       $\varepsilon_{ud} = 1.0\text{‰}$ .

La tensione limite del primo tratto è assunta pari a  $(0.9 \times f_{ptk}) / \gamma_s = f_{p(1)k} / \gamma_s$  mentre la tensione limite di rottura è assunta pari a  $f_{ptk} / \gamma_s$ .

	<b>DIRETTRICE FERROVIARIA MESSINA – CATANIA – PALERMO</b> <b>NUOVO COLLEGAMENTO PALERMO – CATANIA</b> <b>TRATTA LERCARA DIRAMAZIONE – CALTANISSETTA (LOTTO 3B)</b> <b>Viadotto NW04</b>					
	<b>RELAZIONE DI CALCOLO IMPALCATO CAP</b>	<b>COMMESSA</b> RS3T	<b>LOTTO</b> 30	<b>CODIFICA</b> D 09CL	<b>DOCUMENTO</b> NW04 00 002	<b>REV.</b> B

## 4 CARATTERIZZAZIONE SISMICA DEL SITO

Nel seguente paragrafo è riportata la valutazione dei parametri di pericolosità sismica utili alla determinazione delle azioni sismiche di progetto dell'opera cui si riferisce il presente documento, in accordo a quanto specificato a riguardo dal D.M. 17 gennaio 2018 e relativa circolare applicativa.

### 4.1 Vita nominale e classe d'uso

Per la valutazione dei parametri di pericolosità sismica è necessario definire, oltre alla localizzazione geografica del sito, la Vita nominale dell'opera strutturale (VN), intesa come il numero di anni nel quale la struttura, purché soggetta alla manutenzione ordinaria, deve potere essere usata per lo scopo al quale è destinata, e la Classe d'Uso a cui è associato un coefficiente d'uso (CU)

Per l'opera in oggetto si considera una vita nominale:  $VN = 100$  anni. Riguardo invece la Classe d'Uso, all'opera in oggetto corrisponde una Classe III a cui è associato un coefficiente d'uso pari a (NTC – Tabella 2.4.II):  $C_u = 1.5$ .

I parametri di pericolosità sismica vengono quindi valutate in relazione ad un periodo di riferimento  $V_R$  che si ricava per ciascun tipo di costruzione, moltiplicando la vita nominale  $V_n$  per il coefficiente d'uso  $C_u$ , ovvero:

$$V_R = V_N \cdot C_U$$

Pertanto, per l'opera in oggetto, il periodo di riferimento è pari a  $V_R = 100 \times 1.5 = 150$  anni

### 4.2 Parametri di pericolosità sismica

La valutazione dei parametri di pericolosità sismica, che ai sensi del D.M. 17-01-2018, costituiscono il dato base per la determinazione delle azioni sismiche di progetto su una costruzione (forme spettrali e/o forze inerziali) dipendono, come già in parte anticipato in precedenza, dalla localizzazione geografica del sito, dalle caratteristiche della costruzione (Periodo di riferimento per valutazione azione sismica /  $V_R$ ) oltre che dallo Stato Limite di riferimento/Periodo di ritorno dell'azione sismica.

- Categoria sottosuolo C

In accordo a quanto riportato in Allegato A delle Norme Tecniche per le costruzioni DM 17.01.18, si ottiene per il sito in esame:

### FASE 1. INDIVIDUAZIONE DELLA PERICOLOSITÀ DEL SITO

Ricerca per coordinate  
 LONGITUDINE: 13.99389    LATITUDINE: 37.53523

Ricerca per comune  
 REGIONE: Sicilia    PROVINCIA: Catania    COMUNE: Ramacca

Elaborazioni grafiche:  
 Grafici spettri di risposta  
 Variabilità dei parametri

Elaborazioni numeriche:  
 Tabella parametri

Nodi del reticolo intorno al sito



Controllo sul reticolo:  
 Sito esterno al reticolo  
 Interpolazione su 3 nodi  
 Interpolazione connessa

Interpolazione:  
 media ponderata

La "Ricerca per comune" utilizza le coordinate ISTAT del comune per identificare il sito. Si sottolinea che all'interno del territorio comunale le azioni sismiche possono essere significativamente diverse da quelle così individuate e si consiglia, quindi, la "Ricerca per coordinate".

INTRO    **FASE 1**    FASE 2    FASE 3

I parametri utilizzati per la definizione dell'azione sismica sono riportati di seguito.

### FASE 2. SCELTA DELLA STRATEGIA DI PROGETTAZIONE

Vita nominale della costruzione (in anni) -  $V_N$     100    info

Coefficiente d'uso della costruzione -  $c_U$     1.5    info

Valori di progetto

Periodo di riferimento per la costruzione (in anni) -  $V_R$     150    info

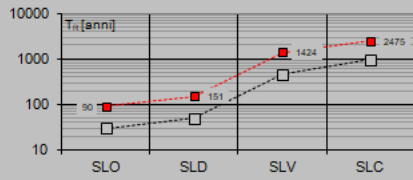
Periodi di ritorno per la definizione dell'azione sismica (in anni) -  $T_R$     info

Stati limite di esercizio - SLE:  
 (SLO -  $P_{VR} = 81\%$ )    90  
 (SLD -  $P_{VR} = 63\%$ )    151

Stati limite ultimi - SLU:  
 (SLV -  $P_{VR} = 10\%$ )    1424  
 (SLC -  $P_{VR} = 5\%$ )    2475

Elaborazioni:  
 Grafici parametri azione  
 Grafici spettri di risposta  
 Tabella parametri azione

Strategia di progettazione

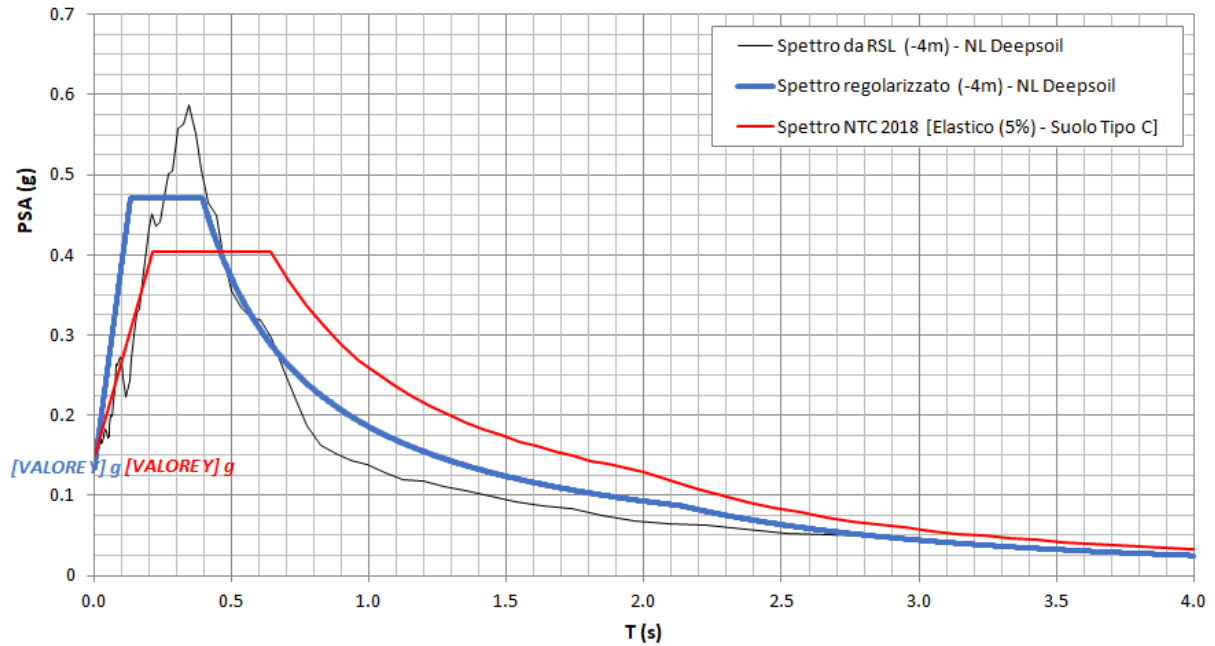


LEGENDA GRAFICO  
 ---□--- Strategia per costruzioni ordinarie  
 ---■--- Strategia scelta

INTRO    FASE 1    **FASE 2**    FASE 3

Per il viadotto in esame è stato effettuato uno specifico studio di Risposta Sismica Locale del quale si riportano i risultati:

NV62A-NW04 - prova: DH3BS06



## 5 DESCRIZIONE DELL'OPERA

Gli impalcato oggetto della presente relazione, sono realizzati con un sistema di travi prefabbricate in cemento armato precompresso. Lo schema statico è quello di una trave semplicemente appoggiata alle estremità di luce netta pari a circa 22.40 m (da appoggio a appoggio). L'impalcato calcolato è caratterizzato da una larghezza complessiva pari a 12.70 m (di cui 9.00 m relativi alla carreggiata stradale).

La struttura dell'impalcato si compone con cassoncini prefabbricati in c.a.p., aventi un interasse di 2,00 m e lunghezza pari a 23.40 m. Le travi principali sono solidarizzate da 4 traversi (2 sull'asse-appoggi e 2 in campata) prefabbricati insieme alle travi.

Le travi hanno un'altezza costante pari a 1.40 m, una larghezza superiore di 2.00 m ed inferiore di 1.00 m. Lo spessore minimo della parte inferiore della trave è di 0.23 m mentre quello delle anime è di 0.14 m. La soletta di completamento in cemento armato ha uno spessore variabile tra 0.26÷0.38 m.

La precompressione è data da 40 trefoli con sezione da 0,6" (1,39cm<sup>2</sup>), alcuni opportunamente inguainati, tesati alla tensione iniziale di 1375 MPa.

I trasversi saranno armati in opera con barre tipo Diwidag.

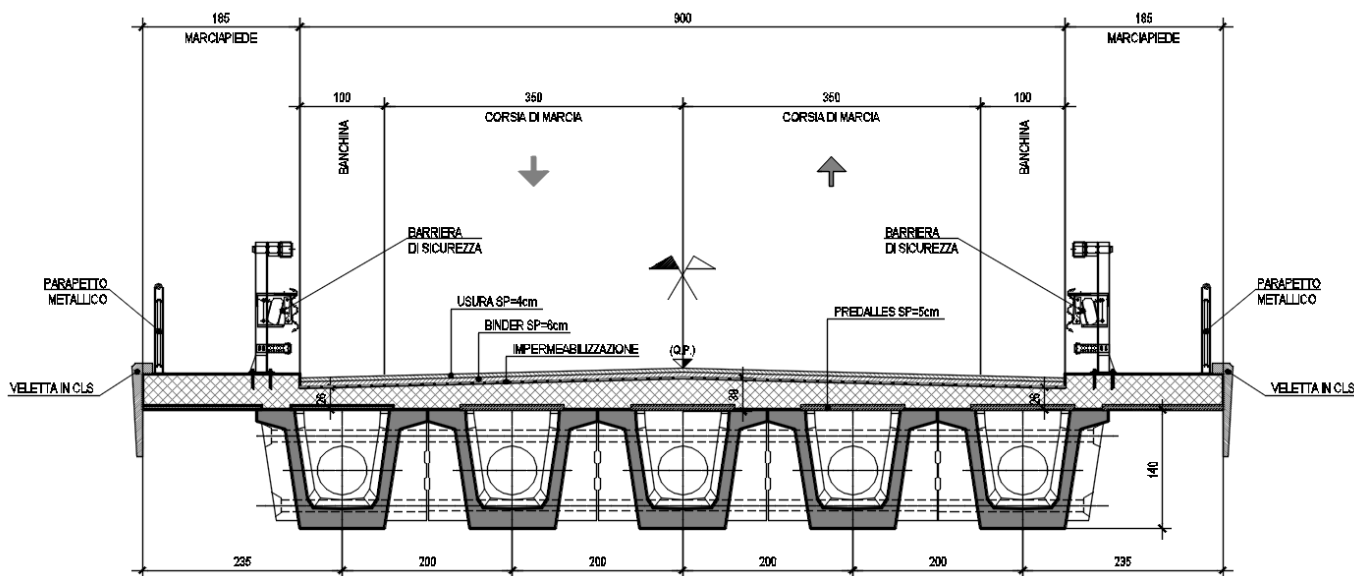


Figura 1 – Sezione tipica trasversale dell'impalcato



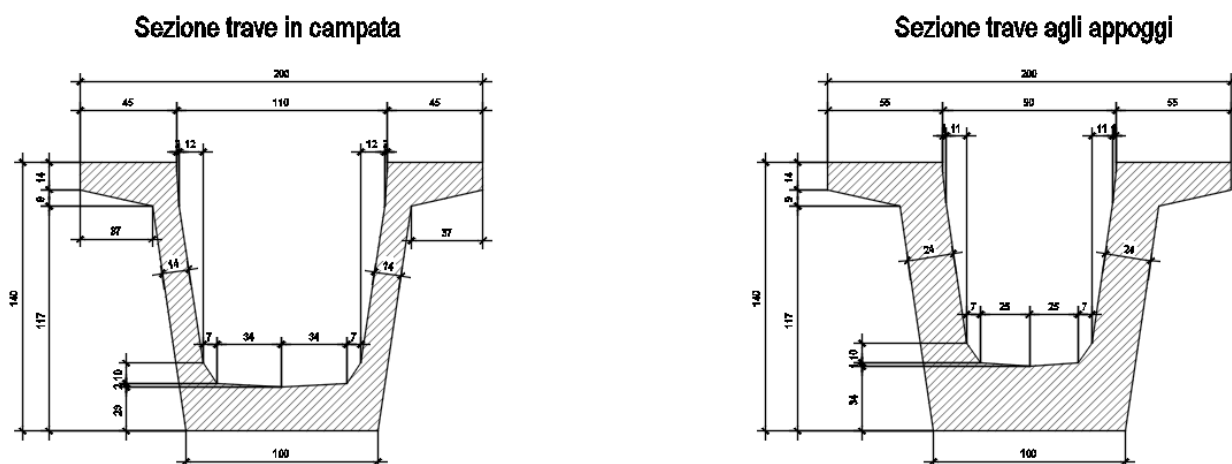


Figura 2 – Sezione della trave in c.a.p.

Lo schema di vincolo dell' impalcato prevede cinque apparecchi di appoggio per ognuna delle estremità, con schema globale di tipo fisso — unidirezionale; lo schema si ripete analogo per ogni campata.

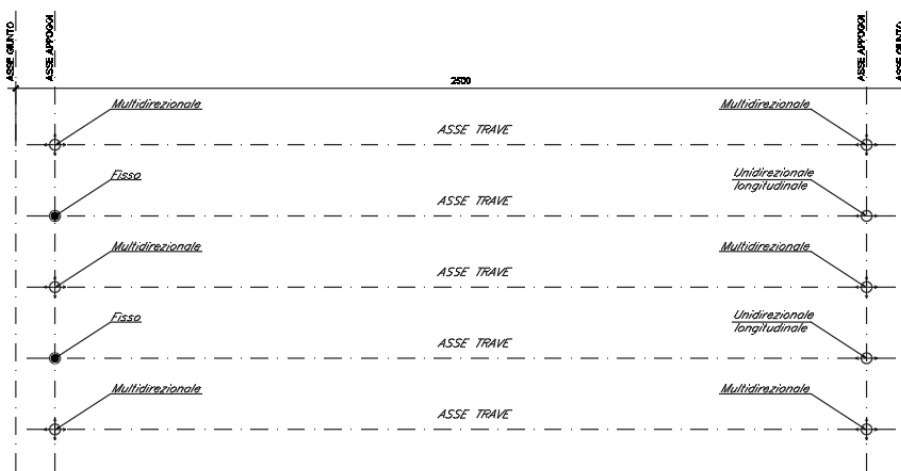


Figura 3 – Schema degli apparecchi di appoggio

## 5.1 Esecuzione del manufatto

Le travi e i traversi vengono realizzati in stabilimento mediante il getto del calcestruzzo in casseforme metalliche, vibrato ad alta frequenza per la compattazione e trattato con ciclo termico. La precompressione delle travi è realizzata mediante la pretensione di trefoli, a tiro multiplo, sulle piste di confezionamento prevedendo la posa in opera di guaine per la quota parte dei trefoli che verranno in seguito tagliati: si provvederà inoltre a sfilare da apposite cassette i tratti di armatura non aderente, con successiva iniezione dei condotti e sigillatura delle cassette.

I traversi vengono armati in opera con barre tipo diwidag.

La soletta in cemento armato è prevista gettata in opera utilizzando delle predalle in c.a. aventi spessore di 5 cm. Una volta disposte le predalle si provvede alla posa dell'armatura trasversale integrativa e dell'armatura longitudinale di ripartizione e quindi si esegue il getto a spessore definitivo.

## 6 ANALISI DEI CARICHI

### 6.1 Peso proprio (G1)

Il carico delle strutture in c.a. e c.a.p. viene valutato considerando un peso di volume pari a 25 kN/mc.

Il peso delle travi, della soletta e dei trasversi è applicato come carico distribuito sugli elementi “beam” del modello agli elementi finiti dell’impalcato.

Peso trave (a metro lineare-sezione corrente)  $P_{tra} = 25 \times A_{media-trave} = 25 \times 0.7 = 17.5 \text{ kN/m}$

Peso trave (a metro lineare-sezione testata)  $P_{tra} = 25 \times A_{media-trave} = 25 \times 1.0 = 25.0 \text{ kN/m}$

Peso soletta (a metro quadro sp. medio = 0.305m)  $P_{sol} = 25 \times S_{soletta} = 25 \times 0.305 = 7.625 \text{ kN/m}^2$

Peso trasversi intermedi (a metro lineare)  $P_{tra} = 25 \times A_{trasverso-campata} = 25 \times 1.30 \times 0.40 = 13.0 \text{ kN/m}$

Peso trasversi testata (a metro lineare)  $P_{tra} = 25 \times A_{trasverso-testata} = 25 \times 1.30 \times 1.10 = 32.5 \text{ kN/m}$

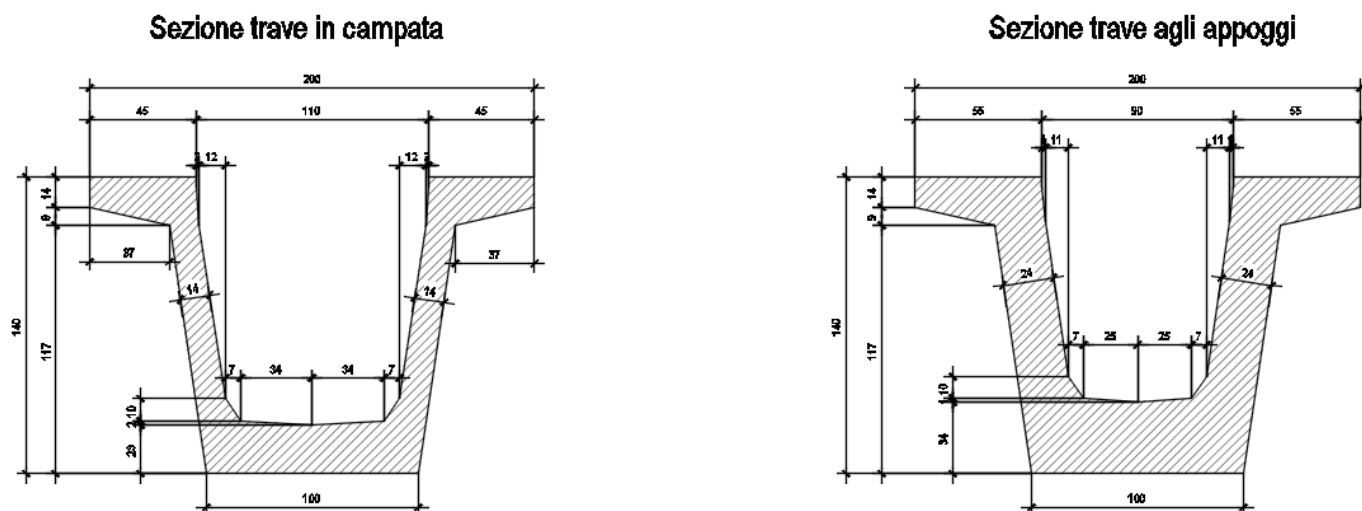


Figura 4 – Sezioni trave in c.a.p.

### 6.2 Permanenti portati (G2)

Sono stati considerati i seguenti contributi da applicare alle travi di competenza

#### 6.2.1 Pavimentazione – G2,1

Si considera il peso specifico della pavimentazione pari a 20 kN/m<sup>3</sup> e uno spessore di 9 cm. Il peso al metro quadrato è pari a 20x0.09 = 1.8 kN/m<sup>2</sup>. Nel modello di calcolo 3.0 kN/m<sup>2</sup>.

### 6.2.2 Parapetto e barriere di sicurezza – G2,2

Si considera il peso del parapetto pari a 1.0 kN/m.

Si considera il peso della barriera di sicurezza pari a 1.4 kN/m.

### 6.2.3 Veletta in c.a. – G2,3

Si considera il peso della veletta in c.a pari a  $25 \times 0.1894 = 4.74$  kN/m.

### 6.2.4 Impianti – G2,4

Si considera il carico degli impianti pari a 1.00 kN/m.

### 6.2.5 Marciapiedi gettati in seconda fase – G2,5

I marciapiedi vengono realizzati con getto di seconda fase sulla soletta. Lo spessore del getto di seconda fase è indicato nella figura seguente.

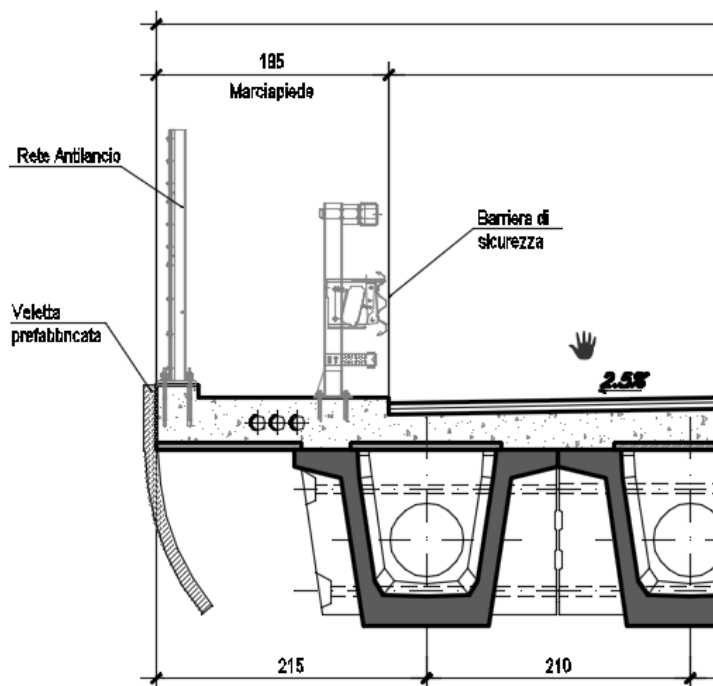



Figura 5 – Marciapiede gettato in seconda fase

Le forze da applicare sono:

$$F_{\text{getto}} = (0.15 \times 1.85 + 0.35 \times 0.1) \times 25 \approx 8.00 \text{ kN/m}$$

	<b>DIRETTRICE FERROVIARIA MESSINA – CATANIA – PALERMO</b> <b>NUOVO COLLEGAMENTO PALERMO – CATANIA</b> <b>TRATTA LERCARA DIRAMAZIONE – CALTANISSETTA (LOTTO 3B)</b> <b>Viadotto NW04</b>					
	<b>RELAZIONE DI CALCOLO IMPALCATO CAP</b>	<b>COMMESSA</b> RS3T	<b>LOTTO</b> 30	<b>CODIFICA</b> D 09CL	<b>DOCUMENTO</b> NW04 00 002	<b>REV.</b> B

### 6.3 Presollecitazioni di progetto (P)

La precompressione è data da 40 trefoli con sezione da 0,6" (1,39cmq) , alcuni opportunamente inguainati, tesati alla tensione iniziale di 1375 MPa.

trefoli : 6/10" area = 139,000 [mm<sup>2</sup>]

acciaio : prec.fpk=1860

tensione di tesatura = 137500 [N/cm<sup>2</sup>]

$A_p = 55,600$   $N_p = 7645000,00$  [N]

### 6.4 Ritiro ( $\epsilon_1$ )

Il calcolo delle deformazioni da ritiro nei cassoncini e nella soletta è stato eseguito secondo quanto specificato nel Decreto Ministeriale 17 gennaio 2018.

I valori di seguito calcolati sono assegnati rispettivamente alla trave e alla soletta ai fini del calcolo sia delle perdite legate al ritiro che agli effetti del ritiro differenziale trave-soletta

**Cassoncino(sezione corrente)**

### Ritiro Cassoncino

Cl<sub>s</sub> a t=0

$$R_{ck} = 55 \text{ N/mm}^2$$

$$f_{ck} = 45.65 \text{ N/mm}^2$$

$$f_{cm} = 53.65 \text{ N/mm}^2$$

$$\alpha = 1.0E-05$$

$$E_{cm} = 36416 \text{ N/mm}^2$$

### Tempo e ambiente

$$t_s = 10 \text{ gg}$$

$$t = 50000 \text{ gg}$$

$$h_0 = 2A_c/u = 325.0839937 \text{ mm}$$

$$A_c = 717948 \text{ mm}^2$$

$$u = 4417 \text{ mm}$$

$$RH = 65 \%$$

### Ritiro da essiccamento

$$\varepsilon_{c0} = -0.000370 \text{ gg}$$

$$K_h = 0.725000 \text{ gg}$$

$$\varepsilon_{cd\_inf} = -0.000268 \text{ mm}$$

$$B_{ds} = 0.995332 \text{ mm}^2$$

$$\varepsilon_{cd} = -0.00026700 \text{ mm}$$

### Ritiro autogeno

$$\varepsilon_{ca} = -0.00008913 \text{ gg}$$

### Ritiro totale

$$\varepsilon_{cd} + \varepsilon_{ca} = -0.000356 \text{ gg}$$

## Soletta

### Ritiro Soletta

Cl<sub>s</sub> a t=0

$R_{ck}$	=	40	N/mm <sup>2</sup>
$f_{ck}$	=	33.2	N/mm <sup>2</sup>
$f_{cm}$	=	41.2	N/mm <sup>2</sup>
$\alpha$	=	1.0E-05	
$E_{cm}$	=	33643	N/mm <sup>2</sup>

### Tempo e ambiente

$t_s$	=	10	gg
$t$	=	50000	gg
$h_0=2A_c/u$	=	433.3333333	mm
$A_c$	=	3900000	mm <sup>2</sup>
$u$	=	18000	mm
RH	=	65	%

### Ritiro da essiccamento

$\varepsilon_{c0}$	=	-0.000340	gg
$K_h$	=	0.780000	gg
$\varepsilon_{cd\_inf}$	=	-0.000265	mm
$B_{ds}$	=	0.992834	mm <sup>2</sup>
$\varepsilon_{cd}$	=	-0.00026330	mm

### Ritiro autogeno

$\varepsilon_{ca}$	=	-0.00005800	gg
--------------------	---	-------------	----

### Ritiro totale

$\varepsilon_{cd}+\varepsilon_{ca}$	=	-0.000321	gg
-------------------------------------	---	-----------	----


#### 6.4.1 Viscosità ( $\varepsilon_4$ )

Il calcolo del coefficiente di viscosità nei cassoncini e nella soletta è stato eseguito secondo quanto specificato nel Decreto Ministeriale 17 gennaio 2018.

Con riferimento a parametri e valori calcolati nel paragrafo relativo al ritiro si ha:

$$\phi(t_{\infty}, t_0) = 2,4 \text{ Cassoncino}$$

$$\phi(t_{\infty}, t_0) = 2,6 \text{ Soletta}$$

 <b>ITAFERR</b> GRUPPO FERROVIE DELLO STATO ITALIANE	<b>DIRETTRICE FERROVIARIA MESSINA – CATANIA – PALERMO</b> <b>NUOVO COLLEGAMENTO PALERMO – CATANIA</b> <b>TRATTA LERCARA DIRAMAZIONE – CALTANISSETTA (LOTTO 3B)</b> <b>Viadotto NW04</b>					
	<b>RELAZIONE DI CALCOLO IMPALCATO CAP</b>	COMMESSA <b>RS3T</b>	LOTTO <b>30</b>	CODIFICA <b>D 09CL</b>	DOCUMENTO <b>NW04 00 002</b>	REV. <b>B</b>

## 6.5 Azioni variabili (Q)

### 6.5.1 Carico mobile stradale (Q1,1 – Q1,2)

In accordo con la normativa vigente le azioni variabili da traffico, comprensive degli effetti dinamici, sono definite dallo schema di carico 1 ovvero lo schema costituito da carichi concentrati su due assi in tandem, applicati su impronte di pneumatico di forma quadrata e lato 0.40m, e da carichi uniformemente distribuiti. Si considera un solo carico tandem (non segmentabile) per corsia disposto in asse alla stessa;

### 6.5.2 Entità dei carichi mobili – Schema di carico 1

In accordo con la normativa vigente i carichi mobili associati allo schema di carico in esame sono:

- **Corsia 1** ⇒ colonna di carico costituita da un carico tandem “ $2 \times Q_{1k}$ ” da **600 kN** totali su due assi aventi le caratteristiche indicate nella figura sottostante e da uno o più tratti di carico superficiale uniformemente distribuito “ $q_{1,k}$ ” da **9.0 kPa** disposti, ai fini del calcolo delle strutture principali, in asse alla corsia nel modo più sfavorevole;
- **Corsia 2** ⇒ colonna di carico costituita da un carico tandem “ $2 \times Q_{2k}$ ” da **400 kN** totali su due assi aventi le caratteristiche indicate nella figura sottostante e da uno o più tratti di carico superficiale uniformemente distribuito “ $q_{2,k}$ ” da **2.5 kPa** disposti, ai fini del calcolo delle strutture principali, in asse alla corsia nel modo più sfavorevole;
- **Corsia 3** ⇒ colonna di carico costituita da un carico tandem “ $2 \times Q_{3k}$ ” da **200 kN** totali su due assi aventi le caratteristiche indicate nella figura sottostante e da uno o più tratti di carico superficiale uniformemente distribuito “ $q_{3,k}$ ” da **2.5 kPa** disposti, ai fini del calcolo delle strutture principali, in asse alla corsia nel modo più sfavorevole;
- **Corsia 4** ⇒ area rimanente della carreggiata caricata solo con uno o più tratti di carico superficiale uniformemente distribuito “ $q_{4,k}$ ” da **2.5 kPa** disposto, ai fini del calcolo delle strutture principali, in asse all’area caricata nel modo più sfavorevole.

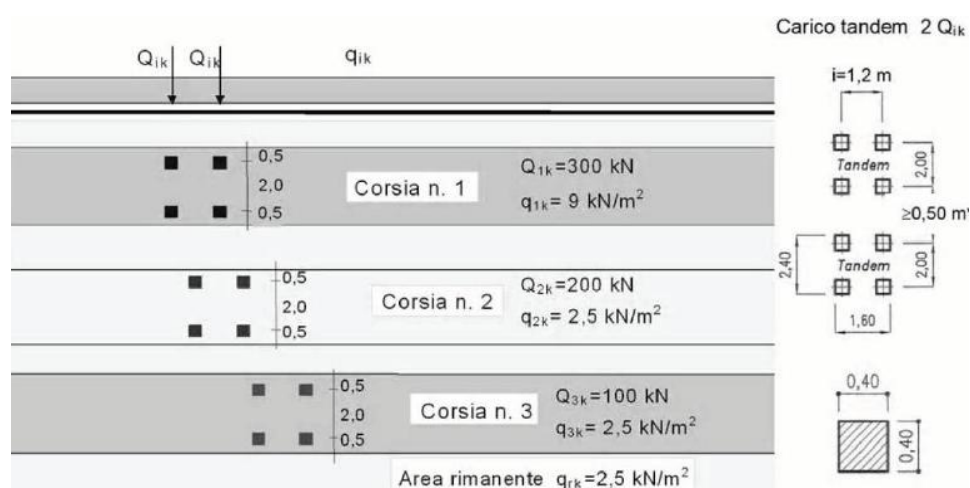


Figura 6 – Corsie: Corsia n°1, corsia n°2 e corsia n°3– Colonne di carico

Esclusivamente per le verifiche locali, si utilizza lo Schema 2, costituito da un singolo asse applicato su specifiche impronte di pneumatico di forma rettangolare, di larghezza 0,60 m e di altezza 0,35 m. Nel caso sia più gravoso, si considera il peso di una singola ruota da 200 kN.

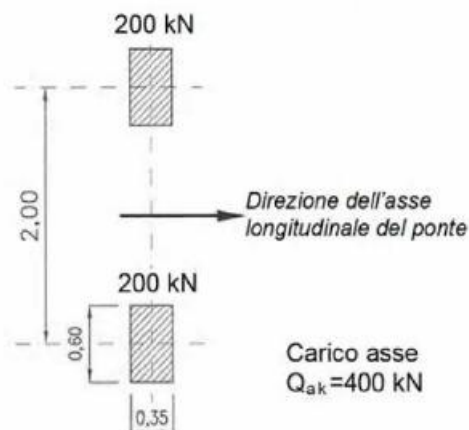


Figura 7: Schema di carico 2 per verifiche locali

### 6.5.3 Disposizione trasversale dei carichi mobili

Il numero massimo delle colonne di carichi mobili considerato nel calcolo del ponte è quello massimo compatibile con la larghezza della carreggiata  $w$  secondo le indicazioni della tabella 5.1.I del DM 2018 di seguito riportata.

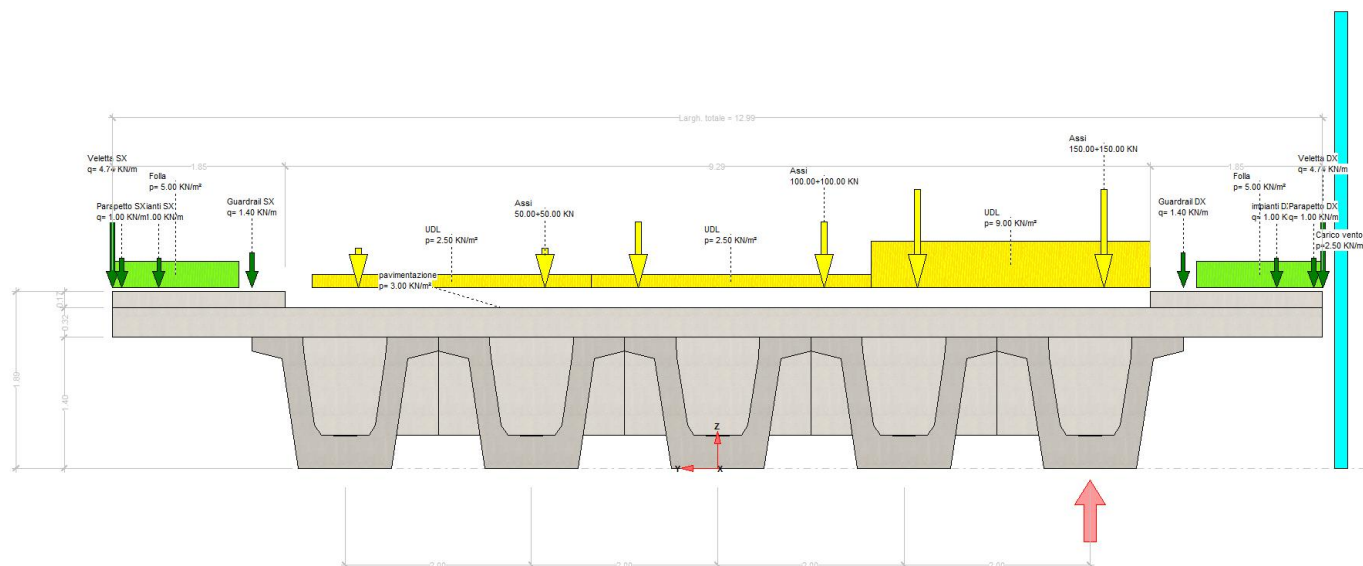
Tab. 5.1.I - Numero e larghezza delle corsie

Larghezza della superficie carrabile " $w$ "	Numero di corsie convenzionali	Larghezza di una corsia convenzionale [m]	Larghezza della zona rimanente [m]
$w < 5,40$ m	$n_1 = 1$	3,00	$(w - 3,00)$
$5,4 \leq w < 6,0$ m	$n_1 = 2$	$w/2$	0
$6,0 \text{ m} \leq w$	$n_1 = \text{Int}(w/3)$	3,00	$w - (3,00 \times n_1)$

La larghezza della carreggiata è pari a 9 metri, la larghezza di una corsia convenzionale è pari a 3.0 m pertanto il numero massimo delle corsie convenzionali è pari a 3.

Si riporta di seguito la disposizione più gravosa per la trave più sollecitata (indicata con una freccia rossa)





**Figura 8 – carichi agenti**

#### 6.5.4 Disposizione longitudinale dei carichi mobili

Per il calcolo delle sollecitazioni massime sull'impalcato si considerano i carichi accidentali viaggianti secondo il criterio delle linee d'influenza.

#### 6.5.5 Carichi sui marciapiedi (Q1)

I marciapiedi non aperti al pubblico sono utilizzati solo dal personale autorizzato. I carichi accidentali sono schematizzati da un carico uniformemente ripartito del valore di  $5 \text{ kN/m}^2$  con valore di combinazione pari a  $2.5 \text{ kN/m}^2$  (§ 5.1.3.3.3 NTC18).

#### 6.5.6 Forza centrifuga (Q3)

Non si considera la forza centrifuga poiché l'impalcato è in rettilineo.

#### 6.5.7 Frenatura (Q4)

In accordo al DM2018 (p.to 5.1.3.5) la forza di frenatura o accelerazione per i ponti di prima categoria è assumere pari a:

$$180 \text{ kN} \leq F_{\text{fren}} = 0.6 \times (2 \times Q_{1k}) + 0.1 \times (q_{1k} \times w_1 \times L) \cong 0.6 \times 2 \times 300 + 0.1 \times (9 \times 3 \times 25) = 427.5 \text{ kN} < 900 \text{ kN}$$

con

$$Q_{1k} = 300 \text{ kN};$$

	<b>DIRETTRICE FERROVIARIA MESSINA – CATANIA – PALERMO</b> <b>NUOVO COLLEGAMENTO PALERMO – CATANIA</b> <b>TRATTA LERCARA DIRAMAZIONE – CALTANISSETTA (LOTTO 3B)</b> <b>Viadotto NW04</b>					
	<b>RELAZIONE DI CALCOLO IMPALCATO CAP</b>	COMMESSA RS3T	LOTTO 30	CODIFICA D 09CL	DOCUMENTO NW04 00 002	REV. B

$$w_1 = 3.0 \text{ m};$$

$$q_{1k} = 9.0 \text{ kN/m}^2;$$

$$L = 25.0 \text{ m}.$$

Tale forza applicata in asse all'impalcato e ad estradosso pavimentazione, genera sollecitazioni assolutamente trascurabili sull'impalcato; per tale ragione è considerata solo per il dimensionamento dei dispositivi di appoggio.

### 6.5.8 *Urto del veicolo in svio sulla barriera sicurvia (Q6)*

Sulla base delle prescrizioni normative (§ 5.1.3.10 e § 3.6.3.3.2 – NTC18), l'urto di un veicolo stradale sulle barriere sicurvia è stato modellato come un sistema di forze orizzontale applicate in corrispondenza delle barriere ad un'altezza pari alla minore tra:

$$h_1 = \text{altezza della barriera (pari a 1.5 m)} - 0.10 \text{ m} = 1.40 \text{ m};$$

$$h_2 = 1.0 \text{ m};$$

quindi  $h = 1.0 \text{ m}$ . La forza orizzontale è pari a 100 kN.

### 6.5.9 *Azioni parassite dei vincoli (Q7)*

Le azioni parassite dei vincoli sono stimate come forze orizzontali pari allo 3% delle reazioni dovute ai carichi verticali.. Non essendo dimensionanti ai fini dell'impalcato le stesse sono calcolate nelle relazioni delle sottostrutture.

## 6.6 *Azioni climatiche*

### 6.6.1 *Variatione termica uniforme (ε3)*

La variazione termica uniforme è valutata secondo il § 5.2.2.5.2 delle NTC18. Si prevede una variazione termica pari a  $\pm 15 \text{ }^\circ\text{C}$ . Per l'escursione giunti e appoggi si incrementa la variazione termica del 50%.

### 6.6.2 *Variatione termica differenziale (ε3)*

È stata considerata un gradiente di temperatura tra intradosso ed estradosso dell'impalcato pari a  $\pm 5 \text{ }^\circ\text{C}$

Tale valore è assegnato direttamente al software ai fini del calcolo.

### 6.6.3 *Vento (Q5)*

A vantaggio di sicurezza si assume comunque una pressione da vento pari a **2.5 kN/mq**

Il caso di ponte carico, per cui l'altezza della superficie di impatto del vento è pari all'altezza dell'impalcato più tre metri, è evidentemente il più gravoso per gli effetti sulle travi che per le reazioni agli appoggi.

## 7 VERIFICA DEL TRAVERSO DI CAMPATA

Le sollecitazioni agenti sono desunte dal paragrafo “Sollecitazioni sul traverso di campata” e di seguito sintetizzate

### SLU

$$M_{\max} = 465 \text{ KNm}$$

$$M_{\min} = -804 \text{ KNm}$$

### SLE – Rare

$$M_{\max} = 114 \text{ KNm}$$

$$M_{\min} = -576 \text{ KNm}$$

### SLE – Frequenti

$$M_{\max} = -95 \text{ KNm}$$

$$M_{\min} = -505 \text{ KNm}$$

### SLE – Quasi permanenti

$$M_{\max} = -99 \text{ KNm}$$

$$M_{\min} = -388 \text{ KNm}$$

Si verifica la sezione composta a T trasverso+soletta collaborante.

Si dispongono 4 Ø 24 barre diwidag per asola mentre in soletta sono presenti 1+1 Ø 12/20

### CARATTERISTICHE DI RESISTENZA DEI MATERIALI IMPIEGATI

CALCESTRUZZO -	Classe:	C45/55	
	Resis. compr. di progetto fcd:	255.00	daN/cm <sup>2</sup>
	Def.unit. max resistenza ec2:	0.0020	
	Def.unit. ultima ecu:	0.0035	
	Diagramma tensione-deformaz.:	Parabola-Rettangolo	
	Modulo Elastico Normale Ec:	362830	daN/cm <sup>2</sup>
	Resis. media a trazione fctm:	45.50	daN/cm <sup>2</sup>
	Coeff. Omogen. S.L.E.:	15.00	
	Sc limite S.L.E. comb. Rare:	270.00	daN/cm <sup>2</sup>
	Sc limite S.L.E. comb. Frequenti:	270.00	daN/cm <sup>2</sup>
	Ap.Fessure limite S.L.E. comb. Frequenti:	0.400	mm
	Sc limite S.L.E. comb. Q.Permanenti:	202.50	daN/cm <sup>2</sup>
	Ap.Fess.limite S.L.E. comb. Q.Perm.:	0.300	mm
ACCIAIO -	Tipo:	B450C	
	Resist. caratt. snervam. fyk:	4500.0	daN/cm <sup>2</sup>
	Resist. caratt. rottura ftk:	4500.0	daN/cm <sup>2</sup>
	Resist. snerv. di progetto fyd:	3913.0	daN/cm <sup>2</sup>
	Resist. ultima di progetto ftd:	3913.0	daN/cm <sup>2</sup>
	Deform. ultima di progetto Epu:	0.068	

**RELAZIONE DI CALCOLO IMPALCATO CAP**

COMMESSA	LOTTO	CODIFICA	DOCUMENTO	REV.	FOGLIO
RS3T	30	D 09CL	NW04 00 002	B	28 di 104

Modulo Elastico Ef	2000000	daN/cm <sup>2</sup>
Diagramma tensione-deformaz.:	Bilineare finito	
Coeff. Aderenza istantaneo $\beta_1 \cdot \beta_2$ :	1.00	
Coeff. Aderenza differito $\beta_1 \cdot \beta_2$ :	0.50	
Sf limite S.L.E. Comb. Rare:	3600.0	daN/cm <sup>2</sup>

**CARATTERISTICHE DOMINIO CONGLOMERATO**

Forma del Dominio: Poligonale  
Classe Conglomerato: C45/55

N° vertice:	X [cm]	Y [cm]
1	-145.0	0.0
2	-145.0	25.0
3	-20.0	25.0
4	-20.0	165.0
5	20.0	165.0
6	20.0	25.0
7	145.0	25.0
8	145.0	0.0

**DATI BARRE ISOLATE**

N° Barra	X [cm]	Y [cm]	DiamØ [mm]
1	-141.0	4.0	12
2	-141.0	21.0	12
3	141.0	21.0	12
4	141.0	4.0	12
5	-15.0	52.0	24
6	15.0	52.0	24
7	15.0	135.0	24
8	-15.0	135.0	24

**DATI GENERAZIONI LINEARI DI BARRE**

N° Gen. Numero assegnato alla singola generazione lineare di barre  
N° Barra Ini. Numero della barra iniziale cui si riferisce la generazione  
N° Barra Fin. Numero della barra finale cui si riferisce la generazione  
N° Barre Numero di barre generate equidistanti cui si riferisce la generazione  
Ø Diametro in mm delle barre della generazione

N° Gen.	N° Barra Ini.	N° Barra Fin.	N° Barre	Ø
1	1	4	12	12
2	2	3	12	12
3	5	6	2	24
4	7	8	2	24

**CALCOLO DI RESISTENZA - SFORZI PER OGNI COMBINAZIONE ASSEGNATA**

N Sforzo normale in daN applicato nel Baric. (+ se di compressione)  
Mx Momento flettente [daNm] intorno all'asse x princ. d'inerzia  
con verso positivo se tale da comprimere il lembo sup. della sez.  
My Momento flettente [daNm] intorno all'asse y princ. d'inerzia  
con verso positivo se tale da comprimere il lembo destro della sez.  
Vy Componente del Taglio [daN] parallela all'asse princ. d'inerzia y

**RELAZIONE DI CALCOLO IMPALCATO CAP**

COMMESSA	LOTTO	CODIFICA	DOCUMENTO	REV.	FOGLIO
RS3T	30	D 09CL	NW04 00 002	B	29 di 104

Vx Componente del Taglio [daN] parallela all'asse princ.d'inerzia x

N°Comb.	N	Mx	My	Vy	Vx
1	0	80400	0	0	0
2	0	-46500	0	0	0

**COMB. RARE (S.L.E.) - SFORZI PER OGNI COMBINAZIONE ASSEGNATA**

N Sforzo normale in daN applicato nel Baricentro (+ se di compressione)  
Mx Momento flettente [daNm] intorno all'asse x princ. d'inerzia (tra parentesi Mom.Fessurazione) con verso positivo se tale da comprimere il lembo superiore della sezione  
My Momento flettente [daNm] intorno all'asse y princ. d'inerzia (tra parentesi Mom.Fessurazione) con verso positivo se tale da comprimere il lembo destro della sezione

N°Comb.	N	Mx	My
1	0	57600	0
2	0	11400	0

**COMB. FREQUENTI (S.L.E.) - SFORZI PER OGNI COMBINAZIONE ASSEGNATA**

N Sforzo normale in daN applicato nel Baricentro (+ se di compressione)  
Mx Momento flettente [daNm] intorno all'asse x princ. d'inerzia (tra parentesi Mom.Fessurazione) con verso positivo se tale da comprimere il lembo superiore della sezione  
My Momento flettente [daNm] intorno all'asse y princ. d'inerzia (tra parentesi Mom.Fessurazione) con verso positivo se tale da comprimere il lembo destro della sezione

N°Comb.	N	Mx	My
1	0	50500 (313114)	0 (0)
2	0	9500 (313114)	0 (0)

**COMB. QUASI PERMANENTI (S.L.E.) - SFORZI PER OGNI COMBINAZIONE ASSEGNATA**

N Sforzo normale in daN applicato nel Baricentro (+ se di compressione)  
Mx Momento flettente [daNm] intorno all'asse x princ. d'inerzia (tra parentesi Mom.Fessurazione) con verso positivo se tale da comprimere il lembo superiore della sezione  
My Momento flettente [daNm] intorno all'asse y princ. d'inerzia (tra parentesi Mom.Fessurazione) con verso positivo se tale da comprimere il lembo destro della sezione

N°Comb.	N	Mx	My
1	0	38800 (313114)	0 (0)
2	0	9900 (313114)	0 (0)

**RISULTATI DEL CALCOLO**

**Sezione verificata**

**VERIFICHE DI RESISTENZA IN PRESSO-TENSO FLESSIONE ALLO STATO LIMITE ULTIMO**

Ver S = combinazione verificata / N = combin. non verificata  
N Sn Sforzo normale assegnato [daN] nel baricentro sezione cls. (positivo se di compressione)  
Mx Sn Componente momento assegnato [daNm] riferito all'asse x princ. d'inerzia  
My Sn Componente momento assegnato [daNm] riferito all'asse y princ. d'inerzia  
N Res Sforzo normale resistente [daN] baricentrico (positivo se di compress.)  
Mx Res Momento flettente resistente [daNm] riferito all'asse x princ. d'inerzia  
My res Momento flettente resistente [daNm] riferito all'asse y princ. d'inerzia  
Mis.Sic. Misura sicurezza = rapporto vettoriale tra (N r,Mx Res,My Res) e (N,Mx,My)

**RELAZIONE DI CALCOLO IMPALCATO CAP**

COMMESSA	LOTTO	CODIFICA	DOCUMENTO	REV.	FOGLIO
RS3T	30	D 09CL	NW04 00 002	B	30 di 104

As Tesa Verifica positiva se tale rapporto risulta  $\geq 1.000$   
Area armature trave [cm<sup>2</sup>] in zona tesa. [Tra parentesi l'area minima ex (4.1.15)NTC]

N°Comb	Ver	N	Mx	My	N Res	Mx Res	My Res	Mis.Sic.	As Tesa
1	S	0	80400	0	0	251743	0	3.13	67.9
2	S	0	-46500	0	0	-142305	0	3.06	52.0

**METODO AGLI STATI LIMITE ULTIMI - DEFORMAZIONI UNITARIE ALLO STATO ULTIMO**

ec max Deform. unit. massima del conglomerato a compressione  
x/d Rapporto di duttilità [§ 4.1.2.1.2.1 NTC] deve essere  $< 0.45$   
Xc max Ascissa in cm della fibra corrisp. a ec max (sistema rif. X,Y,O sez.)  
Yc max Ordinata in cm della fibra corrisp. a ec max (sistema rif. X,Y,O sez.)  
es min Deform. unit. minima nell'acciaio (negativa se di trazione)  
Xs min Ascissa in cm della barra corrisp. a es min (sistema rif. X,Y,O sez.)  
Ys min Ordinata in cm della barra corrisp. a es min (sistema rif. X,Y,O sez.)  
es max Deform. unit. massima nell'acciaio (positiva se di compress.)  
Xs max Ascissa in cm della barra corrisp. a es max (sistema rif. X,Y,O sez.)  
Ys max Ordinata in cm della barra corrisp. a es max (sistema rif. X,Y,O sez.)

N°Comb	ec max	x/d	Xc max	Yc max	es min	Xs min	Ys min	es max	Xs max	Ys max
1	0.00350	0.161	-20.0	165.0	-0.00054	15.0	135.0	-0.01820	-141.0	4.0
2	0.00208	0.030	-145.0	0.0	0.00002	-141.0	4.0	-0.06750	15.0	135.0

**POSIZIONE ASSE NEUTRO PER OGNI COMB. DI RESISTENZA**

a, b, c Coeff. a, b, c nell'eq. dell'asse neutro  $aX+bY+c=0$  nel rif. X,Y,O gen.  
x/d Rapp. di duttilità (travi e solette)[§ 4.1.2.1.2.1 NTC]: deve essere  $< 0.45$   
C.Rid. Coeff. di riduz. momenti per sola flessione in travi continue

N°Comb	a	b	c	x/d	C.Rid.
1	0.000000000	0.000134792	-0.018740674	0.161	0.700
2	0.000000000	-0.000515401	0.002079155	0.030	0.700

**COMBINAZIONI RARE IN ESERCIZIO - MASSIME TENSIONI NORMALI ED APERTURA FESSURE (NTC/EC2)**

Ver S = comb. verificata/ N = comb. non verificata  
Sc max Massima tensione (positiva se di compressione) nel conglomerato [daN/cm<sup>2</sup>]  
Xc max, Yc max Ascissa, Ordinata [cm] del punto corrisp. a Sc max (sistema rif. X,Y,O)  
Sf min Minima tensione (negativa se di trazione) nell'acciaio [daN/cm<sup>2</sup>]  
Xs min, Ys min Ascissa, Ordinata [cm] della barra corrisp. a Sf min (sistema rif. X,Y,O)  
Ac eff. Area di calcestruzzo [cm<sup>2</sup>] in zona tesa considerata aderente alle barre  
As eff. Area barre [cm<sup>2</sup>] in zona tesa considerate efficaci per l'apertura delle fessure

N°Comb	Ver	Sc max	Xc max	Yc max	Sf min	Xs min	Ys min	Ac eff.	As eff.
1	S	39.2	20.0	165.0	-1186	-97.6	4.0	4851	31.7
2	S	7.8	20.0	165.0	-235	-119.3	4.0	4851	31.7

**COMBINAZIONI FREQUENTI IN ESERCIZIO - MASSIME TENSIONI NORMALI ED APERTURA FESSURE (NTC/EC2)**

N°Comb	Ver	Sc max	Xc max	Yc max	Sf min	Xs min	Ys min	Ac eff.	As eff.
1	S	34.4	-20.0	165.0	-1040	-119.3	4.0	4851	31.7
2	S	6.5	20.0	165.0	-196	-141.0	4.0	4851	31.7

**COMBINAZIONI FREQUENTI IN ESERCIZIO - APERTURA FESSURE [§ 7.3.4 EC2]**

**RELAZIONE DI CALCOLO IMPALCATO CAP**

COMMESSA	LOTTO	CODIFICA	DOCUMENTO	REV.	FOGLIO
RS3T	30	D 09CL	NW04 00 002	B	31 di 104

La sezione viene assunta sempre fessurata anche nel caso in cui la trazione minima del calcestruzzo sia inferiore a  $f_{ctm}$

Ver.	Esito della verifica
e1	Massima deformazione unitaria di trazione nel calcestruzzo (trazione -) valutata in sezione fessurata
e2	Minima deformazione unitaria di trazione nel calcestruzzo (trazione -) valutata in sezione fessurata
k1	= 0.8 per barre ad aderenza migliorata [eq.(7.11)EC2]
kt	= 0.4 per comb. quasi permanenti / = 0.6 per comb.frequenti [cfr. eq.(7.9)EC2]
k2	= 0.5 per flessione; $=(e1 + e2)/(2*e1)$ per trazione eccentrica [eq.(7.13)EC2]
k3	= 3.400 Coeff. in eq.(7.11) come da annessi nazionali
k4	= 0.425 Coeff. in eq.(7.11) come da annessi nazionali
Ø	Diametro [mm] equivalente delle barre tese comprese nell'area efficace $A_{c\ eff}$ [eq.(7.11)EC2]
Cf	Copriferro [mm] netto calcolato con riferimento alla barra più tesa
e <sub>sm</sub> - e <sub>cm</sub>	Differenza tra le deformazioni medie di acciaio e calcestruzzo [(7.8)EC2 e (C4.1.7)NTC] Tra parentesi: valore minimo = $0.6 S_{max} / E_s$ [(7.9)EC2 e (C4.1.8)NTC]
sr <sub>max</sub>	Massima distanza tra le fessure [mm]
wk	Apertura fessure in mm calcolata = $sr_{max} * (e_{sm} - e_{cm})$ [(7.8)EC2 e (C4.1.7)NTC]. Valore limite tra parentesi
Mx <sub>fess.</sub>	Componente momento di prima fessurazione intorno all'asse X [daNm]
My <sub>fess.</sub>	Componente momento di prima fessurazione intorno all'asse Y [daNm]

Comb.	Ver	e1	e2	k2	Ø	Cf	e <sub>sm</sub> - e <sub>cm</sub>	sr <sub>max</sub>	wk	Mx <sub>fess.</sub>	My <sub>fess.</sub>
1	S	-0.00054	0	0.500	12.0	34	0.00031 (0.00031)	428	0.134 (0.40)	313114	0
2	S	-0.00010	0	0.500	12.0	34	0.00006 (0.00006)	428	0.025 (0.40)	313114	0

**COMBINAZIONI QUASI PERMANENTI IN ESERCIZIO - MASSIME TENSIONI NORMALI ED APERTURA FESSURE (NTC/EC2)**

N°Comb	Ver	Sc <sub>max</sub>	Xc <sub>max</sub>	Yc <sub>max</sub>	Sf <sub>min</sub>	Xs <sub>min</sub>	Ys <sub>min</sub>	Ac <sub>eff.</sub>	As <sub>eff.</sub>
1	S	26.4	20.0	165.0	-799	-141.0	4.0	4851	31.7
2	S	6.7	-20.0	165.0	-204	-119.3	4.0	4851	31.7

**COMBINAZIONI QUASI PERMANENTI IN ESERCIZIO - APERTURA FESSURE [§ 7.3.4 EC2]**

Comb.	Ver	e1	e2	k2	Ø	Cf	e <sub>sm</sub> - e <sub>cm</sub>	sr <sub>max</sub>	wk	Mx <sub>fess.</sub>	My <sub>fess.</sub>
1	S	-0.00041	0	0.500	12.0	34	0.00024 (0.00024)	428	0.103 (0.30)	313114	0
2	S	-0.00011	0	0.500	12.0	34	0.00006 (0.00006)	428	0.026 (0.30)	313114	0

## 8 VERIFICA DEL TRAVERSO DI TESTATA

Il trasverso di testata è dimensionato per il sollevamento dell'impalcato.

L'ipotesi è di utilizzare n 4 martinetti nella posizione indicata.

Le azioni agenti sono desunte dalle reazioni di cui al paragrafo "Reazioni massime agli appoggi/carichi di 1° e 2° fase).

Per la valutazione delle sollecitazioni in tale fase si è realizzato un modello di calcolo monodimensionale in cui il trasverso risulta appoggiato in corrispondenza dei martinetti e sollecitato da azioni concentrate rappresentanti i carichi trasmessi dalle travi.

Le sollecitazioni ottenute sono moltiplicate per il fattore 1.35.

Trave	peso carichi 1° e 2° fase
1	699.29
2	546.85
3	536.79
4	546.85
5	699.29

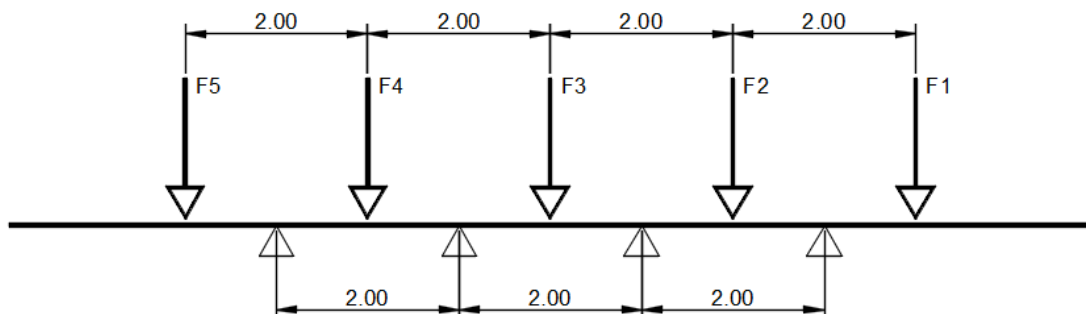


Figura 9 - Schema per il sollevamento

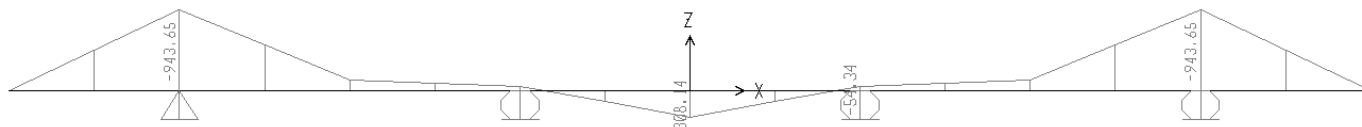


Figura 10 - Momento flettente SLU

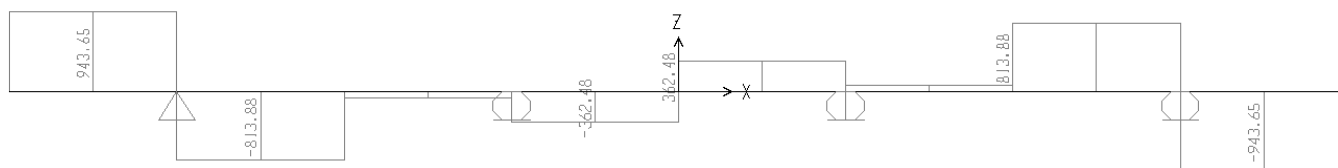


Figura 11 - Taglio SLU



**RELAZIONE DI CALCOLO IMPALCATO CAP**

COMMESSA	LOTTO	CODIFICA	DOCUMENTO	REV.	FOGLIO
RS3T	30	D 09CL	NW04 00 002	B	33 di 104

Si dispongono 4Ø24 barre diwidag per asola mentre in soletta sono presenti 1+1Ø12/20

**CARATTERISTICHE DI RESISTENZA DEI MATERIALI IMPIEGATI**

CALCESTRUZZO -	Classe:	C45/55	
	Resis. compr. di progetto fcd:	255.00	daN/cm <sup>2</sup>
	Resis. compr. ridotta fcd':	127.50	daN/cm <sup>2</sup>
	Def.unit. max resistenza ec2:	0.0020	
	Def.unit. ultima ecu:	0.0035	
	Diagramma tensione-deformaz.:	Parabola-Rettangolo	
	Modulo Elastico Normale Ec:	362830	daN/cm <sup>2</sup>
Resis. media a trazione fctm:	37.90	daN/cm <sup>2</sup>	
ACCIAIO -	Tipo:	B450C	
	Resist. caratt. snervam. fyk:	4500.0	daN/cm <sup>2</sup>
	Resist. caratt. rottura ftk:	4500.0	daN/cm <sup>2</sup>
	Resist. snerv. di progetto fyd:	3913.0	daN/cm <sup>2</sup>
	Resist. ultima di progetto ftd:	3913.0	daN/cm <sup>2</sup>
	Deform. ultima di progetto Epu:	0.068	
	Modulo Elastico Ef	2000000	daN/cm <sup>2</sup>
Diagramma tensione-deformaz.:	Bilineare finito		

**CARATTERISTICHE DOMINIO CONGLOMERATO**

Forma del Dominio: Poligonale  
Classe Conglomerato: C45/55

N°vertice:	X [cm]	Y [cm]
1	-20.0	-92.5
2	-20.0	47.5
3	-75.0	47.5
4	-75.0	72.5
5	75.0	72.5
6	75.0	47.5
7	20.0	47.5
8	20.0	-92.5

**DATI BARRE ISOLATE**

N°Barra	X [cm]	Y [cm]	DiamØ[mm]
1	-15.0	-65.5	24
2	15.0	-65.5	24
3	-15.0	16.5	24
4	15.0	16.5	24
5	-70.0	52.5	12
6	70.0	52.5	12
7	-70.0	67.5	12
8	70.0	67.5	12

**DATI GENERAZIONI LINEARI DI BARRE**

N°Gen. Numero assegnato alla singola generazione lineare di barre  
 N°Barra Ini. Numero della barra iniziale cui si riferisce la generazione  
 N°Barra Fin. Numero della barra finale cui si riferisce la generazione  
 N°Barre Numero di barre generate equidistanti cui si riferisce la generazione  
 Ø Diametro in mm delle barre della generazione

N°Gen. N°Barra Ini. N°Barra Fin. N°Barre Ø

**RELAZIONE DI CALCOLO IMPALCATO CAP**

COMMESSA	LOTTO	CODIFICA	DOCUMENTO	REV.	FOGLIO
RS3T	30	D 09CL	NW04 00 002	B	34 di 104

1	1	2	2	24
2	3	4	2	24
3	5	6	5	12
4	7	8	5	12

**CALCOLO DI RESISTENZA - SFORZI PER OGNI COMBINAZIONE ASSEGNATA**

N	Sforzo normale in daN applicato nel Baric. (+ se di compressione)
Mx	Momento flettente [daNm] intorno all'asse X di riferimento delle coordinate con verso positivo se tale da comprimere il lembo sup. della sez.
Vy	Componente del Taglio [daN] parallela all'asse Y di riferimento delle coordinate

N°Comb.	N	Mx	Vy
1	0	-94400	0
2	0	10	94400
3	0	30800	0

**RISULTATI DEL CALCOLO**

**Sezione verificata**

**VERIFICHE DI RESISTENZA IN PRESSO-TENSO FLESSIONE ALLO STATO LIMITE ULTIMO**

Ver	S = combinazione verificata / N = combin. non verificata
N	Sforzo normale assegnato [daN] nel baricentro sezione cls. (positivo se di compressione)
Mx	Componente momento flettente assegnato [daNm] intorno all'asse X di riferimento delle coordinate
Mis.Sic.	Misura sicurezza = rapporto vettoriale tra (N r, Mx Res, My Res) e (N, Mx, My) Verifica positiva se tale rapporto risulta >=1.000
As Tesa	Area armature trave [cm²] in zona tesa. [Tra parentesi l'area minima ex (4.1.15)NTC]

N°Comb	Ver	N	Mx	N Res	Mx Res	Mis.Sic.	As Tesa
1	S	0	-94400	0	-167249	1.77	52.0
2	S	0	10	0	139458	999.00	44.1
3	S	0	30800	0	139458	4.53	44.1

**METODO AGLI STATI LIMITE ULTIMI - DEFORMAZIONI UNITARIE ALLO STATO ULTIMO**

ec max	Deform. unit. massima del conglomerato a compressione
x/d	Rapporto di duttilità [§ 4.1.2.1.2.1 NTC] deve essere < 0.45
Xc max	Ascissa in cm della fibra corrisp. a ec max (sistema rif. X,Y,O sez.)
Yc max	Ordinata in cm della fibra corrisp. a ec max (sistema rif. X,Y,O sez.)
es min	Deform. unit. minima nell'acciaio (negativa se di trazione)
Xs min	Ascissa in cm della barra corrisp. a es min (sistema rif. X,Y,O sez.)
Ys min	Ordinata in cm della barra corrisp. a es min (sistema rif. X,Y,O sez.)
es max	Deform. unit. massima nell'acciaio (positiva se di compress.)
Xs max	Ascissa in cm della barra corrisp. a es max (sistema rif. X,Y,O sez.)
Ys max	Ordinata in cm della barra corrisp. a es max (sistema rif. X,Y,O sez.)

N°Comb	ec max	x/d	Xc max	Yc max	es min	Xs min	Ys min	es max	Xs max	Ys max
1	0.00350	0.130	-20.0	-92.5	-0.00106	-15.0	-65.5	-0.02352	70.0	67.5
2	0.00290	0.041	-75.0	72.5	0.00035	-70.0	67.5	-0.06750	-15.0	-65.5
3	0.00290	0.041	-75.0	72.5	0.00035	-70.0	67.5	-0.06750	-15.0	-65.5

**POSIZIONE ASSE NEUTRO PER OGNI COMB. DI RESISTENZA**

a, b, c	Coeff. a, b, c nell'eq. dell'asse neutro $aX+bY+c=0$ nel rif. X,Y,O gen.
---------	--

**RELAZIONE DI CALCOLO IMPALCATO CAP**

COMMESSA	LOTTO	CODIFICA	DOCUMENTO	REV.	FOGLIO
RS3T	30	D 09CL	NW04 00 002	B	35 di 104

x/d Rapp. di duttilità (travi e solette)[§ 4.1.2.1.2.1 NTC]: deve essere < 0.45  
C.Rid. Coeff. di riduz. momenti per sola flessione in travi continue

N°Comb	a	b	c	x/d	C.Rid.
1	0.000000000	-0.000168884	-0.012121746	0.130	0.700
2	0.000000000	0.000510120	-0.034087140	0.041	0.700
3	0.000000000	0.000510120	-0.034087140	0.041	0.700

**VERIFICHE A TAGLIO**

Ver S = comb. verificata a taglio / N = comb. non verificata  
Ved Taglio di progetto [daN] =  $V_y$  ortogonale all'asse neutro  
Vcd Taglio compressione resistente [daN] lato conglomerato [formula (4.1.28)NTC]  
Vwd Taglio resistente [daN] assorbito dalle staffe  
Dmed Altezza utile media pesata [cm] valutata lungo strisce ortog. all'asse neutro.  
Vengono prese nella media le strisce con almeno un estremo compresso.  
I pesi della media sono costituiti dalle stesse lunghezze delle strisce.  
bw Larghezza media resistente a taglio [cm] misurate parallel. all'asse neutro  
E' data dal rapporto tra l'area delle sopradette strisce resistenti e Dmed.  
Ctg Cotangente dell'angolo di inclinazione dei puntoni di conglomerato  
Acw Coefficiente maggiorativo della resistenza a taglio per compressione  
Ast Area staffe+legature strettam. necessarie a taglio per metro di pil.[cm<sup>2</sup>/m]  
A.Eff Area staffe+legature efficaci nella direzione del taglio di combinaz.[cm<sup>2</sup>/m]  
Tra parentesi è indicata la quota dell'area relativa alle sole legature.  
L'area della legatura è ridotta col fattore  $L/d_{max}$  con  $L$ =lungh.legat.proietta-  
ta sulla direz. del taglio e  $d_{max}$ = massima altezza utile nella direz.del taglio.

N°Comb	Ver	Ved	Vcd	Vwd	Dmed	bw	Ctg	Acw	Ast	A.Eff
1	S	0	316710	39149	138.0	40.0	1.000	1.000	0.0	8.1(0.0)
2	S	94400	218421	97872	138.0	40.0	2.500	1.000	7.8	8.1(0.0)
3	S	0	316710	39149	138.0	40.0	1.000	1.000	0.0	8.1(0.0)

	<b>DIRETTRICE FERROVIARIA MESSINA – CATANIA – PALERMO</b> <b>NUOVO COLLEGAMENTO PALERMO – CATANIA</b> <b>TRATTA LERCARA DIRAMAZIONE – CALTANISSETTA (LOTTO 3B)</b> <b>Viadotto NW04</b>					
	<b>RELAZIONE DI CALCOLO IMPALCATO CAP</b>	<b>COMMESSA</b> RS3T	<b>LOTTO</b> 30	<b>CODIFICA</b> D 09CL	<b>DOCUMENTO</b> NW04 00 002	<b>REV.</b> B

## 9 SOLETTA

L'analisi delle sollecitazioni flettenti e taglianti nella direzione trasversale della soletta è stata sviluppata considerando una striscia di soletta di larghezza unitaria.

Si dispone armatura trasversale costituita da  $\varnothing 12/20$  in zona tesa ed in zona compressa.

### 9.1 Campo intermedio

La soletta è interamente posizionata sul martello superiore delle travi, tuttavia per un calcolo degli effetti locali nel campo intermedio si considera uno schema semplificato di trave semi incastrata.

La verifica è condotta con riferimento alle sollecitazioni riportate al paragrafo “Sollecitazioni sulla soletta” e di seguito riportate.

#### Combinazioni SLU

$M_{max} = 20,32 \text{ KNm}$

$M_{min} = -18,60 \text{ KNm}$

#### Combinazioni SLE

##### Rare

$M_{max} = 14,99$

$M_{min} = -13,74$

##### Frequenti

$M_{max} = 11,73$

$M_{min} = -10,63$

##### Quasi Permanenti

$M_{max} = 1,96$

$M_{min} = -1,30$

#### CARATTERISTICHE DI RESISTENZA DEI MATERIALI IMPIEGATI

CALCESTRUZZO -	Classe:	C32/40	
	Resistenza compress. di progetto fcd:	181.30	daN/cm <sup>2</sup>
	Deform. unitaria max resistenza ec2:	0.0020	
	Deformazione unitaria ultima ecu:	0.0035	
	Diagramma tensioni-deformaz.:	Parabola-Rettangolo	
	Modulo Elastico Normale Ec:	333460	daN/cm <sup>2</sup>
	Resis. media a trazione fctm:	30.20	daN/cm <sup>2</sup>
	Coeff.Omogen. S.L.E.:	15.00	
	Sc limite S.L.E. comb. Rare:	192.00	daN/cm <sup>2</sup>
	Sc limite S.L.E. comb. Frequenti:	192.00	daN/cm <sup>2</sup>

**RELAZIONE DI CALCOLO IMPALCATO CAP**

COMMESSA	LOTTO	CODIFICA	DOCUMENTO	REV.	FOGLIO
RS3T	30	D 09CL	NW04 00 002	B	37 di 104

Ap.Fessure limite S.L.E. comb. Frequenti:	0.400	mm
Sc limite S.L.E. comb. Q.Permanenti:	144.00	daN/cm <sup>2</sup>
Ap.Fess.limite S.L.E. comb. Q.Perm.:	0.300	mm

ACCIAIO -	Tipo:	B450C	
	Resist. caratt. a snervamento fyk:	4500.0	daN/cm <sup>2</sup>
	Resist. caratt. a rottura ftk:	4500.0	daN/cm <sup>2</sup>
	Resist. a snerv. di progetto fyd:	3913.0	daN/cm <sup>2</sup>
	Resist. ultima di progetto ftd:	3913.0	daN/cm <sup>2</sup>
	Deform. ultima di progetto Epu:	0.068	
	Modulo Elastico Ef:	2000000	daN/cm <sup>2</sup>
	Diagramma tensioni-deformaz.:	Bilineare finito	
	Coeff. Aderenza istant. $\beta_1 \cdot \beta_2$ :	1.00	
	Coeff. Aderenza differito $\beta_1 \cdot \beta_2$ :	0.50	
	Comb.Rare - Sf Limite:	3600.0	daN/cm <sup>2</sup>

**CARATTERISTICHE GEOMETRICHE ED ARMATURE SEZIONE**

Base:	100.0	cm
Altezza:	26.0	cm
Barre inferiori:	5Ø12	(5.7 cm <sup>2</sup> )
Barre superiori:	5Ø12	(5.7 cm <sup>2</sup> )
Coprif.Inf.(dal baric. barre):	5.0	cm
Coprif.Sup.(dal baric. barre):	7.0	cm
Coprif.Lat. (dal baric.barre):	4.0	cm

**CALCOLO DI RESISTENZA - SFORZI PER OGNI COMBINAZIONE ASSEGNATA**

N	Sforzo normale [daN] applicato nel baricentro (posit. se di compress.)
Mx	Momento flettente [daNm] intorno all'asse x baric. della sezione con verso positivo se tale da comprimere il lembo sup. della sezione
Vy	Taglio [daN] in direzione parallela all'asse y baric. della sezione
MT	Momento torcente [daN m]

N°Comb.	N	Mx	Vy	MT
1	0	2032	0	0

**COMB. RARE (S.L.E.) - SFORZI PER OGNI COMBINAZIONE ASSEGNATA**

N	Sforzo normale [daN] applicato nel baricentro (positivo se di compress.)
Mx	Coppia [daNm] applicata all'asse x baricentrico (tra parentesi il Momento di fessurazione) con verso positivo se tale da comprimere il lembo superiore della sezione

N°Comb.	N	Mx
1	0	1499

**COMB. FREQUENTI (S.L.E.) - SFORZI PER OGNI COMBINAZIONE ASSEGNATA**

N	Sforzo normale [daN] applicato nel baricentro (positivo se di compress.)
Mx	Coppia [daNm] applicata all'asse x baricentrico (tra parentesi il Momento di fessurazione) con verso positivo se tale da comprimere il lembo superiore della sezione

N°Comb.	N	Mx
1	0	1173 (3616)

**COMB. QUASI PERMANENTI (S.L.E.) - SFORZI PER OGNI COMBINAZIONE ASSEGNATA**

N	Sforzo normale [daN] applicato nel baricentro (positivo se di compress.)
Mx	Coppia [daNm] applicata all'asse x baricentrico (tra parentesi il Momento di fessurazione)

**RELAZIONE DI CALCOLO IMPALCATO CAP**

COMMESSA	LOTTO	CODIFICA	DOCUMENTO	REV.	FOGLIO
RS3T	30	D 09CL	NW04 00 002	B	38 di 104

con verso positivo se tale da comprimere il lembo superiore della sezione

N°Comb.	N	Mx
1	0	196 (3616)

**RISULTATI DEL CALCOLO**

**Sezione verificata**

**VERIFICHE DI RESISTENZA IN PRESSO-TENSO FLESSIONE ALLO STATO LIMITE ULTIMO**

Ver	S = combinazione verificata / N = combin. non verificata
N	Sforzo normale [daN] applicato nel Baricentro (positivo se di compressione)
Mx	Momento flettente assegnato [daNm] riferito all'asse x baricentrico
N Ult	Sforzo normale ultimo [daN] nella sezione (positivo se di compress.)
Mx rd	Momento flettente ultimo [daNm] riferito all'asse x baricentrico
Mis.Sic.	Misura sicurezza = rapporto vettoriale tra (N rd, Mx rd) e (N, Mx) Verifica positiva se tale rapporto risulta $\geq 1.000$
Yn	Ordinata [cm] dell'asse neutro alla massima resistenza nel sistema di rif. X,Y,O sez.
x/d	Rapp. di duttilità (travi e solette) [§ 4.1.1.1 NTC]: deve essere $< 0.45$
C.Rid.	Coeff. di riduz. momenti in travi continue [formula (4.1.1) NTC]
As Tesa	Area armature long. trave [cm <sup>2</sup> ] in zona tesa. (tra parentesi l'area minima di normativa)

N°Comb	Ver	N	Mx	N rd	Mx rd	Mis.Sic.	Yn	x/d	C.Rid.	As Tesa
1	S	0	2032	-7	5637	2.774	23.0	0.14	0.70	11.3

**DEFORMAZIONI UNITARIE ALLO STATO LIMITE ULTIMO**

ec max	Deform. unit. massima del conglomerato a compressione
Yc max	Ordinata in cm della fibra corrisp. a ec max (sistema rif. X,Y,O sez.)
es min	Deform. unit. minima nell'acciaio (negativa se di trazione)
Ys min	Ordinata in cm della barra corrisp. a es min (sistema rif. X,Y,O sez.)
es max	Deform. unit. massima nell'acciaio (positiva se di compressione)
Ys max	Ordinata in cm della barra corrisp. a es max (sistema rif. X,Y,O sez.)

N°Comb	ec max	Yc max	es min	Ys min	es max	Ys max
1	0.00350	26.0	-0.00467	19.0	-0.02100	5.0

**COMBINAZIONI RARE IN ESERCIZIO - VERIFICA MASSIME TENSIONI NORMALI**

Ver	S = combinazione verificata / N = combin. non verificata
Sc max	Massima tensione di compress.(+) nel conglom. in fase fessurata [(daN/cm <sup>2</sup> )]
Yc max	Ordinata in cm della fibra corrisp. a Sc max (sistema rif. X,Y,O)
Sc min	Minima tensione di compress.(+) nel conglom. in fase fessurata [(daN/cm <sup>2</sup> )]
Yc min	Ordinata in cm della fibra corrisp. a Sc min (sistema rif. X,Y,O)
Sf min	Minima tensione di trazione (-) nell'acciaio [(daN/cm <sup>2</sup> )]
Ys min	Ordinata in cm della barra corrisp. a Sf min (sistema rif. X,Y,O)
Dw Eff.	Spessore di conglomerato [cm] in zona tesa considerata aderente alle barre
Ac eff.	Area di congl. [cm <sup>2</sup> ] in zona tesa aderente alle barre (verifica fess.)
As eff.	Area Barre tese di acciaio [cm <sup>2</sup> ] ricadente nell'area efficace (verifica fess.)
D barre	Distanza in cm tra le barre tese efficaci. (D barre = 0 indica spaziatura superiore a $5(c+\varnothing/2)$ e nel calcolo di fess. si usa la (C4.1.11)NTC/(7.14)EC2)

N°Comb	Ver	Sc max	Yc max	Sc min	Yc min	Sf min	Ys min	Dw Eff.	Ac Eff.	As Eff.	D barre
1	S	31.0	26.0	0.0	20.6	-1343	19.0	6.9	687	5.7	22.5

**COMBINAZIONI RARE IN ESERCIZIO - VERIFICA APERTURA FESSURE (NTC/EC2)**

Ver	Esito verifica
-----	----------------

**RELAZIONE DI CALCOLO IMPALCATO CAP**

COMMESSA	LOTTO	CODIFICA	DOCUMENTO	REV.	FOGLIO
RS3T	30	D 09CL	NW04 00 002	B	39 di 104

e1	Minima deformazione unitaria (trazione: segno -) nel calcestruzzo in sez. fessurata
e2	Massima deformazione unitaria (compress.: segno +) nel calcestruzzo in sez. fessurata
K2	= 0.5 per flessione; $=(e1 + e2)/(2 \cdot e2)$ in trazione eccentrica per la (7.13)EC2 e la (C4.1.11)NTC
Kt	fattore di durata del carico di cui alla (7.9) dell'EC2
e sm	Deformazione media acciaio tra le fessure al netto di quella del cls. Tra parentesi il valore minimo = 0.6 Ss/Es
srm	Distanza massima in mm tra le fessure
wk	Apertura delle fessure in mm fornito dalla (7.8)EC2 e dalla (C4.1.7)NTC. Tra parentesi è indicato il valore limite.
M fess.	Momento di prima fessurazione [daNm]

N°Comb	Ver	e1	e2	K2	Kt	e sm	srm	wk	M Fess.
1	S	-0.00089	0.00023	0.50	0.60	0.000403 (0.000403)	397	0.160 (990.00)	3616

**COMBINAZIONI FREQUENTI IN ESERCIZIO - VERIFICA MASSIME TENSIONI NORMALI**

N°Comb	Ver	Sc max	Yc max	Sc min	Yc min	Sf min	Ys min	Dw Eff.	Ac Eff.	As Eff.	D barre
1	S	24.3	26.0	0.0	20.6	-1051	19.0	6.9	687	5.7	22.5

**COMBINAZIONI FREQUENTI IN ESERCIZIO - VERIFICA APERTURA FESSURE (NTC/EC2)**

N°Comb	Ver	e1	e2	K2	Kt	e sm	srm	wk	M Fess.
1	S	-0.00069	0.00018	0.50	0.60	0.000315 (0.000315)	397	0.125 (0.40)	3616

**COMBINAZIONI QUASI PERMANENTI IN ESERCIZIO - VERIFICA MASSIME TENSIONI NORMALI**

N°Comb	Ver	Sc max	Yc max	Sc min	Yc min	Sf min	Ys min	Dw Eff.	Ac Eff.	As Eff.	D barre
1	S	4.1	26.0	0.0	20.6	-176	19.0	6.9	687	5.7	22.5

**COMBINAZIONI QUASI PERMANENTI IN ESERCIZIO - VERIFICA APERTURA FESSURE (NTC/EC2)**

N°Comb	Ver	e1	e2	K2	Kt	e sm	srm	wk	M Fess.
1	S	-0.00012	0.00003	0.50	0.40	0.000053 (0.000053)	397	0.021 (0.30)	3616

## 9.2 Sbalzo

Per la verifica sullo sbalzo laterale si considerano lo schema di trave incastrata in corrispondenza dell'asse dell'ala superiore della trave di bordo.

Luce  $L=1,85$  m

Permanenti:

- Peso proprio  $25 \times 0.4 \times 1.0 = 10.0$  KN/m
- Recinzione e veletta  $1.00 + 5.74 = 6.74$  KN

Accidentali

- Folla  $5.0 \times 1.0 = 5.0$  KN/m

In ragione della geometria dell'impalcato si può assumere che l'urto del veicolo in svio non interessi lo sbalzo laterale.

RELAZIONE DI CALCOLO IMPALCATO CAP

COMMESSA	LOTTO	CODIFICA	DOCUMENTO	REV.	FOGLIO
RS3T	30	D 09CL	NW04 00 002	B	40 di 104

A favore di sicurezza si considerano i carichi puntuali applicati all'estremità dello sbalzo e la folla distribuita su tutta la luce.

SLU

$$M = 1.35 * (-6.74 * 1.85 - 10.0 * 1.85 * 1.85 / 2) + 1.5 * (-5.0 * 1.85 * 1.85 / 2) = -52.8 \text{ kNm}$$

$$T = 1.35 * (6.74 + 10.0 * 1.85) + 1.5 * 5.0 * 1.85 = 47.9 \text{ kN}$$

SLE

$$M = (-6.74 * 1.85 - 10.0 * 1.85 * 1.85 / 2) + (-5.0 * 1.85 * 1.85 / 2) = -38.1 \text{ kNm}$$

Si dispone armatura trasversale costituita da  $\varnothing 12/10$  in zona tesa e da  $\varnothing 12/20$  in zona compressa.

**CARATTERISTICHE DI RESISTENZA DEI MATERIALI IMPIEGATI**

CALCESTRUZZO -	Classe:	C32/40	
	Resistenza compress. di progetto fcd:	181.30	daN/cm <sup>2</sup>
	Deform. unitaria max resistenza ec2:	0.0020	
	Deformazione unitaria ultima ecu:	0.0035	
	Diagramma tensioni-deformaz.:	Parabola-Rettangolo	
	Modulo Elastico Normale Ec:	333460	daN/cm <sup>2</sup>
	Resis. media a trazione fctm:	30.20	daN/cm <sup>2</sup>
	Coeff.Omogen. S.L.E.:	15.00	
	Sc limite S.L.E. comb. Rare:	192.00	daN/cm <sup>2</sup>
	Sc limite S.L.E. comb. Frequenti:	192.00	daN/cm <sup>2</sup>
	Ap.Fessure limite S.L.E. comb. Frequenti:	0.400	mm
	Sc limite S.L.E. comb. Q.Permanenti:	144.00	daN/cm <sup>2</sup>
	Ap.Fess.limite S.L.E. comb. Q.Perm.:	0.300	mm

ACCIAIO -	Tipo:	B450C	
	Resist. caratt. a snervamento fyk:	4500.0	daN/cm <sup>2</sup>
	Resist. caratt. a rottura ftk:	4500.0	daN/cm <sup>2</sup>
	Resist. a snerv. di progetto fyd:	3913.0	daN/cm <sup>2</sup>
	Resist. ultima di progetto ftd:	3913.0	daN/cm <sup>2</sup>
	Deform. ultima di progetto Epu:	0.068	
	Modulo Elastico Ef:	2000000	daN/cm <sup>2</sup>
	Diagramma tensioni-deformaz.:	Bilineare finito	
	Coeff. Aderenza istant. $\beta_1 * \beta_2$ :	1.00	
	Coeff. Aderenza differito $\beta_1 * \beta_2$ :	0.50	
	Comb.Rare - Sf Limite:	3600.0	daN/cm <sup>2</sup>

**CARATTERISTICHE GEOMETRICHE ED ARMATURE SEZIONE**

Base:	100.0	cm
Altezza:	26.0	cm
Barre inferiori:	5 $\varnothing 12$	(5.7 cm <sup>2</sup> )
Barre superiori:	10 $\varnothing 12$	(11.3 cm <sup>2</sup> )
Coprif.Inf.(dal baric. barre):	5.0	cm
Coprif.Sup.(dal baric. barre):	6.0	cm
Coprif.Lat. (dal baric.barre):	4.0	cm

**CALCOLO DI RESISTENZA - SFORZI PER OGNI COMBINAZIONE ASSEGNATA**



**RELAZIONE DI CALCOLO IMPALCATO CAP**

COMMESSA	LOTTO	CODIFICA	DOCUMENTO	REV.	FOGLIO
RS3T	30	D 09CL	NW04 00 002	B	41 di 104

N Sforzo normale [daN] applicato nel baricentro (posit. se di compress.)  
Mx Momento flettente [daNm] intorno all'asse x baric. della sezione con verso positivo se tale da comprimere il lembo sup. della sezione  
Vy Taglio [daN] in direzione parallela all'asse y baric. della sezione  
MT Momento torcente [daN m]

N°Comb.	N	Mx	Vy	MT
1	0	-5280	0	0
2	0	1	4790	0

**COMB. RARE (S.L.E.) - SFORZI PER OGNI COMBINAZIONE ASSEGNATA**

N Sforzo normale [daN] applicato nel baricentro (positivo se di compress.)  
Mx Coppia [daNm] applicata all'asse x baricentrico (tra parentesi il Momento di fessurazione) con verso positivo se tale da comprimere il lembo superiore della sezione

N°Comb.	N	Mx
1	0	-3810

**COMB. FREQUENTI (S.L.E.) - SFORZI PER OGNI COMBINAZIONE ASSEGNATA**

N Sforzo normale [daN] applicato nel baricentro (positivo se di compress.)  
Mx Coppia [daNm] applicata all'asse x baricentrico (tra parentesi il Momento di fessurazione) con verso positivo se tale da comprimere il lembo superiore della sezione

N°Comb.	N	Mx
1	0	-3810 (-3771)

**COMB. QUASI PERMANENTI (S.L.E.) - SFORZI PER OGNI COMBINAZIONE ASSEGNATA**

N Sforzo normale [daN] applicato nel baricentro (positivo se di compress.)  
Mx Coppia [daNm] applicata all'asse x baricentrico (tra parentesi il Momento di fessurazione) con verso positivo se tale da comprimere il lembo superiore della sezione

N°Comb.	N	Mx
1	0	-3810 (-3771)

**RISULTATI DEL CALCOLO**

**Sezione verificata**

**VERIFICHE DI RESISTENZA IN PRESSO-TENSO FLESSIONE ALLO STATO LIMITE ULTIMO**

Ver S = combinazione verificata / N = combin. non verificata  
N Sforzo normale [daN] applicato nel Baricentro (positivo se di compressione)  
Mx Momento flettente assegnato [daNm] riferito all'asse x baricentrico  
N Ult Sforzo normale ultimo [daN] nella sezione (positivo se di compress.)  
Mx rd Momento flettente ultimo [daNm] riferito all'asse x baricentrico  
Mis.Sic. Misura sicurezza = rapporto vettoriale tra (N rd, Mx rd) e (N, Mx)  
Verifica positiva se tale rapporto risulta  $\geq 1.000$   
Yn Ordinata [cm] dell'asse neutro alla massima resistenza nel sistema di rif. X,Y,O sez.  
x/d Rapp. di duttilità (travi e solette) [§ 4.1.1.1 NTC]; deve essere  $< 0.45$   
C.Rid. Coeff. di riduz. momenti in travi continue [formula (4.1.1) NTC]  
As Tesa Area armature long. trave [cm<sup>2</sup>] in zona tesa. (tra parentesi l'area minima di normativa)

N°Comb	Ver	N	Mx	N rd	Mx rd	Mis.Sic.	Yn	x/d	C.Rid.	As Tesa
1	S	0	-5280	-25	-8550	1.619	3.8	0.19	0.70	17.0

**RELAZIONE DI CALCOLO IMPALCATO CAP**

COMMESSA	LOTTO	CODIFICA	DOCUMENTO	REV.	FOGLIO
RS3T	30	D 09CL	NW04 00 002	B	42 di 104

2 S 0 1 -24 5889 5889.123 21.9 0.19 0.70 17.0

**DEFORMAZIONI UNITARIE ALLO STATO LIMITE ULTIMO**

ec max	Deform. unit. massima del conglomerato a compressione
Yc max	Ordinata in cm della fibra corrisp. a ec max (sistema rif. X,Y,O sez.)
es min	Deform. unit. minima nell'acciaio (negativa se di trazione)
Ys min	Ordinata in cm della barra corrisp. a es min (sistema rif. X,Y,O sez.)
es max	Deform. unit. massima nell'acciaio (positiva se di compressione)
Ys max	Ordinata in cm della barra corrisp. a es max (sistema rif. X,Y,O sez.)

N°Comb	ec max	Yc max	es min	Ys min	es max	Ys max
1	0.00350	0.0	-0.00106	5.0	-0.01475	20.0
2	0.00350	26.0	-0.00167	20.0	-0.01458	5.0

**VERIFICHE A TAGLIO SENZA ARMATURE TRASVERSALI (§ 4.1.2.1.3.1 NTC)**

Ver	S = comb.verificata a taglio/ N = comb. non verificata
Ved	Taglio agente [daN] uguale al taglio Vy di comb. (sollecit. retta)
Vwct	Taglio trazione resistente [daN] in assenza di staffe [formula (4.1.23)NTC]
d	Altezza utile sezione [cm]
bw	Larghezza minima sezione [cm]
Ro	Rapporto geometrico di armatura longitudinale [ $<0.02$ ]
Scp	Tensione media di compressione nella sezione [daN/cm <sup>2</sup> ]

N°Comb	Ver	Ved	Vwct	d	bw	Ro	Scp
1	S	0	14425	20.0	100.0	0.0085	0.0
2	S	4790	14723	21.0	100.0	0.0081	0.0

**COMBINAZIONI RARE IN ESERCIZIO - VERIFICA MASSIME TENSIONI NORMALI**

Ver	S = combinazione verificata / N = combin. non verificata
Sc max	Massima tensione di compress.(+) nel conglom. in fase fessurata [(daN/cm <sup>2</sup> )]
Yc max	Ordinata in cm della fibra corrisp. a Sc max (sistema rif. X,Y,O)
Sc min	Minima tensione di compress.(+) nel conglom. in fase fessurata [(daN/cm <sup>2</sup> )]
Yc min	Ordinata in cm della fibra corrisp. a Sc min (sistema rif. X,Y,O)
Sf min	Minima tensione di trazione (-) nell'acciaio [daN/cm <sup>2</sup> ]
Ys min	Ordinata in cm della barra corrisp. a Sf min (sistema rif. X,Y,O)
Dw Eff.	Spessore di conglomerato [cm] in zona tesa considerata aderente alle barre
Ac eff.	Area di congl. [cm <sup>2</sup> ] in zona tesa aderente alle barre (verifica fess.)
As eff.	Area Barre tese di acciaio [cm <sup>2</sup> ] ricadente nell'area efficace(verifica fess.)
D barre	Distanza in cm tra le barre tese efficaci. (D barre = 0 indica spaziatura superiore a $5(c+\emptyset/2)$ e nel calcolo di fess. si usa la (C4.1.11)NTC/(7.14)EC2)

N°Comb	Ver	Sc max	Yc max	Sc min	Yc min	Sf min	Ys min	Dw Eff.	Ac Eff.	As Eff.	D barre
1	S	62.0	0.0	0.0	6.6	-1908	5.0	6.5	648	11.3	10.0

**COMBINAZIONI RARE IN ESERCIZIO - VERIFICA APERTURA FESSURE (NTC/EC2)**

Ver	Esito verifica
e1	Minima deformazione unitaria (trazione: segno -) nel calcestruzzo in sez. fessurata
e2	Massima deformazione unitaria (compress.: segno +) nel calcestruzzo in sez. fessurata
K2	= $0.5$ per flessione; = $(e1 + e2)/(2 \cdot e2)$ in trazione eccentrica per la (7.13)EC2 e la (C4.1.11)NTC
Kt	fattore di durata del carico di cui alla (7.9) dell'EC2
e sm	Deformazione media acciaio tra le fessure al netto di quella del cls. Tra parentesi il valore minimo = $0.6 Ss/Es$
srm	Distanza massima in mm tra le fessure
wk	Apertura delle fessure in mm fornito dalla (7.8)EC2 e dalla (C4.1.7)NTC. Tra parentesi è indicato il valore limite.
M fess.	Momento di prima fessurazione [daNm]

**RELAZIONE DI CALCOLO IMPALCATO CAP**

COMMESSA	LOTTO	CODIFICA	DOCUMENTO	REV.	FOGLIO
RS3T	30	D 09CL	NW04 00 002	B	43 di 104

N°Comb	Ver	e1	e2	K2	Kt	e sm	srm	wk	M Fess.
1	S	-0.00138	0.00047	0.50	0.60	0.000573 (0.000573)	301	0.172 (990.00)	-3771

**COMBINAZIONI FREQUENTI IN ESERCIZIO - VERIFICA MASSIME TENSIONI NORMALI**

N°Comb	Ver	Sc max	Yc max	Sc min	Yc min	Sf min	Ys min	Dw Eff.	Ac Eff.	As Eff.	D barre
1	S	62.0	0.0	0.0	6.6	-1908	5.0	6.5	648	11.3	10.0

**COMBINAZIONI FREQUENTI IN ESERCIZIO - VERIFICA APERTURA FESSURE (NTC/EC2)**

N°Comb	Ver	e1	e2	K2	Kt	e sm	srm	wk	M Fess.
1	S	-0.00138	0.00047	0.50	0.60	0.000573 (0.000573)	301	0.172 (0.40)	-3771

**COMBINAZIONI QUASI PERMANENTI IN ESERCIZIO - VERIFICA MASSIME TENSIONI NORMALI**

N°Comb	Ver	Sc max	Yc max	Sc min	Yc min	Sf min	Ys min	Dw Eff.	Ac Eff.	As Eff.	D barre
1	S	62.0	0.0	0.0	6.6	-1908	5.0	6.5	648	11.3	10.0

**COMBINAZIONI QUASI PERMANENTI IN ESERCIZIO - VERIFICA APERTURA FESSURE (NTC/EC2)**

N°Comb	Ver	e1	e2	K2	Kt	e sm	srm	wk	M Fess.
1	S	-0.00138	0.00047	0.50	0.40	0.000573 (0.000573)	301	0.172 (0.30)	-3771

	<b>DIRETTRICE FERROVIARIA MESSINA – CATANIA – PALERMO</b> <b>NUOVO COLLEGAMENTO PALERMO – CATANIA</b> <b>TRATTA LERCARA DIRAMAZIONE – CALTANISSETTA (LOTTO 3B)</b> <b>Viadotto NW04</b>					
<b>RELAZIONE DI CALCOLO IMPALCATO CAP</b>	COMMESSA RS3T	LOTTO 30	CODIFICA D 09CL	DOCUMENTO NW04 00 002	REV. B	FOGLIO 44 di 104

## 10 GIUNTO DI DILATAZIONE

In riferimento ad un  $\Delta t_{unif} = \pm 30 \text{ }^{\circ}\text{C}$  e ad un coefficiente di dilatazione termica  $\alpha t = 10 \cdot 10^{-6} \text{ }^{\circ}\text{C}^{-1}$ , per una lunghezza dell'impalcato di 25.00 m risulta un movimento del giunto pari a:

$$\delta = 10 \cdot 10^{-6} \cdot (\pm 30) \cdot 25.00 = \pm 0.0075 \text{ m} \Rightarrow \text{si adotta } 5 \text{ cm}$$



DIRETTRICE FERROVIARIA MESSINA – CATANIA – PALERMO  
NUOVO COLLEGAMENTO PALERMO – CATANIA  
TRATTA LERCARA DIRAMAZIONE – CALTANISSETTA (LOTTO 3B)  
Viadotto NW04

RELAZIONE DI CALCOLO IMPALCATO CAP

COMMESSA	LOTTO	CODIFICA	DOCUMENTO	REV.	FOGLIO
RS3T	30	D 09CL	NW04 00 002	B	45 di 104

## ALLEGATO 1: TABULATO DI VERIFICA TRAVI E TRASVERSI

	<b>DIRETTRICE FERROVIARIA MESSINA – CATANIA – PALERMO</b> <b>NUOVO COLLEGAMENTO PALERMO – CATANIA</b> <b>TRATTA LERCARA DIRAMAZIONE – CALTANISSETTA (LOTTO 3B)</b> <b>Viadotto NW04</b>					
	<b>RELAZIONE DI CALCOLO IMPALCATO CAP</b>	<b>COMMESSA</b> RS3T	<b>LOTTO</b> 30	<b>CODIFICA</b> D 09CL	<b>DOCUMENTO</b> NW04 00 002	<b>REV.</b> B

## 11 CALCOLO DELLE SOLLECITAZIONI

Si riporta di seguito input/output del software ENG8 commercializzato dalla SIGMA c – vers. 3.1 – specificatamente dedicato al calcolo di impalcato con travi in c.a.p e soletta collaborante.

### 11.1 UNITA' DI MISURA E CONVENZIONI DI SEGNO

Ove non sia diversamente specificato, le grandezze contenute nella presente relazione sono espresse nelle seguenti unità di misura:

lunghezza : m

forza : KN

I diametri delle barre di armatura lenta sono sempre espressi in millimetri, i diametri dei trefoli di precompressione sono invece espressi in pollici ( =25.4 mm).

I carichi agenti sull'impalcato sono, come è naturale assumere, positivi se diretti verso il basso.

Le tensioni sono positive se di trazione, sia per quanto riguarda il calcestruzzo che l'acciaio.

### 11.2 METODO ED IPOTESI DI CALCOLO

L'impalcato viene realizzato con travi in semplice appoggio collaboranti tra loro grazie all'azione della soletta.

Esso si presenta quindi come una lastra appoggiata sui lati opposti e che presenta una forte ortotropia.

Per la ricerca delle sollecitazioni nei vari elementi componenti l'impalcato si ricorre al metodo di Massonnet che permette, mediante l'ausilio di opportuni coefficienti, di risolvere la ripartizione dei carichi e conoscere le sollecitazioni.

Questo metodo fu proposto da Guyon nel 1946 per un grigliato di travi prive di rigidità torsionale, ripreso da Massonnet nel 1950 per tener conto della torsione, infine esteso da Bares; questi ultimi Autori hanno sistemato in modo definitivo la materia in un libro ("Les calculs des grillages de pontes ed dalles orthotropes selon la Method Guyon - Massonnet - Bares", Dunod, Parigi, 1966) che fornisce un gran numero di tabelle direttamente utilizzabili dal progettista e che ne ha agevolato una larga diffusione.

Nel grigliato ortotropo il procedimento di Massonnet trae origine dallo studio di un graticcio appoggiato in corrispondenza degli estremi delle travi principali longitudinali e libero sugli altri estremi; graticcio che si suppone equivalente ad una piastra ortotropica.

Se si osserva un graticcio di travi si constata che si tratta di una struttura a travi bidirezionali a direzioni per lo più ortogonali.

Il comportamento dell'impalcato dipende essenzialmente dalle rigidità flessionali e torsionali dei due ordini di travi e dalla loro reciproca influenza.

Si può, pertanto, pensare di assimilare l'impalcato ad una piastra ortotropica nella quale la caratterizzazione di comportamento nelle due direzioni sia data dalle rigidità flessionali e torsionali anziché dai legami costitutivi dei materiali.

	<b>DIRETTRICE FERROVIARIA MESSINA – CATANIA – PALERMO</b> <b>NUOVO COLLEGAMENTO PALERMO – CATANIA</b> <b>TRATTA LERCARA DIRAMAZIONE – CALTANISSETTA (LOTTO 3B)</b> <b>Viadotto NW04</b>					
	<b>RELAZIONE DI CALCOLO IMPALCATO CAP</b>	COMMESSA <b>RS3T</b>	LOTTO <b>30</b>	CODIFICA <b>D 09CL</b>	DOCUMENTO <b>NW04 00 002</b>	REV. <b>B</b>

Il metodo di Massonnet considera l'impalcato reale come una lastra rettangolare di larghezza teorica

$$2 \cdot B = n \cdot i$$

$n = n.\text{travi}$  ,  $i = \text{interasse travi}$

e lunghezza pari alla luce di calcolo; tiene conto della differente deformabilità della lastra in senso longitudinale e in senso trasversale.

Si considera una condizione di carico

$$p(x;e) = P_m \text{ sen } (\square x/l)$$

variabile con legge sinusoidale ed agente parallelamente all'asse  $x$  con eccentricità  $e$ ; per tale carico la deformata ha una legge  $w(x,y;e)$  che si ottiene integrando l'equazione di Huber. Esprimendo in serie di Levy, la deformata assume la forma

$$w(x,y;e) = w(1/2,y;e) \text{ sen } (\square x/l)$$

considerando una condizione di carico avente la stessa legge di variazione e lo stesso  $P_m$  ma distribuito su tutta la larghezza dell'impalcato

$$p(x;e) = (P_m/2b) \text{ sen } (\square x/l)$$

si avrà una deformata cilindrica che può assumere la forma

$$w(x) = w(1/2) \text{ sen } (\square x/l)$$

Si può, quindi, definire per una trave di ordinata  $y$  e carico di eccentricità  $e$ , il coefficiente di ripartizione trasversale (adimensionale)

$$K(y;e) = w(x,y;e) / w(x) = w(1/2,y;e) / w(1/2)$$

Si ha, pertanto, per il carico unitario di eccentricità  $e$ , il rapporto fra il carico su una trave di ordinata  $y$  e il carico medio  $1/n$  dove  $n$  è il numero delle travi.

Il valore di  $K(y;e)$  è stato calcolato dal Massonnet e tabellato in base ai parametri dai quali dipende e precisamente

- dal rapporto  $y/b$  rappresentante la posizione della trave longitudinale presa in considerazione (e lungo la quale  $y$  ha sempre lo stesso valore);
- dal rapporto  $e/b$  che rappresenta la posizione del carico
- dal rapporto di rigidezza torsionale (compreso tra 0 e 1)
- dal rapporto adimensionale di rigidezza flessionale

Si assume che l'azione orizzontale del vento produca non generi sollecitazioni flessionali sulle travi ma venga trasferita agli appoggi in termini di azioni orizzontali e incremento/decremento azioni verticali.

Gli effetti di ritiro, ritiro differenziale e variazione termica differenziale sono valutati per singola trave nel capitolo successivo

## 12 DATI IMPALCATO

Tipo di impalcato: travi prefabbricate più soletta collaborante

### 12.1 Dati geometrici

Luce di calcolo	22.40
Larghezza cordolo sinistro	1.85
Larghezza carreggiata	9.00
Larghezza cordolo destro	1.85
Larghezza fuori tutto impalcato	12.70
Numero travi	5
Tipo trave	h140 - 1200
Interasse travi	2.00

Larghezza travi	2.00
Lunghezza retrotrave	0.50
Lunghezza ringrosso	1.80
Lunghezza svasatura	0.50
Eccentricità travi-soletta	0.00
Spessore medio soletta	0.32
Spessore minimo soletta	0.26
Luce di calcolo soletta	1.20
Larghezza marciapiede sinistro	1.35
Dist. marciapiede sinistro	0.50
Larghezza marciapiede destro	1.35
Dist. marciapiede destro	0.50
Spessore medio cordoli	0.17

## 12.2 Traversi in campata

Numero traversi	2
Altezza sezione traversi	1.05
Spessore sezione traversi	0.30
n.	X
1	7.60
2	14.80

## 12.3 Traversi in testata

Altezza sezione traversi	1.05
Spessore sezione traversi	0.30
n.	X
1	0.00
2	22.40

## 12.4 Trave prefabbricata h140 - I200

Per la descrizione geometrica delle sezioni della trave viene utilizzato il sistema di riferimento x,y locale, avente asse x allineato con l'asse Y globale ma di direzione discorde, ed asse y concorde con asse Z globale.

### 12.4.1 Sezione in campata

Vertice n.	x	y
1	-1.000	1.258
2	-1.000	1.400
3	-0.550	1.400
4	-0.550	1.350
5	-0.535	1.170
6	-0.412	0.354
7	-0.340	0.250
8	0.000	0.230
9	0.340	0.250
10	0.412	0.354
11	0.535	1.170
12	0.550	1.350
13	0.550	1.400
14	1.000	1.400
15	1.000	1.258
16	0.676	1.170
17	0.500	0.000
18	-0.500	0.000



**RELAZIONE DI CALCOLO IMPALCATO CAP**

COMMESSA	LOTTO	CODIFICA	DOCUMENTO	REV.	FOGLIO
RS3T	30	D 09CL	NW04 00 002	B	49 di 104

Vertice n.	x	y
19	-0.676	1.170
20	-1.000	1.258
21	0.000	0.000

Altezza della sezione	1.40
Spessore complessivo anime	0.28
Area sezione di calcestruzzo	0.70
Ordinata y baricentro	0.65
Ascissa x baricentro	0.00
J baricentro	0.17
Coefficiente torsionale	0.00

### 12.4.2 Sezione in testata

Vertice n.	x	y
1	-1.000	1.258
2	-1.000	1.400
3	-0.450	1.400
4	-0.450	1.350
5	-0.436	1.187
6	-0.326	0.459
7	-0.255	0.355
8	0.000	0.340
9	0.255	0.355
10	0.326	0.459
11	0.436	1.187
12	0.450	1.350
13	0.450	1.400
14	1.000	1.400
15	1.000	1.258
16	0.676	1.170
17	0.500	0.000
18	-0.500	0.000
19	-0.676	1.170
20	-1.000	1.258
21	0.000	0.000

Altezza della sezione	1.40
Spessore complessivo anime	0.56
Area sezione di calcestruzzo	1.00
Ordinata y baricentro	0.67
Ascissa x baricentro	0.00
J baricentro	0.21
Coefficiente torsionale	0.00

### 12.5 Geometria getto in opera

La descrizione geometrica delle sezioni del getto in opera viene data nel sistema di riferimento X,Y,Z globale dell'impalcato

### 12.5.1 Sezione in campata

Vertice n.	Y	Z
1	6.350	1.400
2	6.350	1.715
3	0.000	1.715
4	-6.350	1.715
5	-6.350	1.400

X iniziale	1.80
X finale	20.60
Lunghezza in direz. X	18.80
Altezza della sezione	0.31
Area sezione	4.00
Z baricentro	1.56
J baricentrico	0.03

### 12.5.2 Sezione in testata

Vertice n.	Y	Z
1	6.350	1.400
2	6.350	1.715
3	0.000	1.715
4	-6.350	1.715
5	-6.350	1.400

Lunghezza in direz. X (2 testate)	3.60
Altezza della sezione	0.31
Area sezione	4.00
Z baricentro	1.56
J baricentrico	0.03

### 12.6 Parametri dei materiali

Ritiro differenziale trave - soletta	0.00003
Coeff. omogen. E cls soletta / E cls trave	0.92
E trave/soletta (calcolo frecce)	3.502945E7
Peso specifico trave prefabbricata	25.0000
Peso specifico calcestruzzo getto in opera	25.0000

### 13 RIPARTIZIONE TRASVERSALE DEI CARICHI

#### 13.1 Parametri di Massonnet

Eccentricità trave verificata (n.1)	Y	-4.00
Luce di calcolo travi principali	L	22.40
Interasse traversi	L1	7.47
Semilarghezza teorica impalcato	B	5.00
Interasse travi	B1	2.00

Trave:

$A_p = 1.44$  (area sezione cls trave+soletta)

$D_p = 1.11$  (quota baricentro)

$J_p = 0.47$  (momento d'inerzia flessionale)

$C_p = 0.00$  (coefficiente di torsione)

Traverso:

$A_e = 1.23$  (area sezione traverso/soletta)

$D_e = 1.03$  (quota baricentro da base sezione)

$J_e = 0.15$  (momento d'inerzia flessionale)

$C_e = 0.00$  (coefficiente di torsione)

Larghezza soletta collaborante con il traverso = 2.90

Coeff. omogen. E cls soletta / E cls trave = 0.92

Teta = 0.425

Radice alfa = 0.000

#### 13.2 Coefficienti

Si calcolano i coefficienti d'influenza della 1<sup>a</sup> trave che ha una eccentricita'  $Y = 4$  [m] e che risulta essere la piu' sollecitata:

Y=	5.00	3.75	2.50	1.25	0.00	-1.25	-2.50	-3.75	-5.00
$K_0$	-1.214	-0.717	-0.213	0.314	0.880	1.499	2.173	2.887	3.605
$K_1$	0.539	0.613	0.701	0.810	0.944	1.104	1.284	1.466	1.629
$K_\alpha$	-1.214	-0.717	-0.213	0.314	0.880	1.499	2.173	2.887	3.605

Vengono riportati di seguito i coefficienti  $\mu_\alpha$  relativi alla sezione  $Y = 0.00$  del traverso, ed alla prima armonica.

Y=	5.00	3.75	2.50	1.25	0.00	-1.25	-2.50	-3.75	-5.00
$\mu_\alpha$	-0.224	-0.114	-0.002	0.113	0.234	0.113	-0.002	-0.114	-0.224

## 14 ANALISI DEI CARICHI

### 14.1 Valori caratteristici delle azioni permanenti

#### 14.1.1 Fase 1

Pesi gravanti sulla trave singola:

Lunghezza trave in asse	23.40	[m]
Peso trave (sezione filante)	17.48	[KN/m]
Peso trave (sezione ringrossata)	24.98	[KN/m]
Peso totale trave prefabbricata	439.83	[KN]
Peso soletta gravante sulla trave	26.38	[KN/m]
Peso trasverso in testata	9.07	[KN]
Peso trasverso in campata	10.81	[KN]

#### 14.1.2 Fase 2

##### 14.1.2.1 Pavimentazione

Peso pavimentazione (3.00 [KN/m<sup>2</sup>]) gravante sulla trave: 5.29 [KN/m]

La larghezza della carreggiata viene suddivisa in 20 intervalli uguali e per ciascuno di essi si determina il valore del coefficiente  $K_{\alpha}$  di Massonnet in corrispondenza del proprio baricentro. Si procede poi alla somma di tali effetti in modo da ottenere la porzione del carico pavimentazione agente sulla trave considerata

##### 14.1.2.2 Peso dei cordoli

I cordoli in calcestruzzo non hanno funzione strutturale.

Il loro peso viene applicato al modello di calcolo come carico lineare uniforme distribuito su tutta la luce e posizionato in sezione trasversale con data eccentricità.

	peso lineare [KN/m]	Ecc. Y	peso totale [KN]
cordolo sinistro	7.86	5.42	176.12
cordolo destro	7.86	-5.42	176.12

Peso totale cordoli = 352.24

##### 14.1.2.3 Carichi lineari di 2a fase sull'impalcato (extra2)

A questi carichi viene applicato il metodo di Massonnet calcolandone il relativo coefficiente di ripartizione trasversale per la trave in esame.

n.	Descrizione	[KN/m]	Ecc. Y	X'i	Rif.X'i	X'f	Rif.X'f
1	impianti DX	1.00	-6.00	-1.10	Appoggio iniziale	-1.10	Appoggio finale
2	impianti SX	1.00	6.00	-1.10	Appoggio iniziale	-1.10	Appoggio finale
3	Veletta DX	4.74	-6.35	-1.10	Appoggio iniziale	-1.10	Appoggio finale
4	Veletta SX	4.74	6.35	-1.10	Appoggio iniziale	-1.10	Appoggio finale
5	Parapetto DX	1.00	-6.20	-1.10	Appoggio iniziale	-1.10	Appoggio finale
6	Parapetto SX	1.00	6.20	-1.10	Appoggio iniziale	-1.10	Appoggio finale
7	Guardrail DX	1.40	-4.70	-1.10	Appoggio iniziale	-1.10	Appoggio finale
8	Guardrail SX	1.40	4.70	-1.10	Appoggio iniziale	-1.10	Appoggio finale

### 14.2 Valori caratteristici delle azioni variabili

Il numero delle colonne di carichi mobili da considerare nel calcolo dei ponti è quello massimo compatibile con la larghezza della carreggiata, comprese le eventuali banchine di rispetto e per sosta di emergenza, nonché gli eventuali

marciapiedi non protetti e di altezza inferiore a 20 cm, tenuto conto che la larghezza di ingombro convenzionale è stabilita per ciascuna colonna in 3.00 m. In ogni caso il numero delle colonne non deve essere inferiore a 2, a meno che la larghezza della sede stradale sia inferiore a 5,40 m.

La disposizione dei carichi ed il numero delle colonne sulla carreggiata saranno volta per volta quelli che determinano le condizioni più sfavorevoli di sollecitazione per la struttura, membratura o sezione considerata.

Categoria ponte : *Stradale 1a categoria*

Numero assi per corsia: 2

corsia	Nome	carico asse Q	p	$\alpha_Q$	$\alpha_q$
1	Corsia 1	300.00	9.00	1.00	1.00
2	Corsia 2	200.00	2.50	1.00	1.00
3	Corsia 3	100.00	2.50	1.00	1.00

Carico folla sui marciapiedi= 5.00 [KN/m<sup>2</sup>]

## 15 COEFFICIENTI DI COMBINAZIONE

### 15.1 Stati Limite Ultimi

	$\gamma_{sup.}$	$\gamma_{inf.}$
Coeff. sicurezza carichi permanenti strutturali	1.35	1.00
Coeff. sicurezza carichi permanenti non strutturali	1.50	0.00
Coeff. sicurezza carichi traffico	1.35	0.00
Coeff. sicurezza carichi vento	1.50	0.00

### 15.2 Stati Limite di Esercizio

Carico	$\psi_0$	$\psi_1$	$\psi_2$
LM1/UDL	0.40	0.40	0.00
LM1/TS	0.75	0.75	0.00
forze orizzontali	0.00	0.00	0.00
carico pedonale	0.00	0.00	0.00
LM4 folla	0.00	0.75	0.00
LM3	0.00	0.00	0.00
asse singolo LM2	0.00	0.75	0.00
vento	0.60	0.20	0.00
termico	0.60	0.60	0.50

## 16 APPLICAZIONE DEL METODO DI MASSONNET

### 16.1 peso cordoli

Descrizione	[KN/m]	Ecc. Y	K Massonnet	$\mu$ Massonnet
cordolo sinistro	7.86	5.42	-1.382	-0.261
cordolo destro	7.86	-5.42	3.849	-0.261

### 16.2 Lineari per trave

Vengono considerati concentrati in direzione y e uniformemente distribuiti in direzione x.

n.	Descrizione	[KN/m]	Ecc. Y	K Massonnet	$\mu$ Massonnet
1	impianti DX	1.00	-6.00	4.178	-0.312
2	impianti SX	1.00	6.00	-1.611	-0.312
3	Veletta DX	4.74	-6.35	4.377	-0.343
4	Veletta SX	4.74	6.35	-1.749	-0.343
5	Parapetto DX	1.00	-6.20	4.292	-0.329
6	Parapetto SX	1.00	6.20	-1.690	-0.329
7	Guardrail DX	1.40	-4.70	3.433	-0.198
8	Guardrail SX	1.40	4.70	-1.095	-0.198

### 16.3 Carichi mobili per massimo effetto sulla trave 1

Descrizione	Q $\cdot\alpha$ [KN]	q $\cdot\alpha$ [KN/m]	Ecc. Y	Larghezza	K $\alpha$
Corsia 1	300.00	27.00	-3.00	3.00	2.456
Corsia 2	200.00	7.50	0.00	3.00	0.880

Descrizione	q [KN/m]	Ecc. Y	Larghezza	K $\alpha$
Folla marc. dx	6.75	-5.67	1.35	3.992

Coefficiente di incremento dinamico = 1.0

Le colonne di carico vengono posizionate in direzione x in modo da generare la massima sollecitazione nella specifica sezione di verifica.

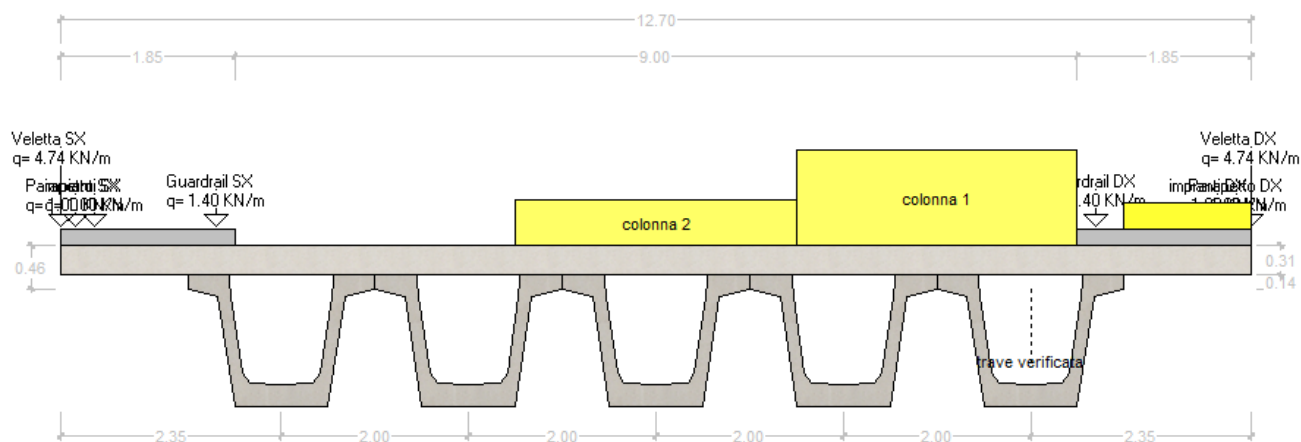


Figura 12 - Disposizione per calcolo trave di bordo

#### 16.4 Carichi mobili per calcolo M max su trasverso

Per la ricerca del massimo momento flettente (che tende le fibre inferiori) si dispongono i carichi in vari modi sia in senso longitudinale che trasversale. Viene qui riportata la configurazione più sfavorevole per la sezione Y=0 in asse travi.

Descrizione	$Q \cdot \alpha$ [KN]	$q \cdot \alpha$ [KN/m]	Ecc. Y	Larghezza	$\mu$
Corsia 1	300.00	27.00	0.00	3.00	0.234

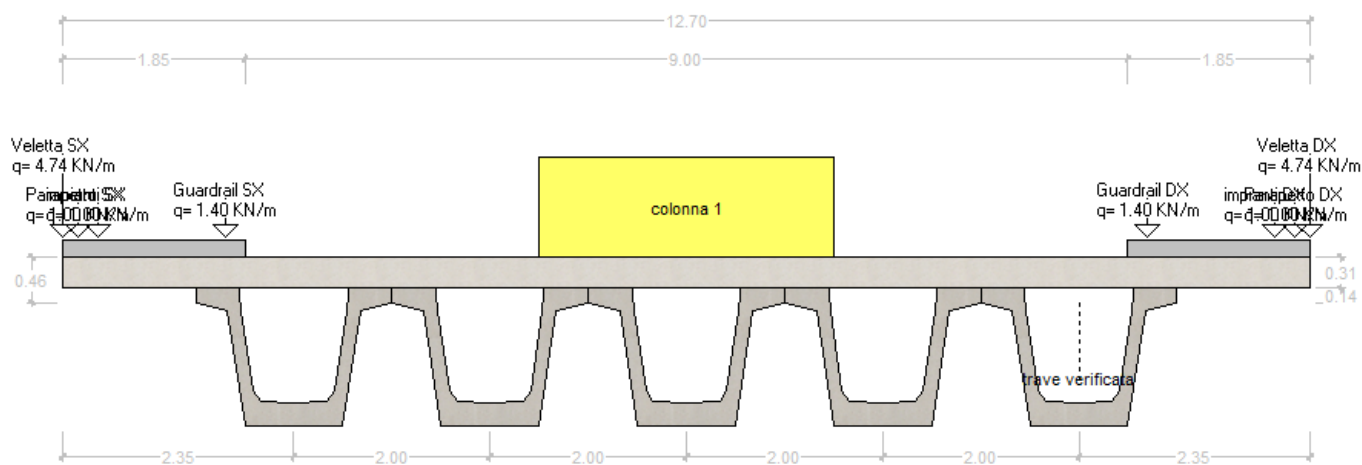


Figura 13 - Disposizione per calcolo M max su trasverso

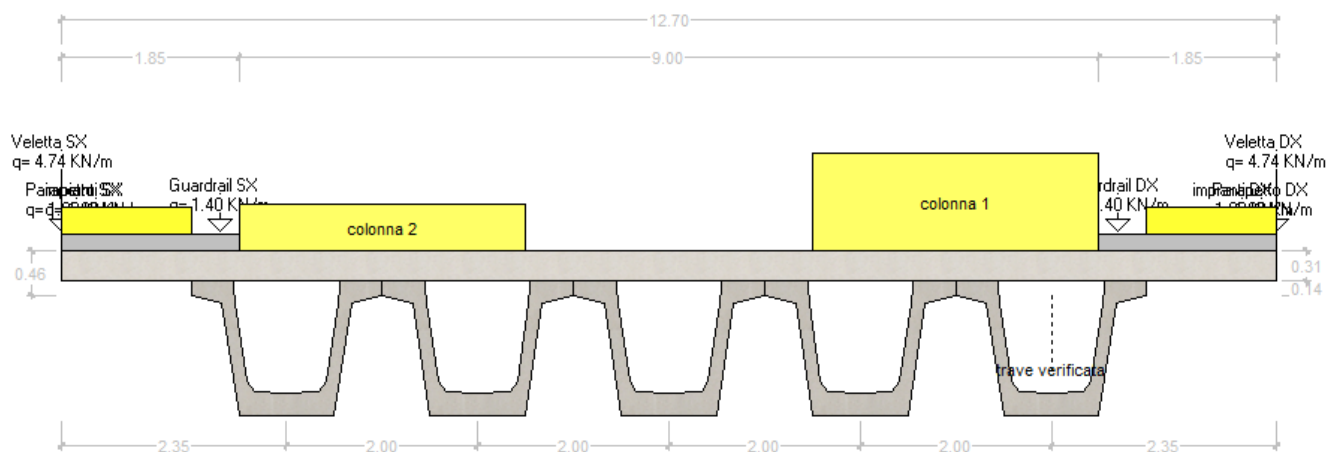


### 16.5 Carichi mobili per calcolo M min su trasverso

Per la ricerca del minimo momento flettente (che tende le fibre superiori) si dispongono i carichi in vari modi sia in senso longitudinale che trasversale. Viene qui riportata la configurazione più sfavorevole per la sezione Y=0 in asse travi.

Descrizione	$Q \cdot \alpha$ [KN]	$q \cdot \alpha$ [KN/m]	Ecc. Y	Larghezza	$\mu$
Corsia 1	300.00	27.00	-3.00	3.00	-0.047
Corsia 2	200.00	7.50	3.00	3.00	-0.047

Descrizione	q [KN/m]	Ecc. Y	Larghezza	$\mu$
Folla SX	6.75	5.67	1.35	-0.283
Folla DX	6.75	-5.67	1.35	-0.283



- Figura 14 - Disposizione per calcolo M min su trasverso

## 17 SOLLECITAZIONI SULLA TRAVE 1

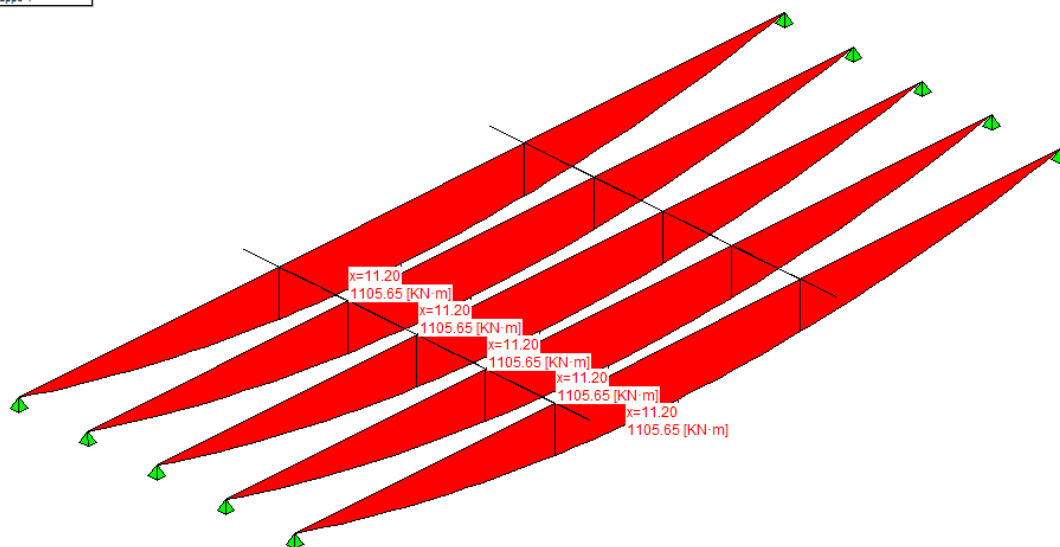
### 17.1 Valori caratteristici sollecitazioni

#### 17.1.1 Al taglio trefoli ed in opera

Sez.X	Descrizione	peso trave		peso soletta+traversi	
		M	V	M	V
0.00	appoggio	0.00	207.43	0.00	306.28
1.00		194.54	182.46	292.67	279.90
2.00		365.32	160.85	559.15	253.52
3.00		517.40	143.37	799.45	227.14
4.00		652.13	125.88	1013.56	200.76
5.00		769.51	108.40	1201.48	174.37
6.00		869.08	90.92	1362.52	147.99
7.00		951.06	73.43	1497.03	121.61
8.00		1015.68	55.95	1601.03	84.42
9.00		1062.95	38.46	1672.36	58.04
10.00		1092.87	20.98	1717.50	31.66
11.00		1105.26	3.50	1736.19	5.28
11.20	mezzeria	1105.65	0.00	1736.79	0.00
12.00		1099.72	-13.99	1727.84	-21.10
13.00		1076.88	-31.47	1693.38	-47.49
14.00		1036.69	-48.95	1632.73	-73.87
15.00		979.27	-66.44	1543.93	-107.82
16.00		904.24	-83.92	1419.91	-137.44
17.00		811.30	-101.41	1268.86	-163.82
18.00		701.00	-118.89	1091.62	-190.20
19.00		573.35	-136.37	888.19	-216.58
20.00		428.34	-153.86	658.58	-242.97
21.00		265.61	-173.92	402.78	-269.35
22.00		80.69	-197.44	120.10	-295.73
22.40	appoggio	0.00	-207.43	0.00	-306.28

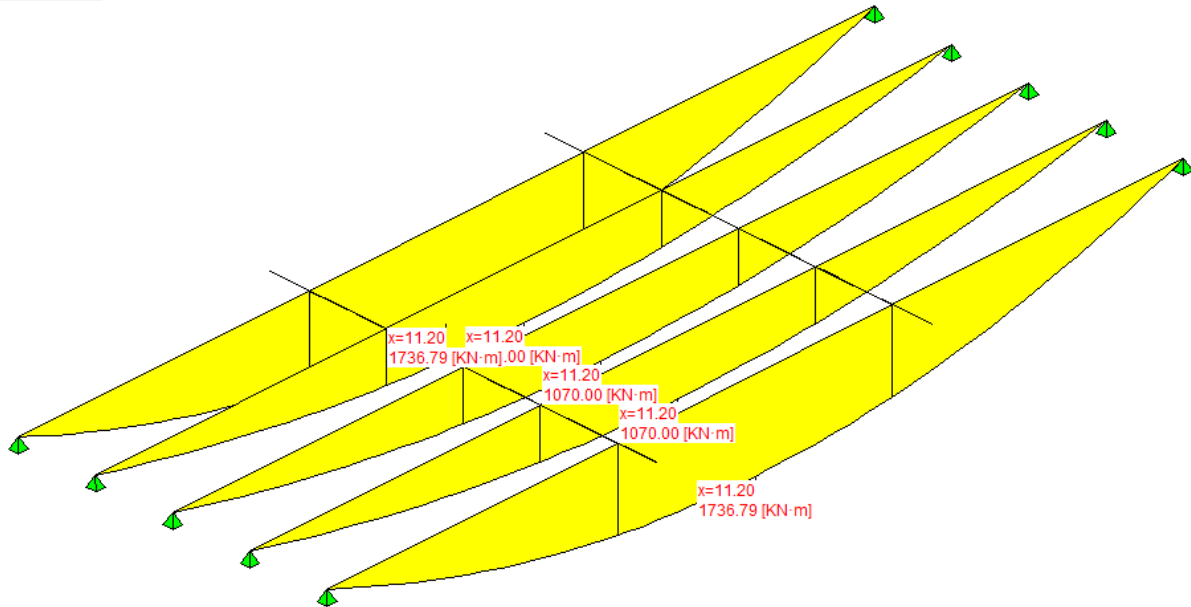
- peso trave
- peso soletta+traversi
- fase 1 - lineari per trave
- peso cordoli
- permanenti portati
- Traffico: tandem TS
- Traffico: distribuito UDL
- Traffico: folla sui marciapiedi
- Traffico: folla in carreggiata
- Traffico: gruppo 1

- Trave 1
- Trave 2
- Trave 3
- Trave 4
- Trave 5
- Traverso 1
- Traverso 2
- Appoggi



- peso trave
- peso soletta+traversi
- fase 1 - lineari per trave
- peso cordoli
- permanenti portati
- Traffico: tandem TS
- Traffico: distribuito UDL
- Traffico: folla sui marciapiedi
- Traffico: folla in carreggiata
- Traffico: gruppo 1

- Trave 1
- Trave 2
- Trave 3
- Trave 4
- Trave 5
- Traverso 1
- Traverso 2
- Appoggi

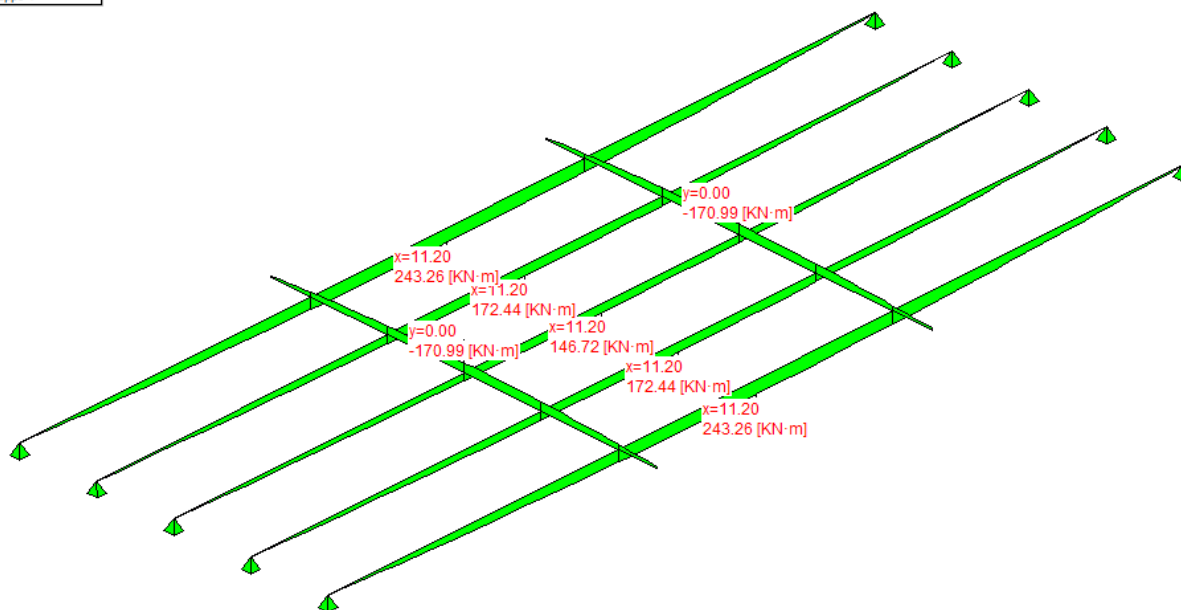


17.1.2 Seconda fase - carichi permanenti

Sez.X	Descrizione	peso cordoli		
		M	V	T
0.00	appoggio	0.00	43.44	0.00
1.00		41.44	39.56	0.00
2.00		79.03	35.68	0.00
3.00		112.76	31.80	0.00
4.00		142.65	27.93	0.00
5.00		168.69	24.05	0.00
6.00		190.78	20.17	0.00
7.00		208.96	16.29	0.00
8.00		223.30	12.41	0.00
9.00		233.79	8.53	0.00
10.00		240.42	4.65	0.00
11.00		243.17	0.78	0.00
11.20	mezzeria	243.26	0.00	0.00
12.00		241.94	-3.10	0.00
13.00		236.88	-6.98	0.00
14.00		227.96	-10.86	0.00
15.00		215.22	-14.74	0.00
16.00		198.58	-18.62	0.00
17.00		177.96	-22.50	0.00
18.00		153.49	-26.37	0.00
19.00		125.18	-30.25	0.00
20.00		93.01	-34.13	0.00
21.00		56.99	-38.01	0.00
22.00		17.02	-41.89	0.00
22.40	appoggio	0.00	-43.44	0.00

- peso trave
- peso soletta+traversi
- fase 1 - lineari per trave
- peso cordoli
- permanenti portati
- Traffico: tandem TS
- Traffico: distribuito UDL
- Traffico: folla sui marciapiedi
- Traffico: folla in carreggiata
- Traffico: gruppo 1

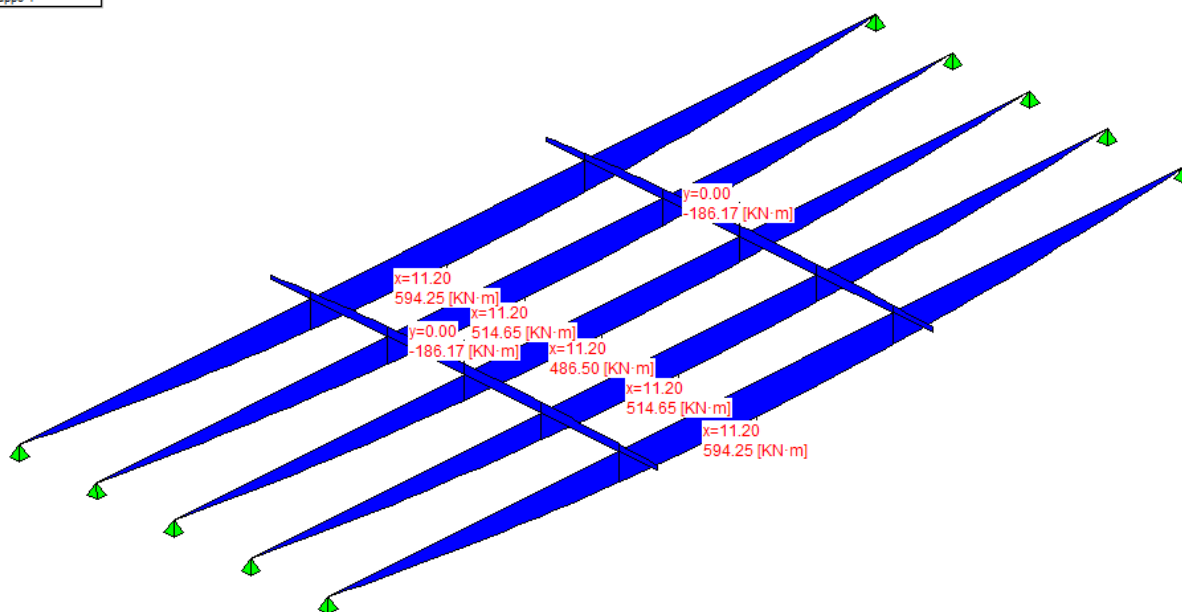
- Trave 1
- Trave 2
- Trave 3
- Trave 4
- Trave 5
- Traverso 1
- Traverso 2
- Appoggi



Sez.X	Descrizione	permanententi portati		
		M	V	T
0.00	appoggio	0.00	106.12	0.00
1.00		101.23	96.64	0.00
2.00		193.05	87.17	0.00
3.00		275.47	77.69	0.00
4.00		348.48	68.22	0.00
5.00		412.09	58.74	0.00
6.00		466.04	49.27	0.00
7.00		510.47	39.79	0.00
8.00		545.49	30.32	0.00
9.00		571.11	20.84	0.00
10.00		587.32	11.37	0.00
11.00		594.03	1.89	0.00
11.20	mezzeria	594.25	0.00	0.00
12.00		591.03	-7.58	0.00
13.00		578.66	-17.05	0.00
14.00		556.88	-26.53	0.00
15.00		525.76	-36.00	0.00
16.00		485.10	-45.48	0.00
17.00		434.74	-54.95	0.00
18.00		374.96	-64.43	0.00
19.00		305.79	-73.90	0.00
20.00		227.21	-83.38	0.00
21.00		139.22	-92.85	0.00
22.00		41.58	-102.33	0.00
22.40	appoggio	0.00	-106.12	0.00

- peso trave
- peso soletta+traversi
- fase 1 - lineari per trave
- peso cordoli
- permanententi portati
- Traffico: tandem TS
- Traffico: distribuito UDL
- Traffico: folla sui marciapiedi
- Traffico: folla in carreggiata
- Traffico: gruppo 1

- Trave 1
- Trave 2
- Trave 3
- Trave 4
- Trave 5
- Traverso 1
- Traverso 2
- Appoggi

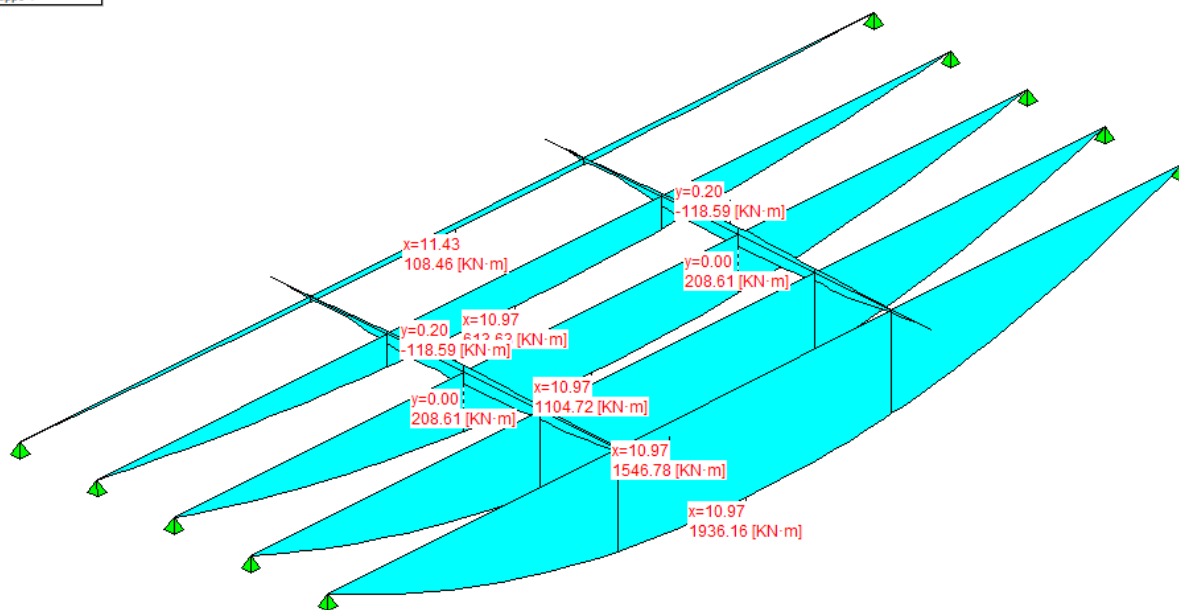


### 17.1.3 Seconda fase - carichi da traffico

Sez.X	Descrizione	Tandem-TS		
		M	V	T
0.00	appoggio	0.00	355.27	0.00
1.00		338.46	338.98	0.00
2.00		644.56	322.68	0.00
3.00		918.31	306.38	0.00
4.00		1159.70	290.09	0.00
5.00		1368.74	273.79	0.00
6.00		1544.58	257.49	0.00
7.00		1687.63	241.19	0.00
8.00		1798.33	224.90	0.00
9.00		1876.68	208.60	0.00
10.00		1922.67	192.30	0.00
11.00		1935.98	132.82	0.00
11.20	mezzeria	1934.77	-172.75	0.00
12.00		1931.53	-185.79	0.00
13.00		1898.73	-202.08	0.00
14.00		1833.59	-218.38	0.00
15.00		1736.32	-234.68	0.00
16.00		1606.23	-250.97	0.00
17.00		1442.74	-267.27	0.00
18.00		1246.90	-283.57	0.00
19.00		1018.70	-299.86	0.00
20.00		758.15	-316.16	0.00
21.00		465.24	-332.46	0.00
22.00		139.13	-348.75	0.00
22.40	appoggio	0.00	-355.27	0.00

- peso trave
- peso soletta+traversi
- fase 1 - lineari per trave
- peso cordoli
- permanenti portati
- Traffico: tandem TS
- Traffico: distribuito UDL
- Traffico: folla sui marciapiedi
- Traffico: folla in carreggiata
- Traffico: gruppo 1

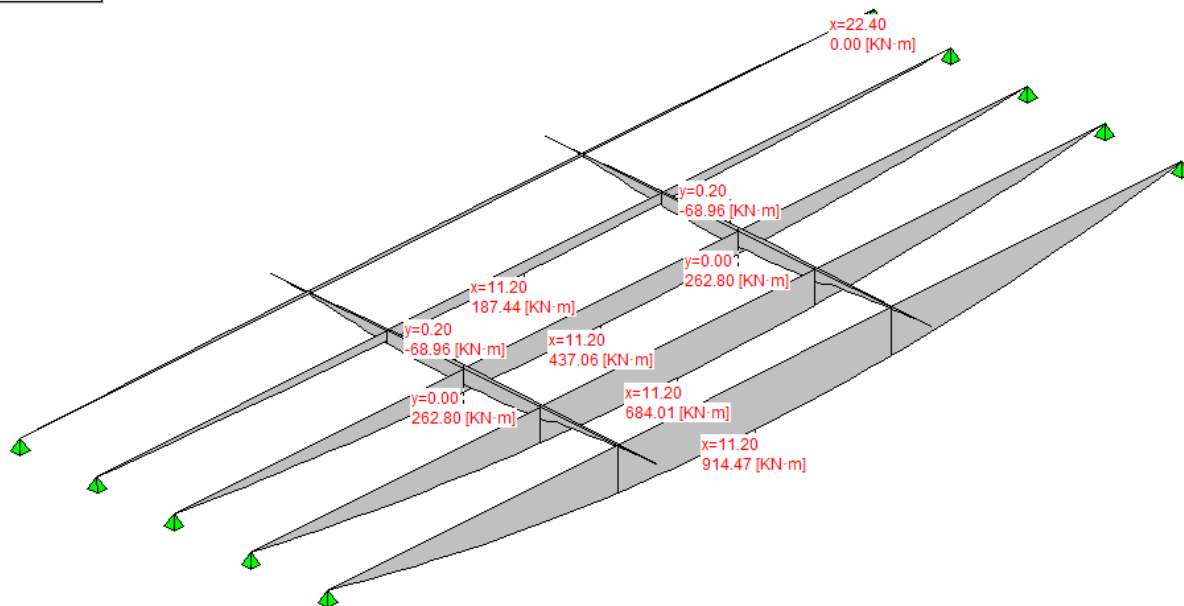
- Trave 1
- Trave 2
- Trave 3
- Trave 4
- Trave 5
- Traverso 1
- Traverso 2
- Appoggi



Sez.X	Descrizione	Distribuito-UDL		
		M	V	T
0.00	appoggio	0.00	163.30	0.00
1.00		155.78	149.05	0.00
2.00		297.08	135.46	0.00
3.00		423.91	122.50	0.00
4.00		536.26	110.20	0.00
5.00		634.15	98.54	0.00
6.00		717.18	87.54	0.00
7.00		785.54	77.20	0.00
8.00		839.44	67.50	0.00
9.00		878.86	58.45	0.00
10.00		903.80	50.05	0.00
11.00		914.13	41.77	0.00
11.20	mezzeria	914.47	36.57	0.00
12.00		909.52	-46.88	0.00
13.00		890.47	-55.02	0.00
14.00		856.96	-63.80	0.00
15.00		809.07	-73.23	0.00
16.00		746.50	-83.32	0.00
17.00		669.00	-94.07	0.00
18.00		577.02	-105.46	0.00
19.00		470.56	-117.50	0.00
20.00		349.64	-130.19	0.00
21.00		214.24	-143.53	0.00
22.00		63.99	-157.53	0.00
22.40	appoggio	0.00	-163.30	0.00

- peso trave
- peso soletta+traversi
- fase 1 - lineari per trave
- peso cordoli
- permanenti portati
- Traffico: tandem TS
- Traffico: distribuito UDL
- Traffico: folla sui marciapiedi
- Traffico: folla in carreggiata
- Traffico: gruppo 1

- Trave 1
- Trave 2
- Trave 3
- Trave 4
- Trave 5
- Traverso 1
- Traverso 2
- Appoggi



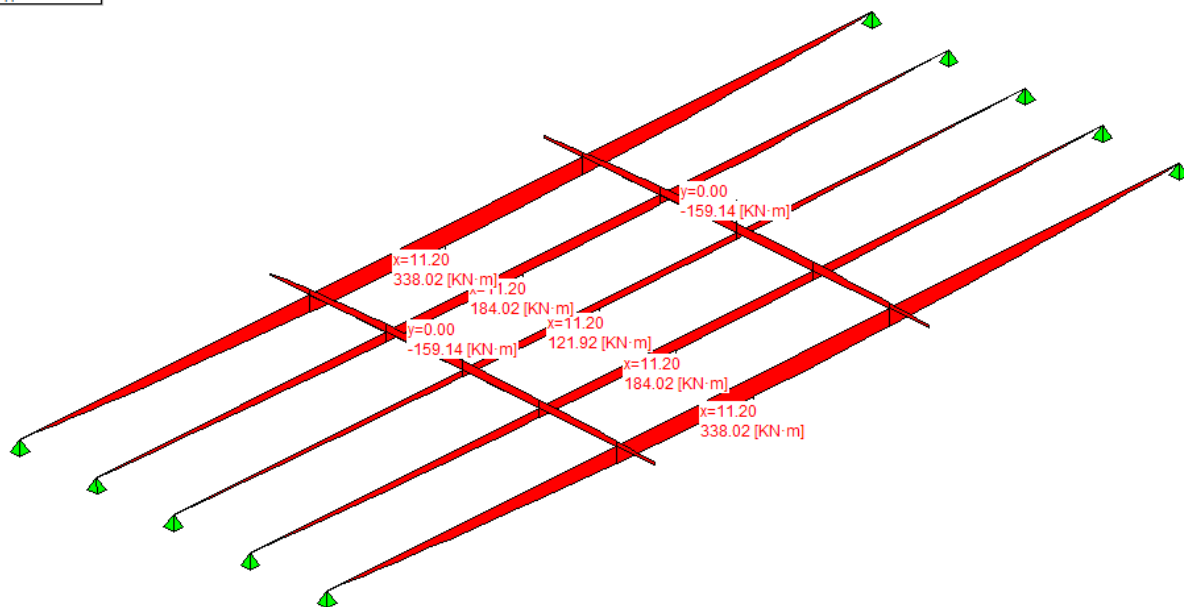
RELAZIONE DI CALCOLO IMPALCATO CAP

COMMESSA	LOTTO	CODIFICA	DOCUMENTO	REV.	FOGLIO
RS3T	30	D 09CL	NW04 00 002	B	64 di 104

Sez.X	Descrizione	Folla marciapiedi		
		M	V	T
0.00	appoggio	0.00	60.36	0.00
1.00		57.58	54.97	0.00
2.00		109.81	49.58	0.00
3.00		156.69	44.19	0.00
4.00		198.22	38.80	0.00
5.00		234.40	33.41	0.00
6.00		265.10	28.02	0.00
7.00		290.37	22.64	0.00
8.00		310.29	17.25	0.00
9.00		324.86	11.86	0.00
10.00		334.08	6.47	0.00
11.00		337.90	1.08	0.00
11.20	mezzeria	338.02	0.00	0.00
12.00		336.19	-4.31	0.00
13.00		329.15	-9.70	0.00
14.00		316.76	-15.09	0.00
15.00		299.06	-20.48	0.00
16.00		275.94	-25.87	0.00
17.00		247.29	-31.26	0.00
18.00		213.29	-36.65	0.00
19.00		173.94	-42.04	0.00
20.00		129.24	-47.43	0.00
21.00		79.19	-52.82	0.00
22.00		23.65	-58.21	0.00
22.40	appoggio	0.00	-60.36	0.00

- peso trave
- peso soletta+traversi
- fase 1 - lineari per trave
- peso cordoli
- permanenti portati
- Traffico: tandem TS
- Traffico: distribuito UDL
- Traffico: folla sui marciapiedi
- Traffico: folla in carreggiata
- Traffico: gruppo 1

- Trave 1
- Trave 2
- Trave 3
- Trave 4
- Trave 5
- Traverso 1
- Traverso 2
- Appoggi

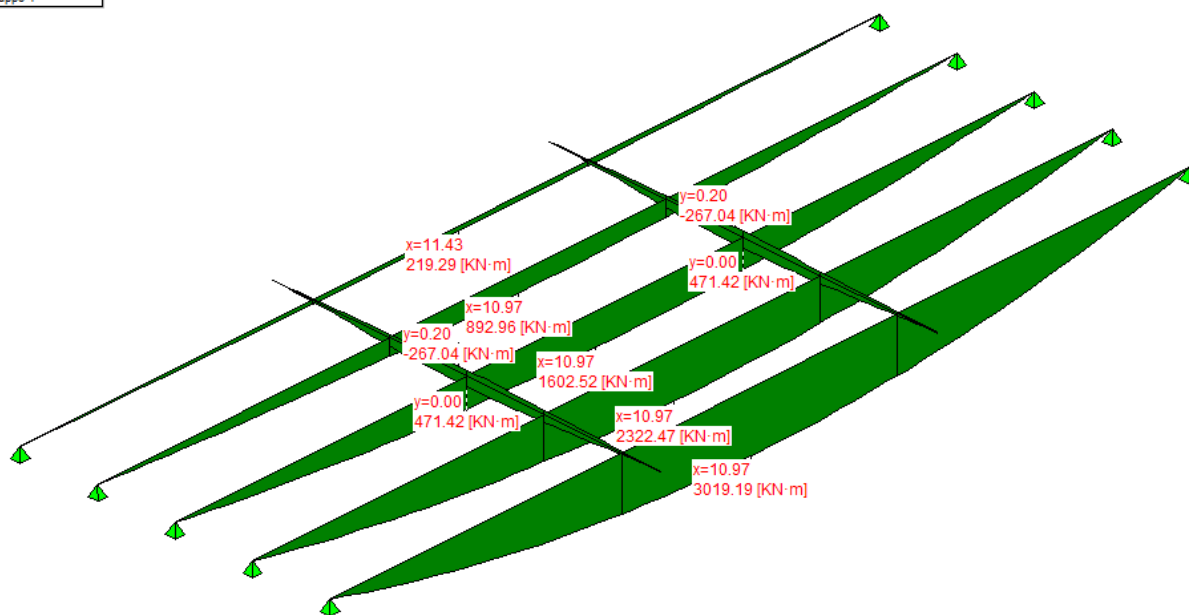




Sez.X		gruppo1 (tab. 5.1.IV)		
		M	V	T
0.00	appoggio	0.00	548.75	0.00
1.00		523.02	515.52	0.00
2.00		996.55	482.93	0.00
3.00		1420.56	450.98	0.00
4.00		1795.08	419.68	0.00
5.00		2120.09	389.03	0.00
6.00		2394.30	359.04	0.00
7.00		2618.36	329.71	0.00
8.00		2792.91	301.02	0.00
9.00		2917.96	272.98	0.00
10.00		2993.51	245.59	0.00
11.00		3019.07	175.12	0.00
11.20	mezzeria	3018.25	-136.18	0.00
12.00		3009.14	-234.82	0.00
13.00		2953.78	-261.95	0.00
14.00		2848.93	-289.73	0.00
15.00		2694.93	-318.15	0.00
16.00		2490.70	-347.22	0.00
17.00		2235.38	-376.96	0.00
18.00		1930.56	-407.35	0.00
19.00		1576.23	-438.39	0.00
20.00		1172.41	-470.07	0.00
21.00		719.08	-502.39	0.00
22.00		214.94	-535.38	0.00
22.40	appoggio	0.00	-548.75	0.00

- peso trave
- peso soletta+traversi
- fase 1 - lineari per trave
- peso cordoli
- permanenti portati
- Traffico: tandem TS
- Traffico: distribuito UDL
- Traffico: folla sui marciapiedi
- Traffico: folla in carreggiata
- Traffico: gruppo 1

- Trave 1
- Trave 2
- Trave 3
- Trave 4
- Trave 5
- Traverso 1
- Traverso 2
- Appoggi



### 17.1.4 In fase di sollevamento

Coefficiente di incremento dinamico 0.15

Sez.X	Descrizione	M max	M min
-0.50		0.00	0.00
0.10	aggancio	-3.82	-5.17
0.50		86.55	63.97
1.50		296.14	218.88
2.50		481.18	355.65
3.50		646.10	477.55
4.50		791.06	584.70
5.50		915.93	676.99
6.50		1020.19	754.05
7.50		1104.81	816.60
8.50		1168.83	863.92
9.50		1213.21	896.72
10.50		1237.63	914.77
11.50		1241.44	917.59
12.50		1225.16	905.55
13.50		1188.92	878.77
14.50		1132.72	837.23
15.50		1056.56	780.94
16.50		960.05	709.60
17.50		843.19	623.23
18.50		706.37	522.10
19.50		549.59	406.22
20.50		372.85	275.59
21.50		174.09	128.67
22.30	aggancio	-3.82	-5.17
22.90		0.00	0.00

## 17.2 Valori di combinazione

### 17.2.1 Combinazioni SLU

#### 17.2.1.1 Al taglio dei trefoli

$$E_d = E\{ \gamma_{G1,sup} \cdot G_{1,k,1} \}$$

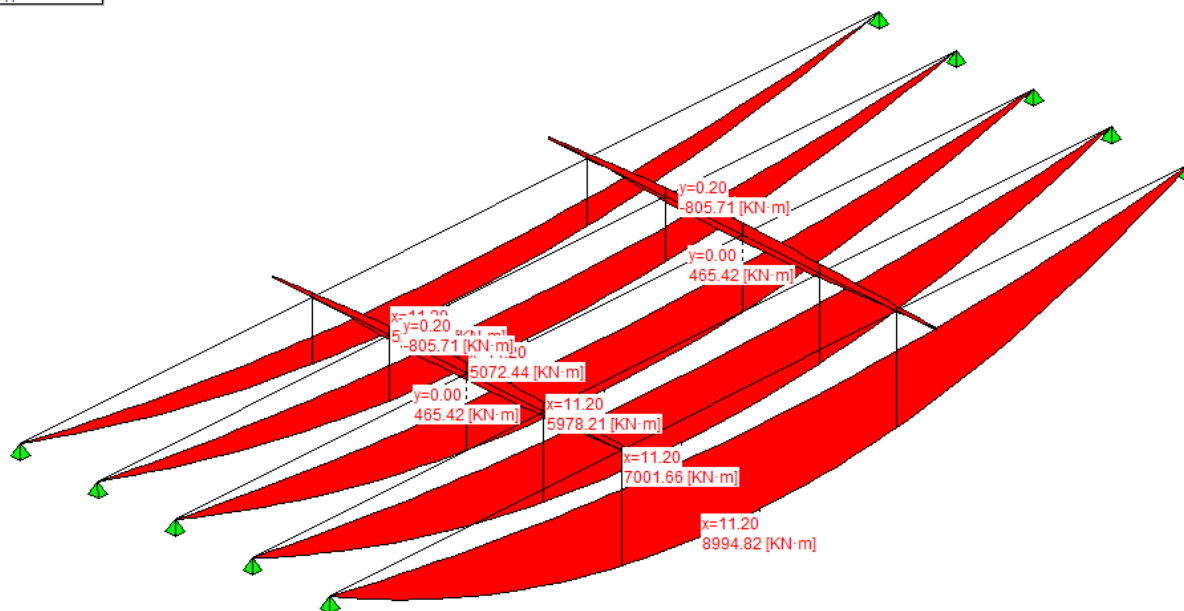
$$E_d = E\{ \gamma_{G1,inf} \cdot G_{1,k,1} \}$$

Sez.X	Descrizione	M	V
0.00	appoggio	0.00	280.03
1.00		262.63	246.32
2.00		493.18	217.15
3.00		698.49	193.54
4.00		880.38	169.94
5.00		1038.84	146.34
6.00		1173.25	122.74
7.00		1283.93	99.13
8.00		1371.17	75.53
9.00		1434.98	51.93
10.00		1475.37	28.32
11.00		1492.09	4.72
11.20	mezzeria	1492.63	0.00
12.00		1484.62	-18.88
13.00		1453.79	-42.49
14.00		1399.53	-66.09

Sez.X	Descrizione	M	V
15.00		1322.02	-89.69
16.00		1220.73	-113.29
17.00		1095.26	-136.90
18.00		946.35	-160.50
19.00		774.02	-184.10
20.00		578.26	-207.71
21.00		358.58	-234.79
22.00		108.93	-266.54
22.40	appoggio	0.00	-280.03

- peso trave
- peso soletta+traversi
- fase 1 - lineari per trave
- peso cordoli
- permanenti portati
- Traffico: tandem TS
- Traffico: distribuito UDL
- Traffico: folia sui marciapiedi
- Traffico: folia in carreggiata
- Traffico: gruppo 1

- Trave 1
- Trave 2
- Trave 3
- Trave 4
- Trave 5
- Traverso 1
- Traverso 2
- Appoggi



### 17.2.1.2 In fase di sollevamento

$$E_d = E\{ \gamma_{G1,sup} \cdot G_{1,k,1} \cdot \Phi_{din,sup} \}$$

$$E_d = E\{ \gamma_{G1,inf} \cdot G_{1,k,1} \cdot \Phi_{din,inf} \}$$

Sez.X	Descrizione	Mmax	Mmin
0.00	appoggio	-2.65	-4.85
1.00		263.04	144.02
2.00		528.16	289.17
3.00		764.28	418.45
4.00		973.45	532.97
5.00		1155.68	632.74
6.00		1310.25	717.37
7.00		1437.53	787.05
8.00		1537.86	841.98
9.00		1611.24	882.16
10.00		1657.69	907.59
11.00		1676.92	918.12

RELAZIONE DI CALCOLO IMPALCATO CAP

COMMESSA	LOTTO	CODIFICA	DOCUMENTO	REV.	FOGLIO
RS3T	30	D 09CL	NW04 00 002	B	68 di 104

Sez.X	Descrizione	Mmax	Mmin
11.20	mezzeria	1677.54	918.46
12.00		1668.32	913.41
13.00		1632.87	894.00
14.00		1570.47	859.84
15.00		1481.33	811.04
16.00		1364.85	747.26
17.00		1220.56	668.26
18.00		1049.32	574.51
19.00		851.14	466.00
20.00		626.01	342.75
21.00		373.37	204.42
22.00		86.68	47.08
22.40	appoggio	-2.65	-4.85

17.2.1.3 Al getto soletta

$$E_d = E\{ \sum \gamma_{G1,sup} \cdot G1_{k,i} + \sum \gamma_{G2,sup} \cdot G2_{k,i} \}$$

$$E_d = E\{ \sum \gamma_{G1,inf} \cdot G1_{k,i} + \sum \gamma_{G2,inf} \cdot G2_{k,i} \}$$

Sez.X	Descrizione	M	V
0.00	appoggio	0.00	693.51
1.00		657.74	624.19
2.00		1248.03	559.40
3.00		1777.75	500.18
4.00		2248.68	440.96
5.00		2660.83	381.74
6.00		3012.65	322.53
7.00		3304.92	263.31
8.00		3532.56	189.50
9.00		3692.67	130.28
10.00		3793.99	71.06
11.00		3835.95	11.84
11.20	mezzeria	3837.31	0.00
12.00		3817.20	-47.37
13.00		3739.85	-106.59
14.00		3603.72	-165.81
15.00		3406.33	-235.24
16.00		3137.60	-298.84
17.00		2808.21	-358.06
18.00		2420.04	-417.27
19.00		1973.08	-476.49
20.00		1467.35	-535.71
21.00		902.33	-598.41
22.00		271.06	-665.78
22.40	appoggio	0.00	-693.51

17.2.1.4 Seconda fase P/T

$$E_d = E\{ \sum \gamma_{G1,sup} \cdot G1_{k,i} + \sum \gamma_{G2,sup} \cdot G2_{k,i} \}$$

$$E_d = E\{ \sum \gamma_{G1,inf} \cdot G1_{k,i} + \sum \gamma_{G2,inf} \cdot G2_{k,i} \}$$

$$E_d = E\{ \sum \gamma_{G1,sup} \cdot G1_{k,i} + \sum \gamma_{G2,sup} \cdot G2_{k,i} + \gamma_{Q,traffico} \cdot Q_{k,gruppo 1} \}$$

$$E_d = E\{ \sum \gamma_{G1,inf} \cdot G_{1,k,i} + \sum \gamma_{G2,inf} \cdot G_{2,k,i} + \gamma_{Q,traffico} \cdot Q_{k,gruppo 1} \}$$

Sez.X	Descrizione	M	V	T
0.00	appoggio	0.00	1627.69	0.00
1.00		1548.28	1496.24	0.00
2.00		2945.16	1370.19	0.00
3.00		4197.49	1250.58	0.00
4.00		5307.06	1131.85	0.00
5.00		6273.89	1013.98	0.00
6.00		7094.22	897.02	0.00
7.00		7769.91	780.93	0.00
8.00		8297.02	651.13	0.00
9.00		8672.63	536.79	0.00
10.00		8905.48	423.32	0.00
11.00		8994.18	251.71	0.00
11.20	mezzeria	8994.82	-183.84	0.00
12.00		8956.55	-378.19	0.00
13.00		8781.92	-491.30	0.00
14.00		8464.54	-605.29	0.00
15.00		8002.56	-730.35	0.00
16.00		7384.03	-850.46	0.00
17.00		6618.18	-967.10	0.00
18.00		5709.57	-1084.60	0.00
19.00		4658.22	-1202.98	0.00
20.00		3464.12	-1322.23	0.00
21.00		2126.77	-1445.84	0.00
22.00		637.01	-1575.01	0.00
22.40	appoggio	0.00	-1627.69	0.00

## 17.2.2 Combinazioni SLE

### 17.2.2.1 Al taglio dei trefoli

$$E_d = E\{ G_{1,k,1} \}$$

Sez.X	Descrizione	M	V
0.00	appoggio	0.00	207.43
1.00		194.54	182.46
2.00		365.32	160.85
3.00		517.40	143.37
4.00		652.13	125.88
5.00		769.51	108.40
6.00		869.08	90.92
7.00		951.06	73.43
8.00		1015.68	55.95
9.00		1062.95	38.46
10.00		1092.87	20.98
11.00		1105.26	3.50
11.20	mezzeria	1105.65	0.00
12.00		1099.72	-13.99
13.00		1076.88	-31.47
14.00		1036.69	-48.95
15.00		979.27	-66.44
16.00		904.24	-83.92
17.00		811.30	-101.41
18.00		701.00	-118.89
19.00		573.35	-136.37

Sez.X	Descrizione	M	V
20.00		428.34	-153.86
21.00		265.61	-173.92
22.00		80.69	-197.44
22.40	appoggio	0.00	-207.43

### 17.2.2.2 In fase di sollevamento

$$E_d = E\{ G1_{k,1} \cdot \varphi_{din,sup} \}$$

$$E_d = E\{ G1_{k,1} \cdot \varphi_{din,inf} \}$$

Sez.X	Descrizione	Mmax	Mmin
0.00	appoggio	-2.65	-3.59
1.00		194.85	144.02
2.00		391.23	289.17
3.00		566.13	418.45
4.00		721.07	532.97
5.00		856.06	632.74
6.00		970.56	717.37
7.00		1064.83	787.05
8.00		1139.15	841.98
9.00		1193.51	882.16
10.00		1227.92	907.59
11.00		1242.16	918.12
11.20	mezzeria	1242.62	918.46
12.00		1235.79	913.41
13.00		1209.53	894.00
14.00		1163.31	859.84
15.00		1097.28	811.04
16.00		1011.00	747.26
17.00		904.12	668.26
18.00		777.27	574.51
19.00		630.47	466.00
20.00		463.71	342.75
21.00		276.57	204.42
22.00		64.21	47.08
22.40	appoggio	-2.65	-3.59

### 17.2.2.3 Al getto soletta

$$E_d = E\{ \sum G1_{k,i} + \sum G2_{k,i} \}$$

Sez.X	Descrizione	M	V
0.00	appoggio	0.00	513.71
1.00		487.21	462.36
2.00		924.47	414.37
3.00		1316.85	370.50
4.00		1665.69	326.64
5.00		1970.99	282.77
6.00		2231.60	238.91
7.00		2448.09	195.04
8.00		2616.71	140.37
9.00		2735.31	96.50
10.00		2810.36	52.64
11.00		2841.45	8.77
11.20	mezzeria	2842.45	0.00
12.00		2827.55	-35.09
13.00		2770.26	-78.96
14.00		2669.42	-122.82
15.00		2523.21	-174.25
16.00		2324.15	-221.36
17.00		2080.16	-265.23
18.00		1792.62	-309.09
19.00		1461.54	-352.96
20.00		1086.92	-396.82
21.00		668.39	-443.27
22.00		200.79	-493.17
22.40	appoggio	0.00	-513.71

### 17.2.2.4 Seconda fase - S.L.E. Rara 2<sup>a</sup> fase

$$E_d = E\{ \sum G1_{k,2}^a + \sum G2_{k,2}^a + Q_{k,gruppo 1} \}$$

Sez.X	Descrizione	M	V	T
0.00	appoggio	0.00	680.20	0.00
1.00		648.42	635.23	0.00
2.00		1235.68	590.90	0.00
3.00		1761.79	547.22	0.00
4.00		2226.75	504.19	0.00
5.00		2630.55	461.80	0.00
6.00		2971.60	420.07	0.00
7.00		3250.68	379.00	0.00
8.00		3468.62	338.58	0.00
9.00		3625.40	298.80	0.00
10.00		3721.03	259.67	0.00
11.00		3754.90	177.47	0.00
11.20	mezzeria	3754.35	-136.18	0.00
12.00		3741.26	-244.21	0.00
13.00		3670.57	-283.08	0.00
14.00		3538.73	-322.59	0.00
15.00		3346.20	-362.75	0.00
16.00		3091.60	-403.56	0.00
17.00		2773.89	-445.04	0.00
18.00		2395.03	-487.16	0.00

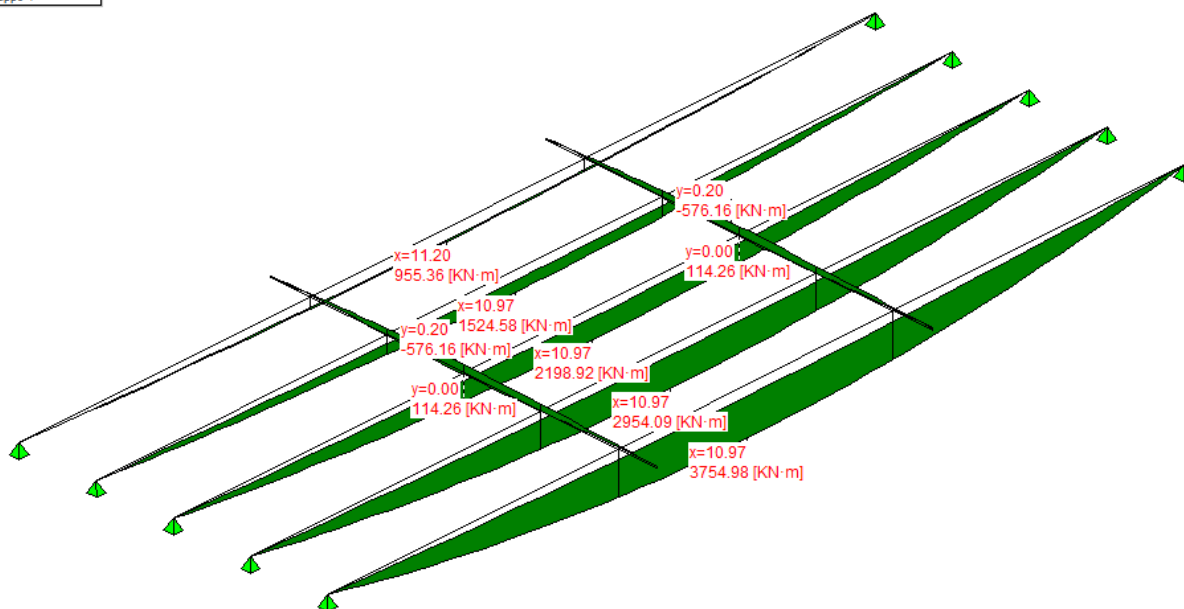
RELAZIONE DI CALCOLO IMPALCATO CAP

COMMESSA	LOTTO	CODIFICA	DOCUMENTO	REV.	FOGLIO
RS3T	30	D 09CL	NW04 00 002	B	72 di 104

Sez.X	Descrizione	M	V	T
19.00		1955.01	-529.93	0.00
20.00		1453.85	-573.35	0.00
21.00		891.53	-617.41	0.00
22.00		266.45	-662.13	0.00
22.40	appoggio	0.00	-680.20	0.00

- peso trave
- peso soletta+traversi
- fase 1 - lineari per trave
- peso cordoli
- permanenti portati
- Traffico: tandem TS
- Traffico: distribuito UDL
- Traffico: folla sui marciapiedi
- Traffico: folla in carreggiata
- Traffico: gruppo 1

- Trave 1
- Trave 2
- Trave 3
- Trave 4
- Trave 5
- Traverso 1
- Traverso 2
- Appoggi



17.2.2.5 Seconda fase - S.L.E. Frequente 2ªfase

$$E_d = E \left\{ \sum G_{1,k,2}^a \text{ fase} + \sum G_{2,k,2}^a \text{ fase} + \psi_1 \cdot Q_{k,\text{gruppo 1}} \right\}$$

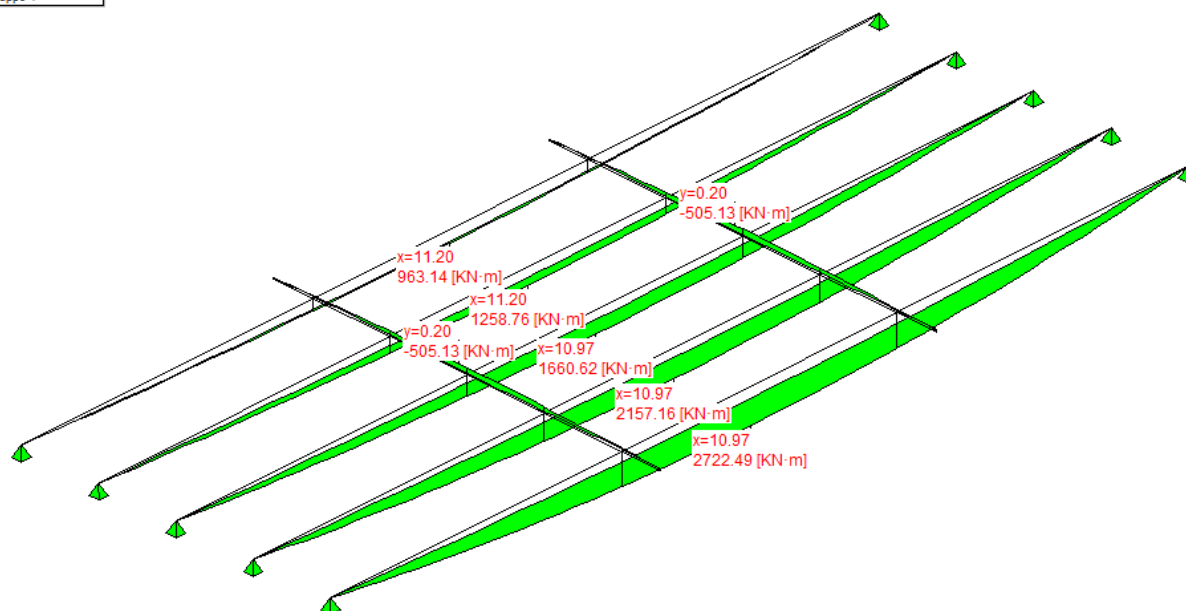
Sez.X	Descrizione	M	V	T
0.00	appoggio	0.00	493.40	0.00
1.00		470.34	461.05	0.00
2.00		896.29	428.96	0.00
3.00		1277.87	397.12	0.00
4.00		1615.06	365.55	0.00
5.00		1907.88	334.23	0.00
6.00		2155.15	303.18	0.00
7.00		2357.45	272.39	0.00
8.00		2515.37	241.85	0.00
9.00		2628.92	211.58	0.00
10.00		2698.08	181.56	0.00
11.00		2722.43	119.21	0.00
11.20	mezzeria	2721.98	-114.93	0.00
12.00		2712.66	-169.63	0.00
13.00		2661.60	-199.54	0.00
14.00		2566.16	-229.71	0.00
15.00		2426.67	-260.14	0.00
16.00		2242.14	-290.82	0.00



Sez.X	Descrizione	M	V	T
17.00		2011.81	-321.78	0.00
18.00		1737.09	-352.99	0.00
19.00		1418.00	-384.46	0.00
20.00		1054.53	-416.19	0.00
21.00		646.67	-448.18	0.00
22.00		193.27	-480.43	0.00
22.40	appoggio	0.00	-493.40	0.00

- peso trave
- peso soletta+traversi
- fase 1 - lineari per trave
- peso cordoli
- permanenti portati
- Traffico: tandem TS
- Traffico: distribuito UDL
- Traffico: folla sui marciapiedi
- Traffico: folla in carreggiata
- Traffico: gruppo 1

- Trave 1
- Trave 2
- Trave 3
- Trave 4
- Trave 5
- Traverso 1
- Traverso 2
- Appoggi



### 17.2.2.6 Seconda fase - S.L.E. Quasi permanente 2<sup>a</sup> fase

$$E_d = E \{ \sum G_{1,k,2}^a \text{ fase} + \sum G_{2,k,2}^a \text{ fase} + \psi_2 \cdot Q_{k,\text{gruppo 1}} \}$$

Sez.X	Descrizione	M	V	T
0.00	appoggio	0.00	161.63	0.00
1.00		154.18	147.20	0.00
2.00		294.04	132.77	0.00
3.00		419.57	118.33	0.00
4.00		530.78	103.90	0.00
5.00		627.66	89.47	0.00
6.00		709.84	75.04	0.00
7.00		777.51	60.61	0.00
8.00		830.85	46.18	0.00
9.00		869.87	31.75	0.00
10.00		894.56	17.32	0.00
11.00		904.78	2.89	0.00
11.20	mezzeria	905.11	0.00	0.00
12.00		900.21	-11.54	0.00
13.00		881.36	-25.98	0.00
14.00		848.19	-40.41	0.00



## 18 SOLLECITAZIONI SUL TRAVERSO IN CAMPATA

Vengono valutati i momenti flettenti massimi e minimi agenti sul traverso in campata per effetto dei carichi permanenti e del transito dei carichi da traffico.

### 18.1 Valori caratteristici M

#### 18.1.1 Carichi permanenti

Sez.	Descrizione	peso cordoli	Perm Portati
-5.00	estremità dx	-27.80	-71.54
-4.00		-84.14	-117.84
-3.00		-124.31	-150.14
-2.00		-150.95	-170.93
-1.00		-166.08	-182.47
0.00	asse travi	-170.99	-186.17
1.00		-166.08	-182.47
2.00		-150.95	-170.93
3.00		-124.31	-150.14
4.00		-84.14	-117.84
5.00	estremità sx	-27.80	-71.54

#### 18.1.2 Carichi da traffico

Sez.	Descrizione	Tandem-TS	
		Mmax	Mmin
-5.00	estremità dx	0.00	0.00
-4.00		50.06	-9.67
-3.00		136.20	-31.92
-2.00		150.27	-56.54
-1.00		197.75	-99.48
0.00	asse travi	208.61	-118.57
1.00		197.75	-99.48
2.00		150.27	-56.54
3.00		40.79	-31.92
4.00		50.06	-9.67
5.00	estremità sx	0.00	0.00

Sez.	Descrizione	Distribuito-UDL	
		Mmax	Mmin
-5.00	estremità dx	0.00	-0.33
-4.00		32.74	-9.97
-3.00		92.21	-27.45
-2.00		203.49	-42.00
-1.00		248.39	-62.80
0.00	asse travi	262.80	-67.95
1.00		248.39	-62.80
2.00		203.49	-42.00
3.00		126.11	-23.68
4.00		32.74	-7.17
5.00	estremità sx	0.00	0.00

Sez.	Descrizione	Folla Marciapiedi	
		Mmax	Mmin
-5.00	estremità dx	0.00	-48.81
-4.00		0.00	-93.90

Sez.	Descrizione	Folla Marciapiedi	
		Mmax	Mmin
-3.00		0.00	-125.40
-2.00		0.00	-142.43
-1.00		0.00	-155.07
0.00	asse travi	0.00	-159.14
1.00		0.00	-155.07
2.00		0.00	-142.43
3.00		0.00	-120.06
4.00		0.00	-86.05
5.00	estremità sx	0.00	-37.91

Sez.	Descrizione	gruppo 1 (tab.5.1.IV)	
		Mmax	Mmin
-5.00	estremità dx	0.00	-18.96
-4.00		82.79	-59.87
-3.00		228.41	-115.63
-2.00		353.75	-169.75
-1.00		446.14	-239.81
0.00	asse travi	471.42	-266.09
1.00		446.14	-239.81
2.00		353.75	-169.75
3.00		166.90	-115.63
4.00		82.79	-59.87
5.00	estremità sx	0.00	-18.96

## 18.2 Combinazioni SLU

Nelle combinazioni seguenti vengono sommati effetti globali ed effetti locali.

### 18.2.1 Persistenti/Transitorie

$$E_d = E\{ \sum \gamma_{G1,sup} \cdot G1_{k,i} + \sum \gamma_{G2,sup} \cdot G2_{k,i} \}$$

$$E_d = E\{ \sum \gamma_{G1,inf} \cdot G1_{k,i} + \sum \gamma_{G2,inf} \cdot G2_{k,i} \}$$

$$E_d = E\{ \sum \gamma_{G1,sup} \cdot G1_{k,i} + \sum \gamma_{G2,sup} \cdot G2_{k,i} + \gamma_{Q,traffico} \cdot Q_{k,gruppo 1} \}$$

$$E_d = E\{ \sum \gamma_{G1,inf} \cdot G1_{k,i} + \sum \gamma_{G2,inf} \cdot G2_{k,i} + \gamma_{Q,traffico} \cdot Q_{k,gruppo 1} \}$$

Sez.	Descrizione	Mmax	Mmin
-5.00	estremità dx	-27.80	-155.08
-4.00		27.63	-336.32
-3.00		184.05	-500.50
-2.00		326.62	-631.65
-1.00		436.20	-758.86
0.00	asse travi	465.42	-804.85
1.00		436.20	-758.86
2.00		326.62	-631.65
3.00		101.01	-500.50
4.00		27.63	-336.32
5.00	estremità sx	-27.80	-155.08

## 18.3 Combinazioni SLE

### 18.3.1 Combinazioni Rare

$$E_d = E\{ \sum G1_{k,2}^a \text{ fase} + \sum G2_{k,2}^a \text{ fase} + Q_{k,gruppo 1} \}$$

Sez.	Descrizione	Mmax	Mmin
-5.00	estremità dx	-99.34	-106.93
-4.00		-119.19	-236.04
-3.00		-46.03	-354.06
-2.00		31.88	-448.90
-1.00		97.58	-541.84
0.00	asse travi	114.26	-575.50
1.00		97.58	-541.84
2.00		31.88	-448.90
3.00		-107.54	-354.06
4.00		-119.19	-236.04
5.00	estremità sx	-99.34	-106.93

### 18.3.2 Combinazioni Frequenti

$$E_d = E\left\{ \sum G_{1,k,2}^a \text{ fase} + \sum G_{2,k,2}^a \text{ fase} + \psi_1 \cdot Q_{k,\text{gruppo 1}} \right\}$$

Sez.	Descrizione	Mmax	Mmin
-5.00	estremità dx	-99.34	-106.93
-4.00		-151.35	-229.32
-3.00		-135.41	-331.87
-2.00		-127.78	-409.56
-1.00		-100.89	-479.30
0.00	asse travi	-95.57	-505.09
1.00		-100.89	-479.30
2.00		-127.78	-409.56
3.00		-193.41	-331.87
4.00		-151.35	-229.32
5.00	estremità sx	-99.34	-106.93

### 18.3.3 Combinazioni Quasi Permanenti


$$E_d = E\left\{ \sum G_{1,k,2}^a \text{ fase} + \sum G_{2,k,2}^a \text{ fase} + \psi_2 \cdot Q_{k,\text{gruppo 1}} \right\}$$

Sez.	Descrizione	Mmax	Mmin
-5.00	estremità dx	-99.34	-106.93
-4.00		-201.98	-219.19
-3.00		-274.44	-298.45
-2.00		-321.87	-350.36
-1.00		-348.56	-379.57
0.00	asse travi	-357.15	-388.98
1.00		-348.56	-379.57
2.00		-321.87	-350.36
3.00		-274.44	-298.45
4.00		-201.98	-219.19
5.00	estremità sx	-99.34	-106.93

## 19 SOLLECITAZIONI SULLA SOLETTA

### 19.1 Valori caratteristici

Il momento massimo trasversale dato dall'effetto locale dei carichi sulla soletta viene determinato servendosi di uno schema semplificato di trave semi incastrata e prendendo il momento in mezzeria.

 <b>ITALFERR</b> GRUPPO FERROVIE DELLO STATO ITALIANE	<b>DIRETTRICE FERROVIARIA MESSINA – CATANIA – PALERMO</b> <b>NUOVO COLLEGAMENTO PALERMO – CATANIA</b> <b>TRATTA LERCARA DIRAMAZIONE – CALTANISSETTA (LOTTO 3B)</b> <b>Viadotto NW04</b>					
	<b>RELAZIONE DI CALCOLO IMPALCATO CAP</b>	COMMESSA <b>RS3T</b>	LOTTO <b>30</b>	CODIFICA <b>D 09CL</b>	DOCUMENTO <b>NW04 00 002</b>	REV. <b>B</b>

I carichi permanenti considerati sono il peso proprio della soletta (G1) e della pavimentazione (G2).

La ricerca del massimo momento flettente generato dai carichi mobili viene condotta considerando il carico LM2 illustrato nella Normativa al punto 5.1.3.3.5.

Tale schema, considerato autonomamente e assunto a riferimento solo per verifiche locali, è costituito da un singolo asse applicato su specifiche impronte di pneumatico (di dimensioni 0.35x0.60 [m]) poste ad un interasse di 2.00 [m]: il carico totale asse è pari a 400.00 [KN]

I carichi concentrati da considerarsi ai fini delle verifiche locali si assumono uniformemente distribuiti sulla superficie della rispettiva impronta. La diffusione attraverso la pavimentazione e lo spessore della soletta si considera avvenire attraverso una diffusione a 45°, fino al piano medio della struttura della soletta sottostante

Il momento minimo dato dall'effetto locale, invece, viene valutato come uno schema statico di trave perfettamente incastrata.

Luce Soletta	1.20
Carico per ruota - schema 2	200.00
Interasse ruote	2.00
Dimensioni impronta ruota LX x BY	0.35x0.60
Larghezza impronta a metà spessore soletta	0.86
Lunghezza influenza	2.00

Momento flettente trasversale [KN·m/m] (positivo tende le fibre inferiori):

	<b>M max</b>	<b>M min</b>
effetto locale permanenti strutturali	1.42	-0.94
effetto locale permanenti non strutturali	0.54	-0.36
effetto locale LM2	13.03	-12.43
<b>M tot. effetto locale</b>	<b>14.99</b>	<b>-13.74</b>

## 19.2 Combinazioni SLU

### 19.2.1 Persistenti/Transitorie

$$E_d = E\left\{ \sum \gamma_{G1,sup} \cdot G1_{k,i} + \sum \gamma_{G2,sup} \cdot G2_{k,i} \right\}$$

$$E_d = E\left\{ \sum \gamma_{G1,inf} \cdot G1_{k,i} + \sum \gamma_{G2,inf} \cdot G2_{k,i} \right\}$$

$$E_d = E\left\{ \sum \gamma_{G1,sup} \cdot G1_{k,i} + \sum \gamma_{G2,sup} \cdot G2_{k,i} + \gamma_{Q,traffico} \cdot Q_{k,gruppo 1} \right\}$$

$$E_d = E\left\{ \sum \gamma_{G1,inf} \cdot G1_{k,i} + \sum \gamma_{G2,inf} \cdot G2_{k,i} + \gamma_{Q,traffico} \cdot Q_{k,gruppo 1} \right\}$$

$$M \max = 20.32$$

$$M \min = -18.60$$

## 19.3 Combinazioni SLE

### 19.3.1 Combinazioni Rare

$$E_d = E\left\{ \sum G1_{k,2}^a \text{ fase} + \sum G2_{k,2}^a \text{ fase} + Q_{k,gruppo 1} \right\}$$

$$M \max = 14.99$$

M min = -13.74

### 19.3.2 Combinazioni Frequenti

$$E_d = E\{ \sum G1_{k,2}^a \text{ fase} + \sum G2_{k,2}^a \text{ fase} + \psi_1 \cdot Q_{k,\text{gruppo 1}} \}$$

M max = 11.73

M min = -10.63

### 19.3.3 Combinazioni Quasi Permanenti

$$E_d = E\{ \sum G1_{k,2}^a \text{ fase} + \sum G2_{k,2}^a \text{ fase} + \psi_2 \cdot Q_{k,\text{gruppo 1}} \}$$

M max = 1.96

M min = -1.30

## 20 REAZIONI MASSIME AGLI APPOGGI

### 20.1 Forze Orizzontali

Azione del vento :		
Altezza barriera	3.00	[m]
Pressione cinetica	2.50	[KN/m <sup>2</sup> ]
Forza totale sull'impalcato F <sub>yw</sub>	285.77	[KN]
Azione longitudinale di frenamento q <sub>3</sub> :		
Forza totale sull'impalcato F <sub>xq</sub>	420.48	[KN]
Azione centrifuga Q <sub>4</sub> :		
Raggio di curvatura	0.00	[m]
Forza totale sull'impalcato F <sub>yq</sub>	0.00	[KN]

### 20.2 Valori caratteristici reazioni verticali

#### 20.2.1 Carichi di 1a fase

Trave	peso trave	peso soletta+traversi
1	219.92	323.14
2	219.92	198.75
3	219.92	198.75
4	219.92	198.75
5	219.92	323.14

#### 20.2.2 Carichi permanenti di 2a fase

Trave	peso cordoli	permanenti portati+extra2
1	45.38	110.85
2	32.17	96.01
3	27.37	90.75
4	32.17	96.01
5	45.38	110.85

#### 20.2.3 Carichi da traffico

Trave	Tandem-TS	Distribuito-UDL	Folla Marciapiedi
1	355.27	163.30	39.65
2	283.82	122.14	27.22
3	202.71	78.05	22.74
4	112.60	33.47	27.22
5	19.90	-10.38	39.65

## 20.3 Combinazioni

### 20.3.1 Combinazioni SLU P/T

$$E_d = E\{ \sum \gamma_{G1,inf} \cdot G_{1k,i} + \sum \gamma_{G2,inf} \cdot G_{2k,i} \}$$

$$E_d = E\{ \sum \gamma_{G1,sup} \cdot G_{1k,i} + \sum \gamma_{G2,sup} \cdot G_{2k,i} + \gamma_{Q,traffico} \cdot Q_{k,gruppo\ 1} + \psi_0 \cdot \gamma_w \cdot W_k \}$$

$$E_d = E\{ \sum \gamma_{G1,sup} \cdot G_{1k,i} + \sum \gamma_{G2,sup} \cdot G_{2k,i} + \gamma_w \cdot W_k + \psi_0 \cdot \gamma_{Q,traffico} \cdot Q_{k,gruppo\ 1} \}$$



**RELAZIONE DI CALCOLO IMPALCATO CAP**

COMMESSA	LOTTO	CODIFICA	DOCUMENTO	REV.	FOGLIO
RS3T	30	D 09CL	NW04 00 002	B	81 di 104

Trave	Rz max	Rz min
1	1687.50	960.66
2	1319.07	752.64
3	1132.65	738.28
4	968.20	752.64
5	1000.28	960.66

Reazione laterale su spalla  $R_y = 214.33$

Reazione longitudinale totale  $R_x = 567.65$

**20.3.2 SLE Rare**

$$E_d = E\{ \sum G_{1,k,i} + \sum G_{2,k,i} + Q_{k,gruppo\ 1} + \psi_{0,W} \cdot W_k \}$$

$$E_d = E\{ \sum G_{1,k,i} + \sum G_{2,k,i} + W_k + \psi_0 \cdot Q_{k,gruppo\ 2} \}$$

$$E_d = E\{ \sum G_{1,k,i} + \sum G_{2,k,i} + Q_{k,gruppo\ 2} + \psi_{0,W} \cdot W_k \}$$

Trave	Rz max	Rz min
1	1237.68	699.29
2	966.42	546.84
3	828.92	536.79
4	706.52	546.84
5	728.63	699.29

Reazione laterale su spalla  $R_y = 142.89$

Reazione longitudinale totale  $R_x = 420.48$

**20.3.3 SLE Frequenti**

$$E_d = E\{ \sum G_{1,k,i} + \sum G_{2,k,i} + \psi_1 \cdot Q_{k,gruppo\ 1} + \psi_{2,W} \cdot W_k \}$$

$$E_d = E\{ \sum G_{1,k,i} + \sum G_{2,k,i} + \psi_{1,W} \cdot W_k + \psi_2 \cdot Q_{k,gruppo\ 2} \}$$

$$E_d = E\{ \sum G_{1,k,i} + \sum G_{2,k,i} + \psi_1 \cdot Q_{k,gruppo\ 2} + \psi_{2,W} \cdot W_k \}$$

Trave	Rz max	Rz min
1	1038.99	699.29
2	814.01	546.84
3	724.59	536.79
4	650.12	546.84
5	717.99	699.29

Reazione laterale su spalla  $R_y = 28.58$

Reazione longitudinale totale  $R_x = 0.00$

**20.3.4 SLE Quasi permanenti**

$$E_d = E\{ \sum G_{1,k,i} + \sum G_{2,k,i} + \psi_2 \cdot Q_{k,gruppo\ 1} + \psi_{2,W} \cdot W_k \}$$

$$E_d = E\{ \sum G_{1,k,i} + \sum G_{2,k,i} + \psi_2 \cdot Q_{k,gruppo\ 2} + \psi_{2,W} \cdot W_k \}$$

Trave	Rz max	Rz min
1	699.29	699.29
2	546.84	546.84

**RELAZIONE DI CALCOLO IMPALCATO CAP**

COMMESSA	LOTTO	CODIFICA	DOCUMENTO	REV.	FOGLIO
RS3T	30	D 09CL	NW04 00 002	B	82 di 104

Trave	Rz max	Rz min
3	536.79	536.79
4	546.84	546.84
5	699.29	699.29

Reazione laterale su spalla  $R_y = 0.00$

Reazione longitudinale totale  $R_x = 0.00$

**20.3.4.1 Carichi da traffico ( disposizione per N max su sottostrutture )**

Trave	Tandem-TS	Distribuito-UDL	Folla Marciapiedi
1	277.72	87.47	39.65
2	267.86	97.24	27.22
3	247.28	101.92	22.74
4	210.79	97.24	27.22
5	165.93	87.47	39.65

**20.4 Combinazioni**
**20.4.1 Combinazioni SLU P/T**

$$E_d = E\{ \sum \gamma_{G1,inf} \cdot G_{1k,i} + \sum \gamma_{G2,inf} \cdot G_{2k,i} \}$$

$$E_d = E\{ \sum \gamma_{G1,sup} \cdot G_{1k,i} + \sum \gamma_{G2,sup} \cdot G_{2k,i} + \gamma_{Q,traffico} \cdot Q_{k,gruppo\ 1} + \psi_0 \cdot \gamma_w \cdot W_k \}$$

$$E_d = E\{ \sum \gamma_{G1,sup} \cdot G_{1k,i} + \sum \gamma_{G2,sup} \cdot G_{2k,i} + \gamma_w \cdot W_k + \psi_0 \cdot \gamma_{Q,traffico} \cdot Q_{k,gruppo\ 1} \}$$

Trave	Rz max	Rz min
1	1480.44	960.66
2	1263.90	752.64
3	1225.06	738.28
4	1186.85	752.64
5	1329.52	960.66

Reazione laterale su spalla  $R_y = 214.33$

Reazione longitudinale totale  $R_x = 567.65$

**20.4.2 SLE Rare**

$$E_d = E\{ \sum G_{1k,i} + \sum G_{2k,i} + Q_{k,gruppo\ 1} + \psi_{0,W} \cdot W_k \}$$

$$E_d = E\{ \sum G_{1k,i} + \sum G_{2k,i} + W_k + \psi_0 \cdot Q_{k,gruppo\ 2} \}$$

$$E_d = E\{ \sum G_{1k,i} + \sum G_{2k,i} + Q_{k,gruppo\ 2} + \psi_{0,W} \cdot W_k \}$$

Trave	Rz max	Rz min
1	1084.30	699.29
2	925.55	546.84
3	897.37	536.79
4	868.48	546.84
5	972.51	699.29

Reazione laterale su spalla  $R_y = 142.89$

Reazione longitudinale totale  $R_x = 420.48$

#### 20.4.3 SLE Frequenti

$$E_d = E\{ \sum G_{1,k,i} + \sum G_{2,k,i} + \psi_1 \cdot Q_{k,gruppo\ 1} + \psi_{2,W} \cdot W_k \}$$

$$E_d = E\{ \sum G_{1,k,i} + \sum G_{2,k,i} + \psi_{1,W} \cdot W_k + \psi_2 \cdot Q_{k,gruppo\ 2} \}$$

$$E_d = E\{ \sum G_{1,k,i} + \sum G_{2,k,i} + \psi_1 \cdot Q_{k,gruppo\ 2} + \psi_{2,W} \cdot W_k \}$$

Trave	Rz max	Rz min
1	950.50	699.29
2	792.08	546.84
3	767.57	536.79
4	749.27	546.84
5	866.65	699.29

Reazione laterale su spalla  $R_y = 28.58$

Reazione longitudinale totale  $R_x = 0.00$

#### 20.4.4 SLE Quasi permanenti

$$E_d = E\{ \sum G_{1,k,i} + \sum G_{2,k,i} + \psi_2 \cdot Q_{k,gruppo\ 1} + \psi_{2,W} \cdot W_k \}$$

$$E_d = E\{ \sum G_{1,k,i} + \sum G_{2,k,i} + \psi_2 \cdot Q_{k,gruppo\ 2} + \psi_{2,W} \cdot W_k \}$$

Trave	Rz max	Rz min
1	699.29	699.29
2	546.84	546.84
3	536.79	536.79
4	546.84	546.84
5	699.29	699.29

Reazione laterale su spalla  $R_y = 0.00$

Reazione longitudinale totale  $R_x = 0.00$

	<b>DIRETTRICE FERROVIARIA MESSINA – CATANIA – PALERMO</b> <b>NUOVO COLLEGAMENTO PALERMO – CATANIA</b> <b>TRATTA LERCARA DIRAMAZIONE – CALTANISSETTA (LOTTO 3B)</b> <b>Viadotto NW04</b>					
	<b>RELAZIONE DI CALCOLO IMPALCATO CAP</b>	COMMESSA <b>RS3T</b>	LOTTO <b>30</b>	CODIFICA <b>D 09CL</b>	DOCUMENTO <b>NW04 00 002</b>	REV. <b>B</b>

## 21 VERIFICA TRAVE IN C.A.P.

Ove non sia diversamente specificato, le grandezze contenute nella presente relazione sono espresse nelle seguenti unità di misura:

lunghezza	[cm]	
forza	[N]	
angolo	[rad]	

I diametri delle barre di armatura lenta sono sempre espressi in [mm], i diametri dei trefoli di precompressione sono invece espressi in [inch] ( = 25.4 [mm] ).

### 21.1.1 Modello di calcolo

Il codice di calcolo TCAP riceve le combinazioni di carico della struttura dal programma di calcolo delle sollecitazioni ed esegue le verifiche nelle situazioni agli Stati Limite Ultimi e agli Stati Limite di Esercizio inserendo nelle combinazioni l'effetto della precompressione.

Per valutare l'effetto della precompressione nelle varie sezioni viene assunto un modello di calcolo appropriato che riproduce le condizioni iperstatiche della struttura reale.

La struttura è considerata lineare e rettilinea, soggetta a deformazione longitudinale assiale generata dalla precompressione e deformazione trasversale per inflessione nel piano verticale. Essa viene schematizzata come una struttura a telaio piano che discretizza i tratti a sezione (e quindi baricentro) costante con aste orizzontali e i tratti a geometria variabile con aste inclinate.

Le forze di precompressione sono rappresentate da forze longitudinali e da coppie di trasporto delle forze stesse alla quota del baricentro locale.

Per il calcolo dei momenti flettenti resistenti a rottura viene utilizzata la procedura FindLim ed. TCAP/1.0 05/10 - SIGMAcSOFT che tiene conto, oltre al contributo del calcestruzzo, del contributo delle armature lente (stesso stato deformativo del calcestruzzo) e del contributo delle armature di precompressione nello stato deformativo effettivo (pretensione).

### 21.1.2 Codice di calcolo

La verifica è stata condotta con il codice di calcolo automatico TCAP ed. 8.31 - 12/2012 sviluppato da SIGMAcSOFT - Padova.

Procedura di calcolo tensionale per flessione: PREFLErett vers. TCAP/3.0 09/11 - SIGMAcSOFT

Procedura di calcolo a rottura per flessione: FindLim ed. TCAP/1.0 05/10 - SIGMAcSOFT

Procedura di calcolo a rottura per taglio: VrdCalc ed. TCAP/1.0 06/10 - SIGMAcSOFT

Modello iperstatico: TRSP ed. TCAP/1.0 04/10 - SIGMAcSOFT

## 21.2 Dati di calcolo

### 21.2.1 Dati geometrici

#### 21.2.1.1 Schemi statici

L'impalcato viene realizzato con travi prefabbricate in c.a.p. e getto eseguito in opera di traversi e soletta collaborante. Si distinguono due fasi successive di lavoro:

PRIMA FASE: Le travi semplicemente appoggiate agli estremi resistono al peso proprio ed a quello del getto eseguito in opera.

SECONDA FASE: Il sistema misto, travi prefabbricate e soletta gettata in opera, divenuto solidale dopo la maturazione del calcestruzzo, resiste al peso delle sovrastrutture e dei carichi accidentali.

#### 21.2.1.1.1 Prima fase

Nella prima fase i prefabbricati sono soggetti alle seguenti condizioni di vincolo:

In opera al momento del getto di 2a fase:

Sbalzo sinistro = 50.00

Sbalzo destro = 50.00

In fase di sollevamento:

Sbalzo sinistro = 60.00

Sbalzo sinistro = 60.00

#### 21.2.1.1.2 Seconda fase

In seconda fase la struttura è vincolata sugli appoggi definitivi:

appoggio	descrizione	X	luce campata
1	Spalla iniziale	0.00	
2	Spalla finale	2240.00	2240.00

### 21.2.2 Armature trave prefabbricata

#### 21.2.2.1 Armature di precompressione pretesate

trefoli : 6/10" area = 139.000 [mm<sup>2</sup>]

acciaio : prec.fpk=1860

tensione di tesatura = 137500.00 [N/cm<sup>2</sup>]

$A_p = 55.600$   $N_p = 7645000.00$  [N]  $Z_{g,p} = 22.95$  [cm]

quota Z	n. trefoli	n. guaine	L guaine
5.50	12		
10.50	12	4	0.00
15.50	12	4	0.00
20.50			
25.50			
31.50			
37.50			
43.50			
60.00			
80.00			
123.00			
129.00			
135.00	4		
N. trefoli=	40	L tot guaine=	0.00

### 21.2.2.2 Armatura lenta

Armatura longitudinale :

pos.	armatura	Y	Z	x iniziale	x finale
T1L1	6Ø14	0.00	134.00	6.00	2234.00
T1L2	6Ø14	0.00	129.00	6.00	2234.00
T1L3	6Ø14	0.00	6.00	6.00	2234.00

Armatura trasversale :

pos.	armatura	X iniziale	X finale	
T1S1	4Ø14/20.00	-50.00	2290.00	trave+colleg. con soletta
T1S2	4Ø14/20.00	-100.00	400.00	anima trave
T1S2	(simmetrica)	1840.00	2340.00	

armatura longit. appoggio :

n. barre	Ø	lunghezza	quota Z
4	16	192	3

### 21.2.3 Materiali - resistenze di calcolo

In questo paragrafo non valgono le convezioni di segno precedentemente riportate: per il calcestruzzo tutte le grandezze sono indicate con segno positivo e contestualmente viene specificato se si tratta di valori di compressione o di trazione.

#### 21.2.3.1 Calcestruzzo delle travi prefabbricate

Ai fini del calcolo le caratteristiche rilevanti del calcestruzzo sono date dalla resistenza a rottura, dal modulo elastico e dall'entità dei fenomeni differiti nel tempo.

Le travi prefabbricate in c.a.p. sono precomprese a trefoli aderenti e devono perciò rispettare delle limitazioni tensionali già in fase iniziale, al rilascio dei trefoli.

Data l'entità delle sollecitazioni iniziali si raccomanda di eseguire il trasferimento della precompressione con opportuna gradualità. Nel seguito della relazione si indicherà sinteticamente tale operazione come "taglio dei trefoli".

Calcestruzzo	C45/55
resistenza caratteristica $R_{ck28,cub}$	5500.00
resistenza al taglio dei trefoli $R_{ckj,cub}$	3850.00
coefficiente sicurezza verifiche a rottura	1.500
modulo elastico	3641611.39
peso specifico	0.0245
ritiro totale	-0.00030
% ritiro prima del taglio trefoli	25.5%
% ritiro taglio trefoli-getto soletta	25.5%
% ritiro da getto soletta a t=inf.	49%
coeff. di viscosità	2.300
% viscosità taglio trefoli-getto soletta	33%
% viscosità da getto soletta a t=inf.	67%

Resistenza caratteristica cilindrica a compressione :

RELAZIONE DI CALCOLO IMPALCATO CAP

COMMESSA	LOTTO	CODIFICA	DOCUMENTO	REV.	FOGLIO
RS3T	30	D 09CL	NW04 00 002	B	87 di 104

a tempo infinito	$f_{ck}$	$= 0.83 \cdot R_{ck}$	$= 0.83 \cdot 5500.00 = 4565.00$	N/cm <sup>2</sup>
al taglio dei trefoli	$f_{ckj}$	$= 0.83 \cdot R_{ckj}$	$= 0.83 \cdot 3850.00 = 3195.50$	N/cm <sup>2</sup>

Resistenza di calcolo a compressione :

a tempo infinito	$f_{cd}$	$= \alpha_{cc} \cdot f_{ck} / \gamma_c$	$= 0.85 \cdot 4565.00 / 1.5 = 2586.83$	N/cm <sup>2</sup>
al taglio dei trefoli	$f_{cdj}$	$= \alpha_{cc} \cdot f_{ckj} / \gamma_c$	$= 0.85 \cdot 3195.50 / 1.5 = 1810.78$	N/cm <sup>2</sup>

Nel calcolo a rottura delle sezioni si utilizza il diagramma parabola-rettangolo con tensione massima a tempo infinito pari a :

$$f_{cd} = 2586.83 \text{ N/cm}^2$$

Resistenza di calcolo a trazione per flessione (formazione delle fessure) :

a tempo infinito	$f_{ct}$	$= f_{ctm} / 1.2$	$= 383.19 / 1.2 = 319.33$
al taglio dei trefoli	$f_{ctj}$	$= f_{ctmj} / 1.2$	$= 302.10 / 1.2 = 251.75$

Nelle condizioni di esercizio la massima tensione di compressione nel calcestruzzo deve rispettare le seguenti limitazioni:

al taglio dei trefoli :

$\sigma_{ej}$	$< 0.70 \cdot f_{ckj}$	$= 2236.85$	N/cm <sup>2</sup>
---------------	------------------------	-------------	-------------------

a cadute avvenute :

$\sigma_c$	$< 0.6 \cdot f_{ck}$	$= 2739.00$	N/cm <sup>2</sup>	(per comb. caratteristica rara)
$\sigma_c$	$< 0.45 \cdot f_{ck}$	$= 2054.25$	N/cm <sup>2</sup>	(per comb. quasi permanente)

### 21.2.3.2 Calcestruzzo gettato in opera

Calcestruzzo	C28/35
resistenza caratteristica $R_{ck,cub}$	3500.00
coefficiente sicurezza verifiche a rottura	1.5
modulo elastico	3258810.78
peso specifico	0.0245
coeff. di omogeneizzazione con cls travi	0.895

Resistenza caratteristica cilindrica a compressione :

a tempo infinito	$f_{ck}$	$= 0.83 \cdot R_{ck}$	$= 0.83 \cdot 3500.00 = 2905.00$	N/cm <sup>2</sup>
------------------	----------	-----------------------	----------------------------------	-------------------

Resistenza di calcolo a compressione :

RELAZIONE DI CALCOLO IMPALCATO CAP

COMMESSA	LOTTO	CODIFICA	DOCUMENTO	REV.	FOGLIO
RS3T	30	D 09CL	NW04 00 002	B	88 di 104

a tempo infinito	$f_{cd}$	$= \alpha_{cc} \cdot f_{ck} / \gamma_c$	$= 0.85 \cdot 2905.00 / 1.5 = 1646.17$	N/cm <sup>2</sup>
------------------	----------	---	--	-------------------

Nel diagramma parabola-rettangolo la tensione massima è pari a :

$$f_{cd} = 1646.17$$

Resistenza di calcolo a trazione per flessione (formazione delle fessure) :

a tempo infinito	$f_{ct}$	$= f_{ctm} / 1.2$	$= 283.50 / 1.2 = 236.25$
------------------	----------	-------------------	---------------------------

Nelle condizioni di esercizio la massima tensione di compressione del calcestruzzo deve rispettare le seguenti limitazioni:

$\sigma_c$	$< 0.6 \cdot f_{ck}$	$= 1743.00$	N/cm <sup>2</sup>	(per comb. caratteristica rara)
$\sigma_c$	$< 0.45 \cdot f_{ck}$	$= 1307.25$	N/cm <sup>2</sup>	(per comb. quasi permanente)

### 21.2.3.3 Acciaio per c.a.p.

Acciaio prec.fpk=1860 :

tensione all'1% deform. residua $f_{p(1)k}$	167400.00
Modulo elastico	20600000.00
coeff. di omogeneizzazione a cls travi	6
coefficiente di sicurezza	1.15
% rilassam. prima del taglio trefoli	41.4%
% rilassam. taglio trefoli-getto soletta	25.9%
% rilassam. da getto soletta a t=inf.	32.7%

In base al punto 4.1.8.1.5 del D.M. 14/01/2008 le tensioni iniziali all'atto della tesatura dei cavi pre-tesi deve rispettare la più restrittiva delle seguenti limitazioni:

$\sigma_{spi}$	$\leq 0.80 \cdot f_{ptk}$	$= 0.80 \cdot 184140.00 = 147312.00$	N/cm <sup>2</sup>
$\sigma_{spi}$	$\leq 0.90 \cdot f_{p(1)k}$	$= 0.90 \cdot 167400.00 = 150660.00$	N/cm <sup>2</sup>

E' ammessa una sovratensione iniziale pari a  $0.05 f_{p(1)k}$ .

La tensione massima in esercizio nella combinazione caratteristica (rara) deve rispettare la seguente limitazione (4.1.8.1.2 e 4.1.2.2.5.2 D.M.14/01/2008):

$\sigma_{sp}$	$\leq 0.80 \cdot f_{p(1)k}$	133920.00	N/cm <sup>2</sup>
---------------	-----------------------------	-----------	-------------------

Nel calcolo a rottura si utilizza il diagramma triangolo-rettangolo con tensione massima pari a:

$f_{ptd}$	$= f_{p(1)k} / \gamma_s$	$= 167400.00 / 1.15 = 145565.22$	N/cm <sup>2</sup>
-----------	--------------------------	----------------------------------	-------------------

### 21.2.3.4 Acciaio per armatura lenta

Questo tipo di acciaio costituisce l'armatura destinata ad assorbire gli sforzi di taglio (staffe) ed altri sforzi locali di trazione nel calcestruzzo.

tipo acciaio	B450C
--------------	-------



RELAZIONE DI CALCOLO IMPALCATO CAP

COMMESSA	LOTTO	CODIFICA	DOCUMENTO	REV.	FOGLIO
RS3T	30	D 09CL	NW04 00 002	B	89 di 104

tensione di snervamento $f_{yk}$	45000.00
coefficiente sicurezza verifiche a rottura	1.15
modulo elastico	21000000.00
coeff. di omogeneizzazione a cls travi	6

La tensione massima consentita (4.1.2.2.5.2 D.M. 14/01/2008) nella combinazione rara deve rispettare la seguente limitazione:

$\sigma_s$	$\leq 0.80 \cdot f_{yk}$	$= 0.80 \cdot 45000.00 = 36000.00$	N/cm <sup>2</sup>
------------	--------------------------	------------------------------------	-------------------

Nel calcolo a rottura si utilizza il diagramma triangolo-rettangolo con tensione massima pari a:

$f_{yd}$	$= f_{yk} / \gamma_s$	$= 45000.00 / 1.15 = 39130.43$	N/cm <sup>2</sup>
----------	-----------------------	--------------------------------	-------------------

#### 21.2.4 Cadute di tensione

##### 21.2.4.1 Rilassamento dell'acciaio da precompressione

La valutazione del rilassamento dell'acciaio da precompressione avviene con la formulazione indicata dalla normativa e con i dati forniti dal produttore.

Ad una temperatura costante di 20 [°C] la caduta di tensione  $\Delta\sigma_{pr}$  per rilassamento al tempo  $t$  è:

classe	tipo	caduta
2	treccie e trefoli stabilizzati	$\Delta\sigma_{pr} = \sigma_{pi} \cdot [0.66 \cdot \rho_{1000} \cdot e^{9.1\mu} \cdot (t/1000)^{0.75(1-\mu)} \cdot 10^{-5}]$

dove:

- $\sigma_{pi}$  è la tensione iniziale nel cavo;
- $\rho_{1000}$  è la perdita per rilassamento (in percentuale) a 1000 ore dopo la messa in tensione, a 20 [°C] e a partire da una tensione iniziale pari a 0.7 della resistenza  $f_p$  del campione provato:

Acciaio	classe	$\rho_{1000}$
1	2	2.5

- $\mu = \sigma_{pi} / f_{pk}$ ;
- $f_{pk}$  è la resistenza caratteristica a trazione dell'acciaio;
- $t$  è il tempo misurato in ore dalla messa in tensione.

La caduta finale per rilassamento può essere valutata con le formule sopra scritte ed inserendo un tempo di 500000 ore. Si ottiene così:

Armatura	classe	$\mu$	$\Delta\sigma_{pr} / \sigma_{pi}$	
Trave 1 - gruppo 1	2	0.747	0.048	4.80%

##### 21.2.4.2 Ritiro del calcestruzzo

L'accorciamento dovuto al ritiro viene assunto pari a :

prefabbricati  $\epsilon_{cs1} = -0.00030$

getto in opera  $\epsilon_{cs2} = -0.00030$

e la conseguente caduta di tensione nell'acciaio da precompressione viene calcolata in base al modulo elastico dell'acciaio stesso:

Armatura	$\Delta\sigma_{ps}$		
Trave 1 - gruppo 1	$-0.00030 \cdot 20600000.00 =$	-6180.00	4.49%

#### 21.2.4.3 Viscosità del calcestruzzo

Il valore della deformazione lenta del calcestruzzo (viscosità) si assume, ai fini del calcolo delle cadute di tensione nell'acciaio, secondo quanto indicato dalle norme (11.2.10.7 D.M.14/01/2008), pari a :

$$\varphi_{inf,1} = 2.3 \quad (\text{cavi pretesi nei prefabbricati})$$

#### 21.2.4.4 Sviluppo nel tempo delle cadute di tensione

Per i cavi pretesi, che agiscono sugli elementi prefabbricati, i valori totali dei fenomeni differiti esposti ai paragrafi precedenti vengono ripartiti nelle diverse fasi tenendo conto delle diverse condizioni ambientali e tensionali.

	% rilassamento	% ritiro	% viscosità
dalla posa in tensione al taglio trefoli	41.40	25.50	0.00
dal taglio trefoli al getto in opera	25.90	25.50	33.00
dal getto in opera a tempo infinito	32.70	49.00	67.00

### 21.3 Stati limite di esercizio

#### 21.3.1 Stato Limite delle tensioni in esercizio - procedimento di calcolo

Per valutare lo stato tensionale nelle sezioni di verifica distingueremo le seguenti fasi :

#### PRIMA FASE

- al manifestarsi della precompressione
- prima del getto in opera
- subito dopo il getto in opera

#### SECONDA FASE

- impalcato scarico
- impalcato carico

In tutte le fasi la determinazione dello stato tensionale degli elementi da verificare avviene in base alla combinazione caratteristica (rara) :

$$S = G_1 + G_2 + P + Q$$

dove:

- $G_1$  = permanenti strutturali
- $G_2$  = permanenti non strutturali
- P = precompressione
- Q = azioni variabili

 <b>ITALFERR</b> GRUPPO FERROVIE DELLO STATO ITALIANE	<b>DIRETTRICE FERROVIARIA MESSINA – CATANIA – PALERMO</b> <b>NUOVO COLLEGAMENTO PALERMO – CATANIA</b> <b>TRATTA LERCARA DIRAMAZIONE – CALTANISSETTA (LOTTO 3B)</b> <b>Viadotto NW04</b>					
	<b>RELAZIONE DI CALCOLO IMPALCATO CAP</b>	COMMESSA RS3T	LOTTO 30	CODIFICA D 09CL	DOCUMENTO NW04 00 002	REV. B

### 21.3.1.1 Verifica al sollevamento

La verifica al sollevamento della trave viene eseguita in fase a).

Incremento dinamico = 0.15

Sbalzo sinistro = 60.00

Sbalzo destro = 60.00

### 21.3.2 Stato limite di fessurazione travi prefabbricate

Per garantire la durabilità della struttura il calcolo di verifica tensionale agli Stati Limite di esercizio viene condotto con opportune limitazioni che preservano le travi principali da una eccessiva fessurazione.

A questo scopo, facendo riferimento alla normativa (tab. 4.1.IV) ed adottando le limitazioni relative alle armature *sensibili* nel caso di ambiente molto aggressivo, andrebbero verificate le seguenti condizioni:

classi di esposizione	comb. rare	comb. frequenti	comb. quasi perm.
XD2, XD3, XS2, XS3, XA3, XF4	<nessuna verifica>	formazione fessure	decompressione

Per una maggiore tutela della durabilità dell'opera vengono invece rispettate nelle verifiche le seguenti limitazioni:

classi di esposizione	comb. rare	comb. frequenti	comb. quasi perm.
XD2, XD3, XS2, XS3, XA3, XF4	formazione fessure	decompressione	<nessuna verifica>
	$\sigma_{traz.} \leq f_{ctm}/1.2$		

### 21.3.3 Stato Limite di deformazione

Viene valutata l'entità delle deformazioni significative degli elementi inflessi nelle varie fasi.

La valutazione di tali deformazioni viene fatta assumendo per il modulo elastico del calcestruzzo il valore:

$$E_{travi} = 3641611.39$$

$$E_{soletta} = 3258810.78$$

e, per determinare gli effetti sotto l'azione dei carichi permanenti, viene assunto un coefficiente di viscosità pari a:

$$\varphi_{inf} = 2.3$$

L'effetto della viscosità viene poi ridotto moltiplicando tutte le deformazioni conseguenti per il valore 0.5

Le frecce calcolate sono positive se rappresentano uno spostamento verso l'alto, negative se verso il basso.

#### 21.3.3.1 Prima fase

h140 - 1200 :

	accorciamento [cm]	rotaz. testata sinistra [rad]	rotaz. testata destra [rad]	frecce in mezzeria [cm]
al taglio trefoli	-0.5879	0.00403	-0.00403	2.2291
al getto soletta	-0.9276	0.00303	-0.00303	1.4642
dopo maturazione	-0.9306	0.00303	-0.00303	1.4665

#### 21.3.3.2 Seconda fase

Spostamenti X in asse appoggi [cm] :

	dopo maturazione soletta	postesi e cambio vincoli	t=inf.
Spalla iniziale	0.0000	0.0000	0.0000

	dopo maturazione soletta	postesi e cambio vincoli	t=inf.
Spalla finale	0.0000	0.0000	-0.2486

Rotazioni in asse appoggi [rad] :

	dopo maturazione soletta	postesi e cambio vincoli	t=inf.
Spalla iniziale	0.00000	0.00000	0.00313
Spalla finale	0.00000	0.00000	-0.00313

Frecce in mezzeria [cm] :

campata	X	dopo maturazione soletta	postesi e cambio vincoli	t=inf. comb. rara max	t=inf. comb. rara min
1	1120.00	1.4665	1.4665	2.3307	1.2477

## 21.4 Stati limite ultimi

### 21.4.1 Stato Limite Ultimo per sollecitazioni flettenti

Il calcolo dei momenti ultimi delle sezioni viene eseguito tenendo conto del diagramma  $\sigma$ – $\epsilon$  parabola-rettangolo per il calcestruzzo, con deformazione limite pari a -0.0035 in compressione, e deformazione indefinita a trazione con tensione nulla (sezione fessurata).

Per gli acciai si utilizza un diagramma tensioni-deformazioni linearmente elastico fino alla tensione di rottura e lineare orizzontale fino alla deformazione 0.01, sia in trazione che in compressione.

Si rimanda al capitolo dei materiali per i valori dei moduli elastici e delle tensioni di calcolo.

Nel calcolo del momento ultimo si tiene conto del delta di deformazione  $\epsilon_{sp}$  dell'acciaio da precompressione rispetto agli altri materiali.

### 21.4.2 Stato Limite Ultimo per sollecitazioni taglianti e torcenti

Per valutare i tagli e momenti torcenti resistenti viene utilizzata la formulazione indicata dalle norme:

$$V_{Rd} = (0.18 \cdot k \cdot ((100 \cdot \rho_l \cdot f_{ck})^{1/3} / \gamma_c) + 0.15 \cdot \sigma_{cp}) \cdot b_w \cdot d \quad (\text{taglio ultimo in assenza di armatura trasversale})$$

$$V_{Rcd} = 0.9 \cdot d \cdot b_w \cdot \alpha_c \cdot 0.5 \cdot f_{cd} \cdot (\cotan \alpha + \cotan \theta) / (1 + \cotan^2 \theta) \quad (\text{taglio ultimo per rottura delle bielle compresse})$$

$$V_{Rsd} = 0.9 \cdot d \cdot (A_{sw}/s) \cdot f_{yd} \cdot (\cotan \alpha + \cotan \theta) \cdot \sin \alpha \quad (\text{taglio ultimo per rottura delle staffe})$$

$$T_{Rcd} = 2 \cdot A_k \cdot 0.5 \cdot f_{cd} \cdot \cotan \theta / (1 + \cotan^2 \theta) \quad (\text{momento torcente ultimo per rottura delle bielle compresse})$$

$$T_{Rsd} = 2 \cdot A_k \cdot (A_{sw,parete}/s) \cdot f_{yd} \cdot \cotan \theta \quad (\text{momento torcente ultimo per rottura delle staffe})$$

Dove:

d: altezza utile della sezione

$b_w$ : larghezza minima della sezione

$A_{sw}$ : area armatura trasversale nella sezione

$A_{sw,parete}$ : area armatura trasversale minima nelle pareti

s: passo staffe

$\alpha$ : inclinazione risp. all'orizzontale delle armature trasversali (90 [deg])

$\theta$ : inclinazione bielle compresse in cls

$\alpha_c$ : coeff. maggiorativo dovuto alla presenza dello sforzo assiale

$A_{st}$ : area acciaio in zona tesa

$$k = 1 + (200/d)^{1/2}$$

$$\sigma_{cp} = N_{Ed}/A_{cls}$$

$$\rho_l = A_{st}/(b_w \cdot d)$$

$A_k$ : area racchiusa dalla fibra media del profilo periferico della sezione

Nel modello a traliccio a rottura si considerano inclinate a 45 [deg] le bielle compresse di calcestruzzo in sezioni non precomprese, mentre si tiene conto dell'effetto benefico della precompressione valutando una minore inclinazione delle bielle in base alla tensione principale di trazione presente nella sezione a quota baricentrica.

L'inclinazione così determinata viene comunque limitata come indicato nelle norme citate.

#### 21.4.3 Stato Limite Ultimo per scorrimento tra i getti

Viene calcolato lo sforzo di scorrimento di progetto  $S_{Edi}$  tra il calcestruzzo delle travi prefabbricate e quello gettato in opera, e viene confrontato con quello ultimo di interfaccia  $S_{Rdi}$ , utilizzando le indicazioni della normativa EN1991-1-1-6.2.5

$$S_{Edi} = \beta \cdot V_{Ed}/z$$

in cui:

- $\beta$  è il rapporto tra la forza longitudinale nell'ultimo getto di calcestruzzo e la forza longitudinale totale in zona compressa o tesa, entrambe calcolate nella sezione considerata, assunto = 1.0
- $V_{Ed}$  è la forza di taglio trasversale di 2<sup>a</sup> fase
- $z$  è il braccio della coppia interna della sezione composta

$$S_{Rdi} = b_i \cdot (c \cdot f_{ctd} + \mu \cdot \sigma_n) + A_{sw}/s \cdot f_{yd} \cdot \mu \leq 0.5 \cdot b_i \cdot v \cdot f_{cd}$$

in cui:

Larghezza superficie contatto / spess. tot. anime	$b_i/b_w$	1.000	[-]
Fattore di coesione tra le superfici	$c$	0.350	[-]
Resistenza a trazione di progetto	$f_{ctd}$	283.50	[N/cm <sup>2</sup> ]
Coefficiente di attrito tra le superfici	$\mu$	0.600	[-]
Compressione normale alle superfici di contatto	$\sigma_n$	14.00	[N/cm <sup>2</sup> ]
Area complessiva staffa di collegamento	$A_{sw}$	<variabile>	[cm <sup>2</sup> ]
Passo staffe di collegamento	$s$	<variabile>	[cm]
Resistenza calcestruzzo più debole	$f_{cd}$	1646.17	[N/cm <sup>2</sup> ]

## 21.5 Verifica delle sezioni

### 21.5.1 Verifica sezione $X=0.00$ - Sezione all'appoggio

#### 21.5.1.1 Prima fase: sola trave

Sezione di calcolo :

n.	Y	Z
1	-100.00	125.80
2	-100.00	140.00
3	-45.00	140.00
4	-45.00	135.00
5	-43.60	118.70
6	-32.60	45.90
7	-25.50	35.50
8	0.00	34.00
9	25.50	35.50
10	32.60	45.90
11	43.60	118.70
12	45.00	135.00
13	45.00	140.00
14	100.00	140.00
15	100.00	125.80
16	67.60	117.00
17	50.00	0.00
18	-50.00	0.00
19	-67.60	117.00
20	-100.00	125.80

$$A = 9990.050$$

$$J_f = 20854204.0924$$

$$Z_g = 66.52$$

<nessuna armatura di precompressione attiva>

Armature lente longitudinali :

n.	Z	area	
1	3.00	8.042	4Ø16 armatura longit. appoggio

Sezione ideale (n=15.000)	$A_{id}$	$J_{r,id}$	$Z_{g,id}$
	10110.690	2.133511E7	65.76

Sollecitazioni	$M_{esterno}$
prima del getto	0.00
dopo getto 2a fase	0.00

### 21.5.1.1.1 Tensioni nei materiali dopo getto 2a fase

Tensioni sul calcestruzzo	$\sigma_{e,max}$	$\sigma_{i,max}$
prima del getto	0.00	0.00
dopo getto 2a fase	0.00	0.00

Tensioni sugli acciai	$\sigma_{sp}$	$\sigma_{long,inf}$
prima del getto	129906.14	0.00
dopo getto 2a fase	129906.14	0.00

### 21.5.1.1.2 Verifica a rottura per flessione dopo getto 2a fase

<sollecitazioni flettenti nulle>

### 21.5.1.1.3 Verifica a rottura per taglio dopo getto 2a fase

Calcestruzzo:	$\theta$ [rad]	$b_w$	Staffe:	$A_{sw}$
	0.785	56.00		0.61575

d	K	$A_{sl}$	$\rho_l$	$\sigma_{cp}$	$\alpha_c$
137.00	1.382	8.042	0.0010	0.00	1.000

$V_{Rd}$	$V_{Rsd}$	$V_{Rcd}$
294779.30	2970870.00	4465392.00

$$V_{Ed,max} = 693508.43 < 2970870.31$$

### 21.5.1.2 Seconda fase: trave + getto in opera

Tensioni sul calcestruzzo dopo 28gg dal getto :

	$\sigma_{e,max}$	$\sigma_{i,max}$
trave prefabbricata	0.00	0.00
getto in opera	0.00	0.00

Cadute di tensione da maturazione soletta a t=inf. :

	%	$\Delta\sigma_{sp}$	$\Delta\sigma_{sp}/\sigma_{spi}$
ritiro cls	48.9%	3019.69	2.2%
rilassamento acciaio	23.4%	2152.26	1.6%
viscosità cls	100.0%	9754.57	7.1%

### 21.5.1.2.1 Verifiche in esercizio

#### 21.5.1.2.1.1 Verifica tensionale

Sezione di calcolo :

n.	Y	Z
1	-100.00	125.80
2	-100.00	140.00
3	-45.00	140.00
4	-45.00	135.00
5	-43.60	118.70
6	-32.60	45.90
7	-25.50	35.50
8	0.00	34.00
9	25.50	35.50
10	32.60	45.90
11	43.60	118.70
12	45.00	135.00
13	45.00	140.00

RELAZIONE DI CALCOLO IMPALCATO CAP

COMMESSA	LOTTO	CODIFICA	DOCUMENTO	REV.	FOGLIO
RS3T	30	D 09CL	NW04 00 002	B	96 di 104

n.	Y	Z	
14	100.00	140.00	
15	100.00	125.80	
16	67.60	117.00	
17	50.00	0.00	
18	-50.00	0.00	
19	-67.60	117.00	fine prefabb.
20	-100.00	125.80	
21	-235.00	171.50	getto in opera
22	100.00	171.50	(m=1.000)
23	100.00	140.00	
24	-235.00	140.00	
25	-235.00	171.50	

$$A = 20542.550$$

$$J_f = 62587904.3564$$

$$Z_g = 112.36$$

<nessuna armatura di precompressione attiva>

Armature lente longitudinali :

n.	Z	area	
1	3.00	8.042	4Ø16 armatura longit. appoggio

Sezione ideale (n=15.000)	A <sub>id</sub>	J <sub>f, id</sub>	Z <sub>g, id</sub>
	20663.190	6.402214E7	111.72

Tensioni sul cls - h140 - l200 :

	$\sigma_{e,max}$	$\sigma_{e,min}$	$\sigma_{i,max}$	$\sigma_{i,min}$
t=inf.-senza carichi	0.00	0.00	0.00	0.00
t=inf.-SLE Rare	0.00	0.00	0.00	0.00
t=inf.-SLE Frequenti	0.00	0.00	0.00	0.00
t=inf.-SLE Quasi Permanenti	0.00	0.00	0.00	0.00

Tensioni sul cls - getto in opera :

	$\sigma_{e,max}$	$\sigma_{e,min}$	$\sigma_{i,max}$	$\sigma_{i,min}$
t=inf.-senza carichi	0.00	0.00	0.00	0.00
t=inf.-SLE Rare	0.00	0.00	0.00	0.00
t=inf.-SLE Frequenti	0.00	0.00	0.00	0.00
t=inf.-SLE Quasi Permanenti	0.00	0.00	0.00	0.00

Tensioni sugli acciai :

	$\sigma_{sp}$	$\sigma_{long,inf}$
t=inf.-senza carichi	0.00	0.00
t=inf.-SLE Rare	0.00	0.00
t=inf.-SLE Frequenti	0.00	0.00



	$\sigma_{sp}$	$\sigma_{long,inf}$
t=inf.-SLE Quasi Permanenti	0.00	0.00

21.5.1.2.1.2 Verifica a rottura per flessione t=inf.  
 <sollecitazioni flettenti nulle>

21.5.1.2.1.3 Verifica rottura per taglio t=inf.

Calcestruzzo:	$\theta$ [rad]	$b_w$	Staffe:	$A_{sw}$
	0.785	56.00		0.61575

d	K	$A_{sl}$	$\rho_l$	$\sigma_{cp}$	$\alpha_c$
168.50	1.345	8.042	0.0009	0.00	1.000

$V_{Rd}$	$V_{Rsd}$	$V_{Rcd}$
347878.40	3653954.00	5492106.00

$$V_{Ed,max} = 1627694.02 < 3653953.63$$

Trazione per taglio ( $V=1627694.02$ ) = 813847.01 [N]

21.5.1.2.1.4 Forze di scorrimento tra i getti

Con riferimento ad una area di interfaccia tra i getti di 56.000 [cm<sup>2</sup>] (lunghezza unitaria), gli sforzi di scorrimento tra i getti alla sezione X=0.00 risultano:

max valore di progetto scorrimento interfaccia	6160.14	[N/cm]
min valore di progetto scorrimento interfaccia	0.00	[N/cm]
scorrimento ultimo per coesione ed attrito	±569.62	[N/cm]
staffe di collegamento	0.3079	[cm <sup>2</sup> /cm]
scorrimento ultimo per coesione, attrito, staffe	±7798.02	[N/cm]

21.5.2 Verifica sezione X=1120.00 - Sezione di mezzzeria

21.5.2.1 Prima fase: sola trave

Sezione di calcolo :

n.	Y	Z
1	-100.00	125.80
2	-100.00	140.00
3	-55.00	140.00
4	-55.00	135.00
5	-53.50	117.00
6	-41.20	35.40
7	-34.00	25.00
8	0.00	23.00
9	34.00	25.00
10	41.20	35.40
11	53.50	117.00
12	55.00	135.00
13	55.00	140.00
14	100.00	140.00

**RELAZIONE DI CALCOLO IMPALCATO CAP**

COMMESSA	LOTTO	CODIFICA	DOCUMENTO	REV.	FOGLIO
RS3T	30	D 09CL	NW04 00 002	B	98 di 104

n.	Y	Z
15	100.00	125.80
16	67.60	117.00
17	50.00	0.00
18	-50.00	0.00
19	-67.60	117.00
20	-100.00	125.80

$$A = 6993.480$$

$$J_f = 16801517.8558$$

$$Z_g = 64.67$$

Armature di precompressione :

n.	Z	area
1	5.50	16.680
2	10.50	16.680
3	15.50	16.680
4	135.00	5.560

$$A_p = 55.600$$

$$Z_{g,p} = 22.95$$

Armature lente longitudinali :

n.	Z	area	
1	134.00	9.236	6Ø14
2	129.00	9.236	6Ø14
3	6.00	9.236	6Ø14

Sezione ideale (n=6.000)	$A_{id}$	$J_{f,id}$	$Z_{g,id}$
	7493.333	1.852638E7	63.37

Cadute di tensione prima del taglio trefoli :

	%	$\Delta\sigma_{sp}$	$\Delta\sigma_{sp}/\sigma_{spi}$
ritiro cls	25.5%	1575.90	1.1%
rilassamento acciaio	29.7%	2732.56	2.0%

Sollecitazioni	$M_{esterno}$	$N_{precomp.}$	$M_{precomp.}$
t=0 dopo taglio trefoli	110565477.40	-7405449.64	-308986607.14
prima del getto	110565477.40	-6868263.42	-286572931.09
dopo getto 2a fase	284244885.40	-6866148.54	-286484689.74

### 21.5.2.1.1 Tensioni nei materiali dopo getto 2a fase

Tensioni sul calcestruzzo	$\sigma_{e,max}$	$\sigma_{i,max}$
t=0 dopo taglio trefoli	-207.47	-1633.98
prima del getto	-225.60	-1488.02
dopo getto 2a fase	-943.97	-893.93

Tensioni sugli acciai	$\sigma_{sp}$	$\sigma_{long,inf}$	$\sigma_{long,sup}$
t=0 dopo taglio trefoli	124790.72	-9437.08	-1611.67
prima del getto	115843.48	-8603.50	-1678.21
dopo getto 2a fase	118117.10	-5376.47	-5650.96

Cadute di tensione dal taglio trefoli al getto soletta :

	%	$\Delta\sigma_{sp}$	$\Delta\sigma_{sp}/\sigma_{spi}$
ritiro cls	25.5%	1575.90	1.1%
rilassamento acciaio	18.6%	1709.50	1.2%
viscosità cls	39.5%	6376.22	4.6%

Cadute di tensione durante maturazione soletta :

	%	$\Delta\sigma_{sp}$	$\Delta\sigma_{sp}/\sigma_{spi}$
ritiro cls	0.1%	8.51	0.0%
rilassamento acciaio	0.1%	6.07	0.0%
viscosità cls	0.1%	23.45	0.0%

### 21.5.2.1.2 Verifica a rottura per flessione dopo getto 2a fase

$\Delta\varepsilon$  armature pretese:  $\varepsilon_{sp,z=22.95}=0.00600$

fless.	Z asse neutro	Mr	$\varepsilon_{sup}$	$Z_{\varepsilon_{sup}}$	$\varepsilon_{inf}$	$Z_{\varepsilon_{inf}}$
(+)	68.59	8.330935E8	-0.00350	140.00	0.00309	5.50
(-)	28.25	-1.889962E8	0.01000	135.00	-0.00265	0.00

$M_{d,max} = 383730595.28 < 833093543.27$

### 21.5.2.1.3 Verifica a rottura per taglio dopo getto 2a fase

Calcestruzzo:	$\theta$ [rad]	$b_w$	Staffe:	$A_{sw}$
	0.381	28.40		0.30788

d	K	$A_{sl}$	$\rho_1$	$\sigma_{ep}$	$\alpha_c$
135.00	1.385	24.033	0.0063	-982.10	1.250

$V_{Rd}$	$V_{Rsd}$	$V_{Rcd}$
759689.30	3659368.00	1923737.00

$V_{Ed,max} = 0.00 < 1923736.81$

### 21.5.2.2 Seconda fase: trave + getto in opera

Tensioni sul calcestruzzo dopo 28gg dal getto :

$\sigma_{e,max}$	$\sigma_{i,max}$

	$\sigma_{e,max}$	$\sigma_{i,max}$
trave prefabbricata	-944.04	-893.36
getto in opera	0.00	0.00

Cadute di tensione da maturazione soletta a t=inf. :

	%	$\Delta\sigma_{sp}$	$\Delta\sigma_{sp}/\sigma_{spi}$
ritiro cls	48.9%	3019.69	2.2%
rilassamento acciaio	23.4%	2152.26	1.6%
viscosità cls	60.4%	9754.57	7.1%

### 21.5.2.2.1 Verifiche in esercizio

#### 21.5.2.2.1.1 Verifica tensionale

Sezione di calcolo :

n.	Y	Z	
1	-100.00	125.80	
2	-100.00	140.00	
3	-55.00	140.00	
4	-55.00	135.00	
5	-53.50	117.00	
6	-41.20	35.40	
7	-34.00	25.00	
8	0.00	23.00	
9	34.00	25.00	
10	41.20	35.40	
11	53.50	117.00	
12	55.00	135.00	
13	55.00	140.00	
14	100.00	140.00	
15	100.00	125.80	
16	67.60	117.00	
17	50.00	0.00	
18	-50.00	0.00	
19	-67.60	117.00	fine prefabb.
20	-100.00	125.80	
21	-235.00	171.50	getto in opera
22	100.00	171.50	(m=0.895)
23	100.00	140.00	
24	-235.00	140.00	
25	-235.00	171.50	

$$A = 16436.717$$

$$J_f = 50910026.0325$$

$$Z_g = 117.00$$

Armature di precompressione :

n.	Z	area
1	5.50	16.680
2	10.50	16.680
3	15.50	16.680
4	135.00	5.560

$$A_p = 55.600$$

$$Z_{g,p} = 22.95$$

Armature lente longitudinali :

n.	Z	area	
1	134.00	9.236	6Ø14
2	129.00	9.236	6Ø14
3	6.00	9.236	6Ø14

Sezione ideale (n=6.000)	$A_{id}$	$J_{f,id}$	$Z_{g,id}$
	16936.570	5.49618E7	114.88

Tensioni sul cls - h140 - 1200 :

	$\sigma_{e,max}$	$\sigma_{e,min}$	$\sigma_{i,max}$	$\sigma_{i,min}$
t=inf.-senza carichi	-926.46	-926.46	-689.24	-689.24
t=inf.-SLE Rare	-926.46	-1100.59	95.57	-689.24
t=inf.-SLE Frequenti	-926.46	-1053.40	-120.21	-689.24
t=inf.-SLE Quasi Permanenti	-926.46	-970.35	-499.96	-689.24

Tensioni sul cls - getto in opera :

	$\sigma_{e,max}$	$\sigma_{e,min}$	$\sigma_{i,max}$	$\sigma_{i,min}$
t=inf.-senza carichi	-21.83	-21.83	0.00	0.00
t=inf.-SLE Rare	-21.83	-370.73	0.00	-140.09
t=inf.-SLE Frequenti	-21.83	-275.55	0.00	-97.86
t=inf.-SLE Quasi Permanenti	-21.83	-108.05	0.00	-23.55

Tensioni sugli acciai :

	$\sigma_{sp}$	$\sigma_{long,inf}$	$\sigma_{long,sup}$
t=inf.-senza carichi	0.00	0.00	0.00
t=inf.-SLE Rare	122888.81	5639.04	153.46
t=inf.-SLE Frequenti	121852.77	4411.97	153.46
t=inf.-SLE Quasi Permanenti	120029.44	2252.46	153.46

21.5.2.2.1.2 Verifica a rottura per flessione t=inf.  
presollecitazione nelle armature di precompressione :

	Z cavo risult.	$\Delta \epsilon_{sp}$
Armature pretese	22.95	0.00578

fless.	Z asse neutro	Mr	$\epsilon_{sup}$	$Z_{g,sup}$	$\epsilon_{inf}$	$Z_{g,inf}$
(+)	146.20	1.193678E9	-0.00180	171.50	0.01000	5.50
(-)	27.62	-1.902193E8	0.01000	135.00	-0.00257	0.00

$$M_{d,max} = 899482239.87 < 1193678372.60$$

21.5.2.2.1.3 Verifica rottura per taglio  $t=inf.$

Calcestruzzo:	$\theta$ [rad]	$b_w$	Staffe:	$A_{sw}$
	0.381	28.40		0.30788

d	K	$A_{sl}$	$\rho_l$	$\sigma_{cp}$	$\alpha_c$
166.00	1.347	83.309	0.0177	-367.24	1.142

$V_{Rd}$	$V_{Rsd}$	$V_{Rcd}$
588987.40	4499676.00	2161038.00

$$V_{Ed,max} = 183843.12 < 2161037.71$$

Trazione per taglio ( $V=183843.12$ ) = 229803.90 [N]

21.5.2.2.1.4 Forze di scorrimento tra i getti

Con riferimento ad una area di interfaccia tra i getti di 28.400 [cm<sup>2</sup>] (lunghezza unitaria), gli sforzi di scorrimento tra i getti alla sezione X=1120.00 risultano:

max valore di progetto scorrimento interfaccia	0.00	[N/cm]
min valore di progetto scorrimento interfaccia	-1230.54	[N/cm]
scorrimento ultimo per coesione ed attrito	±337.78	[N/cm]
staffe di collegamento	0.3079	[cm <sup>2</sup> /cm]
scorrimento ultimo per coesione, attrito, staffe	±7566.18	[N/cm]

## 21.5.3 Diagrammi

### 21.5.3.1 SLU

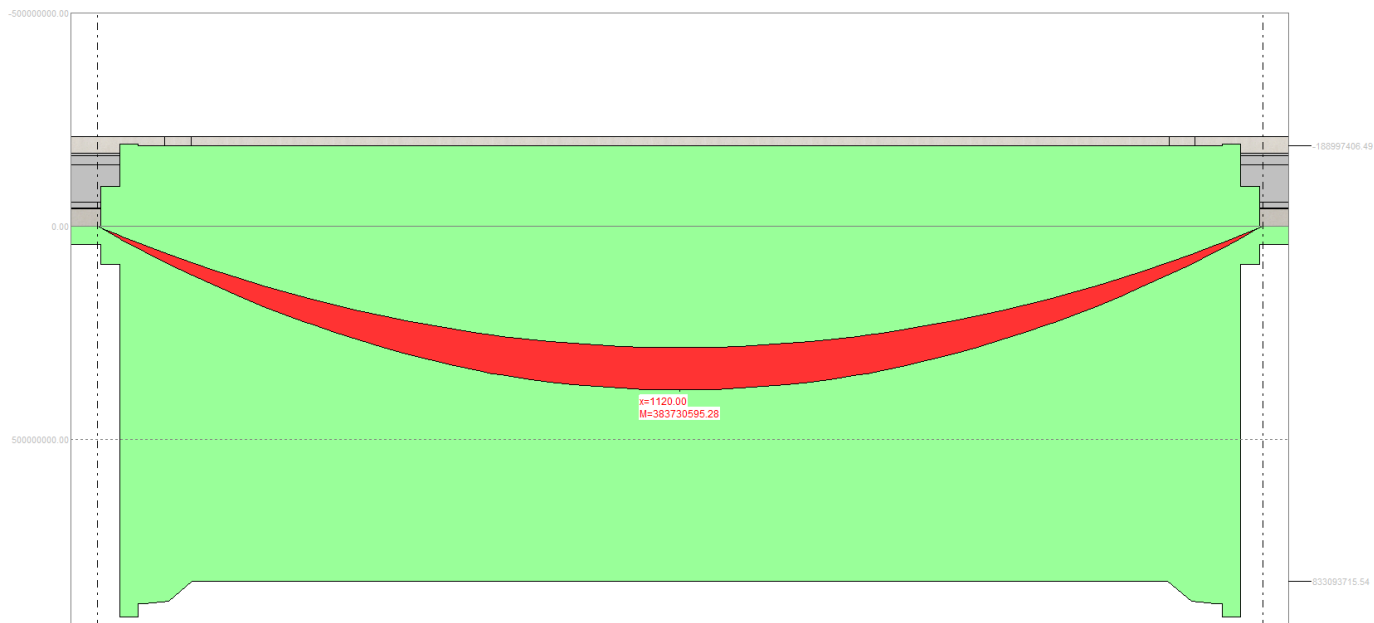


Figura 15 - Momento flettente a t inf.

RELAZIONE DI CALCOLO IMPALCATO CAP

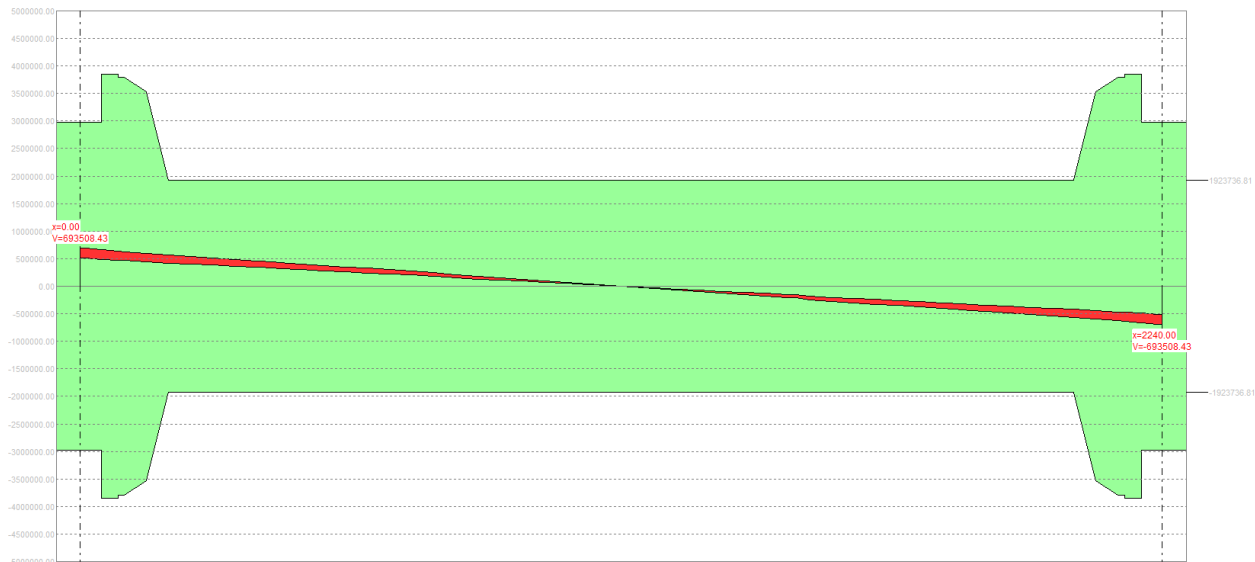


Figura 16 - Taglio a t inf.

Figura 17 - Scorrimento interfaccia trave-soletta

21.5.3.2 SLE

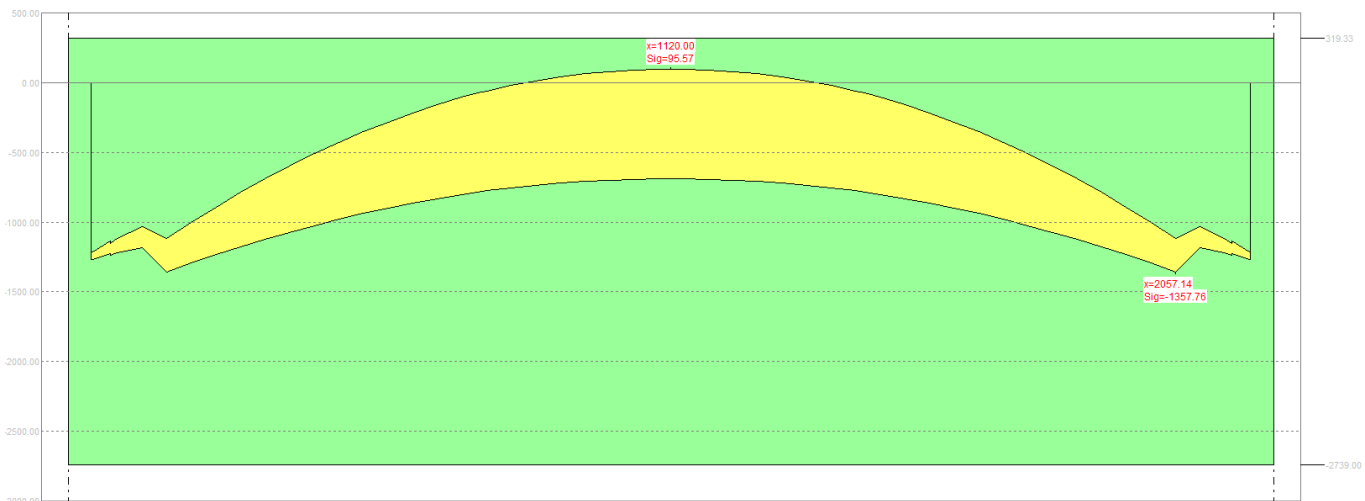
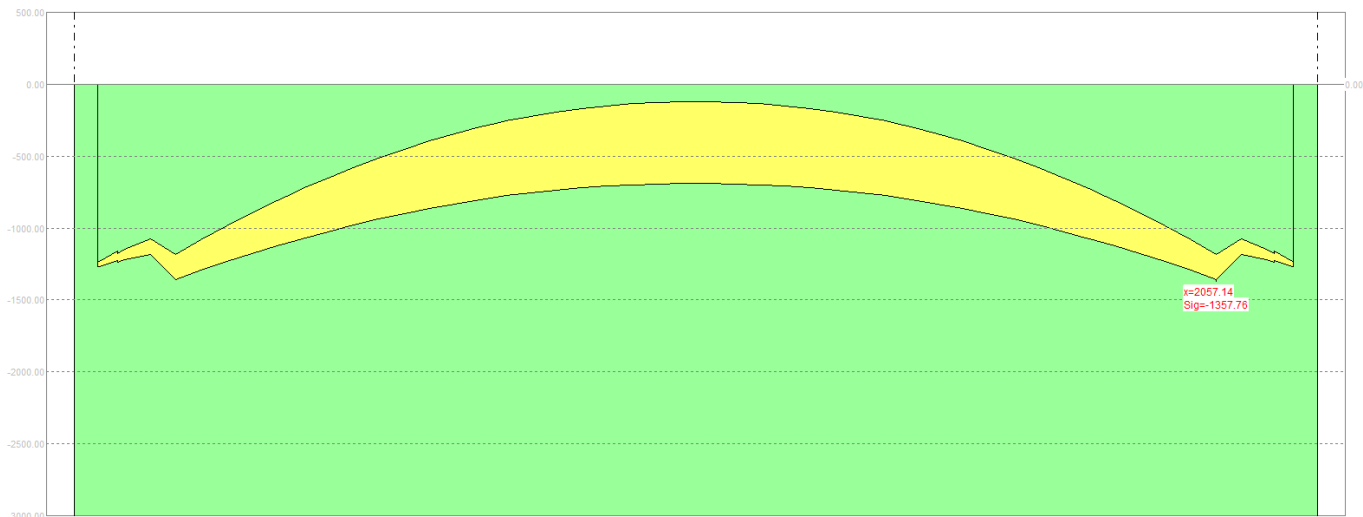
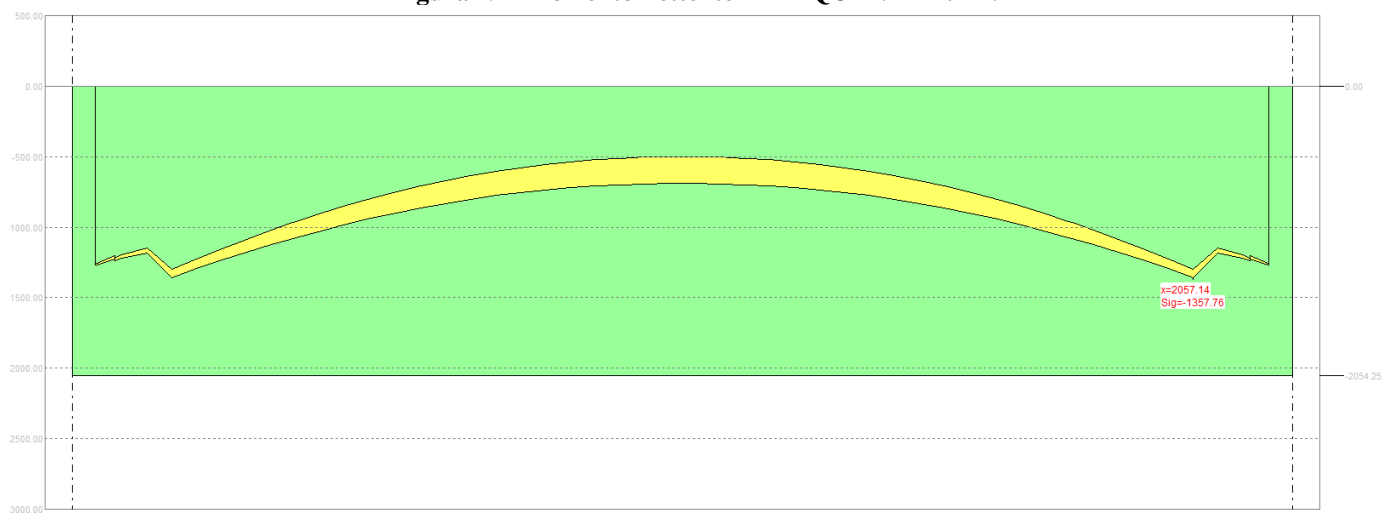


Figura 18 – Tensione calcestruzzo - RARA - t inf.



**Figura 19 - Momento flettente - FREQUENTE - t inf.**



**Figura 20 – Momento flettente – QUASI PERMANENTE - t inf.**